



ISSN 0002-3078

АЗӘРБАЙЧАН ССР ЕЛМЛӨР АКАДЕМИЯСЫ
АНАДЕМИЯНАУН АЗЕРБАЙДЖАНСКОЙ ССР

МӘРУЗӘЛӘР ДОКЛАДЫ

том XXXIX чилд

1983 . 6

ДАН Азерб. ССР публикует краткие сообщения об оригинальных, нигде не печатанных ранее, результатах научных исследований, представленные академиками АН Азерб. ССР, которые тем самым берут на себя ответственность за научные достоинства представляемой статьи.

В «Докладах» не публикуются крупные статьи, механически разделенные на ряд отдельных сообщений, статьи полемического характера, без новых фактических сообщений, статьи полемического характера, без новых фактических данных, статьи с описанием промежуточных опытов, без определенных выводов и обобщений, чисто методические статьи, если предлагаемый метод не является принципиально новым, а также статьи по систематике растений и животных (за исключением описания), особо интересных для науки находок).

Будучи органом срочной информации, журнал «ДАН Азерб. ССР» принимает и отбирает к печати статьи, объем которых допускает их публикацию в установленные решением Президиума АН Азерб. ССР сроки.

В связи со всеми перечисленными ограничениями отклонение статьи редакцией «Доклады АН Азерб. ССР» означает только, что она не согласуется с требованиями и возможностями этого журнала и не исключает ее публикации в других изданиях.

ПРАВИЛА ДЛЯ АВТОРОВ

Редакция журнала «Доклады АН Азерб. ССР» просит авторов руководствоваться приведенными правилами и надеется, что авторы ознакомятся с ними прежде, чем пришлют статью в редакцию.

Статьи, присланные без соблюдения этих правил, к рассмотрению не принимаются.

1. Статьи, направляемые в редакцию, должны иметь представление члена АН СССР или академика АН Азерб. ССР, если оно требуется (см. выше).

Статьи с просьбой направить их на представление редакцией не принимаются.

2. Статья публикуется по мере поступления. Единственным поводом для внеочередной публикации является исключительная важность сообщения и соображения приоритета. Для этого необходимо специальное решение редколлегии.

3. Как правило, редакция направляет предоставленные статьи на рецензию.

4. «Доклады» помещают не более трех статей одного автора в год. Это правило не распространяется на членов АН СССР, академиков Академии наук Азерб. ССР.

5. Авторы должны определить раздел, в который следует поместить статью, а также дать индекс статьи по Универсальной десятичной классификации (УДК). К статье прилагается отпечатанный на машинке реферат в двух экземплярах, предназначенный для передачи в один из реферативных журналов ВИНИТИ.

6. В конце статьи нужно указать полное название учреждения, в котором выполнено исследование, фамилии всех авторов а также полный почтовый адрес и номер телефона (служебный и домашний) каждого соавтора.

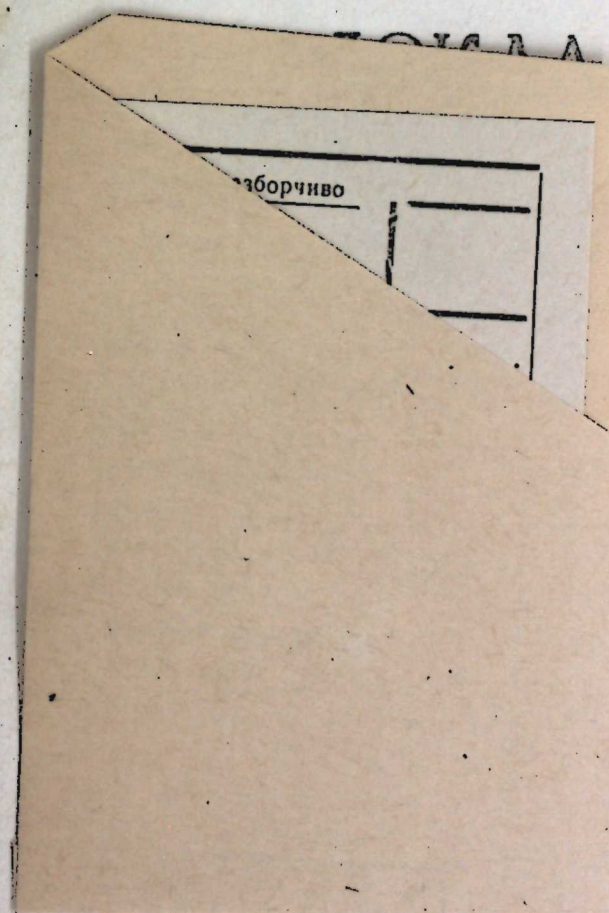
Кроме того, авторский коллектив должен указать лицо, с которым редакция будет вести переговоры и переписку.

7. Возвращение рукописи автору на доработку не означает, что статья принята к печати. После получения доработанного текста рукопись вновь рассматривается редакцией. Доработанный текст автор должен вернуть вместе с первоначальным экземпляром статьи, а также ответом на все замечания. Датой поступления считается день получения редакцией окончательного варианта статьи.

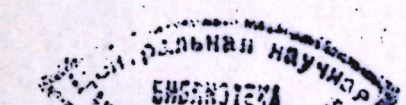
8. В «Докладах» публикуются статьи, занимающие не более $\frac{1}{4}$ авторского листа (6 страниц машинописи). В этот объем входят текст, таблицы, библиография (не больше 15 источников) и рисунки, число которых не должно превышать четырех, включая и обозначения «а», «б» и т. д. в том числе вклейки на мелованной бумаге. Вклейки даются только для микрофотографий большого увеличения. Штриховые рисунки (карты, схемы и т. п.) на вклейках не печатаются, а даются на кальке. Текст и графический материал представляются в двух экземплярах. Повторение одних и тех же данных в тексте, таблицах и графиках недопустимо. Рисунки должны быть выполнены четко, в формате, обеспечивающем ясность передачи всех деталей. Фотографии представляются на глянцевой бумаге. Подписи к рисункам должны быть напечатаны в 2-х экземплярах через два интервала на отдельной странице. На обороте рисунков мягким карандашом указываются фамилии авторов, название статьи и номер рисунка.

(Продолжение на третьей странице обложки)

МЭ'РУЗЭЛЭР



«ЕЛМ» НЭШРИЯЛТАЫ-ИЗДАТЕЛЬСТВО «ЭЛМ»
БАКЫ-1983-БАКУ



РЕДАКЦИОННАЯ КОЛЛЕГИЯ:

Г. Б. Абдуллаев (главный редактор), М. Т. Абасов,
 Ал. А. Ализаде, (зам. главного редактора), В. С. Алиев, Г. А. Алиев,
 Дж. А. Алиев, И. Г. Алиев, Дж. Б. Гулиев, Н. А. Гулиев,
 М. З. Джазаров, Ф. Г. Максудов, А. А. Надиров,
 Ю. М. Сенцов (зам. главного редактора),
 М. А. Усейнов, Г. Г. Зейналов (ответств. секретарь).

УДК 517.927.25

МАТЕМАТИКА

Н. А. РУСТАМОВ

АСИМПТОТИКА СОБСТВЕННЫХ ЧИСЕЛ ДИФФЕРЕНЦИАЛЬНОГО
ОПЕРАТОРА ЧЕТВЕРТОГО ПОРЯДКА

(Представлено академиком АН Азербайджанской ССР Ф. Г. Максудовым)

1. Рассмотрим самосопряженный оператор L , порожденный в пространстве $L_2[0, +\infty]$ линейной двучленной дифференциальной операцией четвертого порядка

$$I(y) = y^{IV} + xy \quad (1)$$

и нулевыми граничными условиями

$$y(0) = y'(0) = 0 \quad (2)$$

Известно, что спектр оператора L состоит из вещественных не отрицательных чисел $\lambda_1 \leq \lambda_2 \leq \dots \leq \lambda_n \leq \dots$ с одной, бесконечно удаленной точкой сгущения.

В настоящей работе найдена асимптотика собственных чисел λ_n оператора L при больших значениях номера n . Сформулируем основной результат.

Теорема. Асимптотическое поведение собственных значений λ_n оператора L при $n \rightarrow +\infty$ описывается формулой

$$\lambda_n = \left(\frac{5\pi_n}{4}\right)^{\frac{4}{5}} + \frac{375}{1024} \left(\frac{5\pi_n}{4}\right)^{-\frac{6}{5}} + O(n^{-\frac{11}{5}}). \quad (3)$$

Оценка остатка в формуле (3) не является точной.

Методом, который применяется для вывода формулы (3), можно выписать дальнейшие члены в разложении λ_n по степеням n , но при этом возникают большие технические сложности, связанные с вычислениями.

Литература, посвященная задачам исследования асимптотики дискретного спектра дифференциальных операторов, достаточно обширна и имеется несколько обзорных статей (см., например, [4]). Поэтому, не пытаясь дать какую-то справку об известных работах, заметим, что излагаемая задача по проблематике близка к задачам, исследованным в [2, 3], но второй член в асимптотике собственных чисел оператора вида (1) записывается впервые.

Перейдем к доказательству теоремы.

2. Для выражения (1) оператор L_0 , определяемый в общей теории дифференциальных операторов ([1], стр. 204), имеет индекс дефекта (2.2) ([1], стр. 336). В этом случае верна следующая

Лемма 1. Пусть функции $\phi_i(x, \lambda) \in L_2[0, \infty)$; $i=1, 2$ являются линейно независимыми решениями уравнения

$$y^{IV} + xy = \lambda y; \quad \lambda > 0 \quad (4)$$

Тогда собственные числа λ_n оператора L будут корнями уравнения

$$\det \begin{pmatrix} \psi_1(0, \lambda) & \psi_2(0, \lambda) \\ \frac{d}{dx} \psi_1(0, \lambda) & \frac{d}{dx} \psi_2(0, \lambda) \end{pmatrix} = 0 \quad (5)$$

Таким образом, необходимо исследовать решения уравнения (4). В силу того, что потенциал в выражении (1) является линейной функцией, методом Лапласа можно построить решения уравнения (4) в виде контурного интеграла. Этим путем доказана

Лемма 2. Уравнение (4) имеет пять решений

$$y_i(x, \lambda) = \int_{C_i} \exp\left(\frac{t^5}{5} - (\lambda - x)t\right) dt; \quad i = \overline{1, 5}, \quad (6)$$

связанных соотношением

$$\sum_{i=1}^5 y_i(x, \lambda) = 0.$$

Контуры C_i определяются следующим образом: C_1 — кривая на плоскости t , уходящая в бесконечность обеими ветвями в секторах $\sigma_1 = \left\{ t : -\frac{3\pi}{10} \leq \arg t \leq -\frac{\pi}{10} \right\}$ и $\sigma_2 = \left\{ t : \frac{\pi}{10} \leq \arg t \leq \frac{3\pi}{10} \right\}$. В силу аналитичности подинтегральной функции в (6), вид этой кривой в конечной части плоскости не существенен. Для простоты можно считать, что ветви контура C_i имеют своими асимптотами биссектрисы секторов σ_i ; $i = 1, 2$ и ориентация выбрана так, что $C_1 \approx (\infty \cdot e^{-\frac{2\pi i}{10}}, 0] \cup [0, \infty \cdot e^{\frac{2\pi i}{10}}]$. Все остальные контуры C_k получаются из C_1 поворотом на угол $\frac{4\pi}{10}(k-1)$ вокруг начала координат против часовой стрелки.

Если обозначить $\lambda - x = z = |z| \cdot e^{i\varphi}$ и сделать замену переменного $t = |z|^{\frac{1}{5}} \cdot \xi$, то интегралы (6) преобразуются к виду

$$y_i(x, \lambda) = |z|^{\frac{1}{5}} \int_{C'_i} \exp\left(|z|^{\frac{5}{4}} \left(\frac{\xi^5}{5} - e^{i\varphi}\xi\right)\right) d\xi, \quad i = \overline{1, 5}. \quad (7)$$

Очевидно, вид и расположение контуров C_i на плоскости ξ такие же, как и C_i на плоскости t .

Асимптотику интегралов (7) можно исследовать методом перевала. Имеет место следующая

Лемма 3. При $\arg z = \pi$ и $|z| \rightarrow +\infty$ асимптотическое поведение функций $y_i(x, \lambda)$ описывается формулами

$$y_2(x, \lambda) = |z|^{-\frac{1}{5}} \sqrt{-\frac{\pi}{2e^{\frac{5\pi i}{4}}}} \exp\left(\frac{4}{5}|z|^{\frac{5}{4}} e^{\frac{5\pi i}{4}}\right) \left(1 + O\left(|z|^{-\frac{5}{4}}\right)\right);$$

$$y_3(x, \lambda) = |z|^{-\frac{1}{5}} \sqrt{-\frac{\pi}{2e^{\frac{7\pi i}{4}}}} \exp\left(\frac{4}{5}|z|^{\frac{5}{4}} e^{\frac{7\pi i}{4}}\right) \left(1 + O\left(|z|^{-\frac{5}{4}}\right)\right); \quad (8)$$

$$y_4(x, \lambda) = |z|^{-\frac{1}{5}} \sqrt{-\frac{\pi}{2e^{\frac{5\pi i}{4}}}} \exp\left(\frac{4}{5}|z|^{\frac{5}{4}} e^{\frac{5\pi i}{4}}\right) \left(1 + O\left(|z|^{-\frac{5}{4}}\right)\right);$$

$$y_5(x, \lambda) = |z|^{-\frac{1}{5}} \sqrt{-\frac{\pi}{2e^{\frac{3\pi i}{4}}}} \exp\left(\frac{4}{5}|z|^{\frac{5}{4}} e^{\frac{3\pi i}{4}}\right) \left(1 + O\left(|z|^{-\frac{5}{4}}\right)\right).$$

Асимптотика $y_1(x, \lambda)$ выражается через линейную комбинацию формул для $y_2(x, \lambda)$ и $y_5(x, \lambda)$.

Следствие 1. Функции $y_3(x, \lambda)$, $y_4(x, \lambda)$ и любые две из функций $y_k(x, \lambda)$, $k = 1, 2, 5$ образуют фундаментальную систему решений уравнения (4).

Следствие 2. $y_3(x, \lambda)$; $y_4(x, \lambda) \in L_2[0, \infty)$.

3. Чтобы воспользоваться формулой (5) для нахождения собственных значений оператора L , необходимо исследовать асимптотику решений $y_3(x, \lambda)$ и $y_4(x, \lambda)$ при $\lambda \rightarrow +\infty$ и ограниченным x . Но оказывается, что методом перевала удобнее получить асимптотику для линейных комбинаций этих решений $z_1(x, \lambda) = y_3(x, \lambda) + y_4(x, \lambda)$ и $z_2(x, \lambda) = y_3(x, \lambda) - y_4(x, \lambda)$ и их производных $\frac{dz_1}{dx}$ и $\frac{dz_2}{dx}$.

Лемма 4. При $\arg z = 0$ и $|z| \rightarrow +\infty$ асимптотическое поведение функций $z_i(x, \lambda)$ и $\frac{dz_i}{dx}$, $i = 1, 2$ описывается формулами

$$z_1(x, \lambda) = -a^{-\frac{3}{8}} i \left[\Gamma\left(\frac{1}{2}\right) \left(\cos \frac{4}{5} a^{\frac{5}{4}} + \sin \frac{4}{5} a^{\frac{5}{4}} \right) + \frac{15}{32} \Gamma\left(1 + \frac{1}{2}\right) \left(\sin \frac{4}{5} a^{\frac{5}{4}} - \cos \frac{4}{5} a^{\frac{5}{4}} \right) a^{-\frac{5}{4}} + O\left(a^{-\frac{10}{4}}\right) \right]; \quad (9)$$

$$z_2(x, \lambda) = a^{-\frac{3}{8}} \exp\left(\frac{4}{5} a^{\frac{5}{4}}\right) \left[\Gamma\left(\frac{1}{2}\right) + \frac{15}{32} \Gamma\left(1 + \frac{1}{2}\right) a^{-\frac{5}{4}} + O\left(a^{-\frac{10}{4}}\right) \right];$$

$$\frac{dz_1}{dx}(x, \lambda) = a^{-\frac{1}{8}} \frac{i}{2} \left[\Gamma\left(\frac{1}{2}\right) \left(\cos \frac{4}{5} a^{\frac{5}{4}} - \sin \frac{4}{5} a^{\frac{5}{4}} \right) + \left(-\frac{3\Gamma\left(\frac{1}{2}\right)}{8} + \frac{15}{32} \Gamma\left(1 + \frac{1}{2}\right) \right) \left(\cos \frac{4}{5} a^{\frac{5}{4}} + \sin \frac{4}{5} a^{\frac{5}{4}} \right) a^{-\frac{5}{4}} + O\left(a^{-\frac{10}{4}}\right) \right]; \quad (10)$$

$$\frac{dz_2}{dx}(x, \lambda) = -a^{-\frac{1}{8}} \exp\left(\frac{4}{5} a^{\frac{5}{4}}\right) \left[\Gamma\left(\frac{1}{2}\right) + \left(-\frac{3}{8} \Gamma\left(\frac{1}{2}\right) + \frac{15}{32} \Gamma\left(1 + \frac{1}{2}\right) \right) a^{-\frac{5}{4}} + O\left(a^{-\frac{10}{4}}\right) \right].$$

В формулах (9), (10) можно выписать больше членов разложения по степеням α , но как уже отмечалось в пункте 1 вычисления при этом усложняются.

По определению $z_i(x, \lambda)$; $i=1, 2$ являются линейно независимыми решениями уравнения (4). Следовательно, этими функциями можно пользоваться для нахождения спектра оператора L .

Выписывая формулы (9) и (10) для $z_i(x, \lambda)$ вместо $\psi_i(x, \lambda)$, соответственно, в формулу (5) и сокращая на $\frac{i}{2} \lambda^{-\frac{1}{2}} \exp\left(\frac{4}{5} \frac{\lambda^{\frac{5}{4}}}{\alpha^{\frac{1}{4}}}\right)$ после несложных преобразований, для определения собственных чисел λ_n оператора L , получим уравнение

$$\sin \frac{4}{5} \lambda^{\frac{5}{4}} + \frac{15}{32} \cdot \frac{\Gamma\left(1 + \frac{1}{2}\right)}{\Gamma\left(\frac{1}{2}\right)} \left(\sin \frac{4}{5} \lambda^{\frac{5}{4}} - \cos \frac{4}{5} \lambda^{\frac{5}{4}} \right) \lambda^{-\frac{5}{4}} + O\left(\lambda^{-\frac{10}{4}}\right) = 0$$

Решая это уравнение, находим формулу (3). Теорема доказана.

В заключении автор выражает глубокую благодарность проф. М. Г. Гасымову за внимание к работе.

Литература

1. Наймарк М. А. Линейные дифференциальные операторы. М., 1969. 2. Федорюк М. В. Докт. дисс. ИПМ, М., 1966. 3. Жданова Г. В. Дифференциальные уравнения. т. 6, № 5, 1970. 4. Бирман М. Ш., Соломяк М. З. Итоги науки, серия матем. анализ. т. 14, М., 1977.

Институт математики
и механики

Поступило 10. IX 1981

Н. Э. Рустэмов

ДӘРДҮНЧУ ТӘРТИБ ДИФЕРЕНСИАЛ ОПЕРАТОРУН МӘХСУСИ ӘДӘДЛӘРИНИН АСИМПТОТИКАСЫ

$I_1(y) \equiv y^{IV} + xy$ дифференциал инфадеси вә $y(0) = y'(0) = 0$ сәрһед шартләри. Илә $L_2[0, \infty)$ -да тә'јин одунан L операторуның мәхсуси әдәдләринин n -ин бөјүк гијметләриңе асимптотикасы өјрәнилir.

Асимптотиканың биринчи икى һәдди дәғүг јазылышынан.

N. A. Rustamov

ASYMPTOTICS OF THE EIGENVALUES OF THE FOURTH ORDER DIFFERENTIAL OPERATOR

An asymptotic behaviour of the eigenvalues λ_n of the fourth order differential operator $I(y) \equiv y^{IV} + xy$; $y(0) = y'(0) = 0$ in $L_2[0, \infty)$ space is investigated.

АЗӘРБАЙЧАН ССР ЕЛМЛӘР АКАДЕМИЯСЫНЫН МӘРУЗӘЛӘРИ

ДОКЛАДЫ АКАДЕМИИ НАУК АЗЕРБАЙДЖАНСКОЙ ССР

ТОМ XXXIX ЧИЛД

№ 6

1983

УДК 512.579+515.12

МАТЕМАТИКА

Р. Б. ФЕЙЗУЛЛАЕВ

ПЛОТНЫЕ ПОДАЛГЕБРЫ АЛГЕБРЫ МНОГОМЕСТНЫХ ФУНКЦИЙ НА БЕСКОНЕЧНОМ МНОЖЕСТВЕ

(Представлено академиком АН Азербайджанской ССР Ф. Г. Максудовым)

Алгебры и топологические пространства будем обозначать „жирными“ латинскими буквами, а их носители—соответствующими „неважирными“. Пусть A и B —топологические пространства и A^B —множество всех непрерывных отображений $f: B \rightarrow A$. При дискретном B $A^B = A^B$ и топология поточечной сходимости совпадает с тихоновской. Если же дискретны B и A , то $A^B = A^B$ и в этом случае топологию поточечной сходимости естественно называть топологией поточечной стабилизации: сеть $\{f_t: t \in T\} \subseteq A^B$ сходится к $f \in A^B$ тогда и только тогда, когда для каждого $b_0 \in B$ сеть $\{f_t(b_0): t \in T\} \subseteq A$ стабилизируется на элементе $f(b_0) \in A$, то есть $\exists_{t_0=(b_0) \in T} \forall_{t > t_0} f_t(b_0) = f(b_0)$.

Для каждого фиксированного натурального n наделим множество $P_A^{(n)} = A^{A^n}$ всех n -арных функций на A топологией $\tau_{ps}^{(n)}$ поточечной стабилизации, и далее топологизируем (подобно случаю компактно-открытой топологии в [5]) множество $P_A = \bigsqcup_{1 \leq n < \omega} P_A^{(n)}$ всех финитар-

ных функций на A как дизъюнктную сумму пространств $\langle P_A^{(n)}, \tau_{ps}^{(n)} \rangle$ обозначив полученное топологическое пространство через $\langle P_A, \tau_{ps} \rangle$.

А. И. Мальцев [1–3] рассмотрел (и детально изучил) на множестве P_A итеративную алгебру Поста $P_A = \langle P_A; \xi, \tau, \Delta, \nabla, * \rangle$ и предытеративную алгебру Поста $P_A^* = \langle P_A; \xi, \tau, \Delta, \nabla, * \rangle$ (определения операций $\xi, \tau, \Delta, \nabla, *$ см. в [1–3]). Удобно рассматривать также (что мы и сделаем) селекторизованную предытеративную алгебру $\widetilde{P}_A = \langle P_A; \{\xi, \tau, \Delta, *\} \cup \{\varepsilon_i^n: 1 \leq i \leq n < \omega\} \rangle$, где ε_i^n —нульварная операция выделения селекторной функции $\varepsilon_i^n(x_1, \dots, x_n) \equiv x_i$. Так как операция ∇ термально выражается (см. [1], [3]) через операции алгебры \widetilde{P}^* , то селекторизованную итеративную алгебру $\widetilde{P}_A = \langle P_A; \{\xi, \tau, \Delta, \nabla, *\} \cup \{\varepsilon_i^n: 1 \leq i \leq n < \omega\} \rangle$ можно уже не вводить (в частности, у алгебр P_A , \widetilde{P}_A одни и те же подалгебры, порождающие множества и т. п.). Переход от P_A , \widetilde{P}_A к селекторизованной алгебре \widetilde{P}_A^* в большинстве естественных задач не влечет никаких существенных изменений в результатах, но создает определенные „технические удобства“, в силу чего мы предпочитаем работать с алгеброй \widetilde{P}_A^* .

Нетрудно проверить, что операции алгебры \widetilde{P}_A^* непрерывны от-

носителью τ_{ps} , т. е. имеем топологическую алгебру $\langle P_\Lambda^*; \tau_{ps} \rangle$. При бесконечном Λ топология τ_{ps} на P_Λ не является дискретной, в связи с чем приобретает интерес вопрос об описании плотных подалгебр этой топологической алгебры. Поэтому всюду далее Λ предполагается бесконечным. При отыскании плотных подалгебр (*a priori* неясно, всех или лишь некоторых) полезно понятие предплотной подалгебры, т. е. такой, которая сама не плотна, но любая большая подалгебра уже плотна. В связи с этим понятием естественно возникают следующие две задачи:

- 1) найти все предплотные подалгебры в $\langle \tilde{P}_\Lambda^*; \tau_{ps} \rangle$;
- 2) верно ли утверждение, что подалгебра плотна тогда и только тогда, когда она не содержитя ни в одной из предплотных подалгебр?

Ясно, что при положительном ответе на второй вопрос решение первой задачи привело бы к полному описанию всех плотных подалгебр. Отметим также, что ни для какой предплотной в $\langle \tilde{P}_\Lambda^*; \tau_{ps} \rangle$ подалгебры ее носитель не является предплотным подмножеством пространства $\langle P_\Lambda; \tau_{ps} \rangle$.

Пусть ρ — некоторое финитарное отношение на A и $\mathbf{A} = \langle A; \rho \rangle$ — соответствующая модель. Очевидно, множество $\bigcup_{1 \leq n < \omega} (A^n, A)$ образует в \tilde{P}_Λ^* подалгебру $\text{End}_\omega(\rho)$ — подалгебру всех (финитарных) полиморфизмов отношения ρ (или модели \mathbf{A}).

Частичный порядок ρ на A назовем псевдорешеточным, если для любых двух элементов $a, b \in A$ существуют некоторая верхняя и некоторая нижняя грани (необязательно точные) относительно ρ .

Теорема 1. $\text{End}_\omega(\rho)$ является предплотной подалгеброй топологической алгебры $\langle \tilde{P}_\Lambda^*; \tau_{ps} \rangle$ для следующих отношений ρ на множестве A :

- 1) отношения неравенства \neq ;
- 2) любого отличного от \emptyset , A унарного отношения;
- 3) любой нетривиальной эквивалентности;
- 4) любого псевдорешеточного частичного порядка.

Следствие 2. Всякая подалгебра $M \triangleleft \tilde{P}_\Lambda^*$, строго содержащая $\text{End}_\omega(\rho)$, где ρ удовлетворяет одному из условий 1)–4) теоремы 1, является плотной подалгеброй топологической алгебры $\langle \tilde{P}_\Lambda^*; \tau_{ps} \rangle$.

Множество всех $f \in Q \subseteq P_\Lambda$, существенная ариность которых не превосходит n , обозначим через $Q^{(n)}$. Для $2 \leq k < \omega$ положим $M_k = P_\Lambda^{(k)} \setminus \bigcup \{f \in P_\Lambda : |f(A, \dots, A)| \leq k\}$. Очевидно, это подмножество образует собственную подалгебру $M_k \triangleleft \tilde{P}_\Lambda^*$, причем $M_2 \triangleleft M_3 \triangleleft \dots$ (все включения — строгие); см. также [4].

Теорема 3. Каждая из подалгебр M_k ($2 \leq k < \omega$) неплотна относительно τ_{ps} , но при этом не содержитя ни в одной из предплотных подалгебр топологической алгебры $\langle \tilde{P}_\Lambda^*; \tau_{ps} \rangle$.

Таким образом, если даже удастся найти все предплотные в $\langle \tilde{P}_\Lambda^*; \tau_{ps} \rangle$ подалгебры, это не приведет к нахождению всех плотных подалгебр этой топологической алгебры. Тем не менее, нахождение всех предплотных подалгебр целесообразно, так как привело бы к описанию достаточно широкого класса плотных подалгебр.

В заключение отметим, что нам известны отдельные примеры

предплотных в $\langle \tilde{P}_\Lambda^*; \tau_{ps} \rangle$ подалгебр, не охватываемых теоремой 1, однако мы их пока не приводим, так как желательно построить на базе этих примеров серию.

Литература

1. Мальцев А. И. Итеративные алгебры и многообразия Поста. Алгебра и логика, 5, № 2, 5–24. Новосибирск, 1966. 2. Мальцев А. И. Об одном усилении теорем Слупенского и Яблонского. Алгебра и логика, 6, № 3, 61–75. Новосибирск, 1967. 3. Мальцев А. И. Итеративные алгебры Поста. Изд-во НГУ, 1976. 4. Rosenberg I. G. Universal algebras with all operations of bounded range. Colloq. Math., 30, N. 2, 177–185, 1974. 5. Мальцев А. А. Тез. сообщений IV Тираспольского симпозиума по общей топологии и ее приложениям, стр. 87–89, 1979.

Институт математики
и механики

Поступило 22. XI 1982

Р. Б. Феизуллаев

СОНСУЗ ЧОХЛУГДА ЧОХЖЕРЛИ ФУНКСИЈАЛАР ЧЭБРИНИН СЫХ АЛТЧЭБРЛЭРИ

Мэгэлэдээ сонсуз чохлугда финитар функцијаларын тоположи (нэгтэви стабилизација тополокијасына нээрэн) итератив чэбрин алтчэбрлэрини сүхслэгтийн үчүн кашишт тэлжилжидыр. Ихбат ёдилмийшдир ки, онда өч бир сых алтчэбрлээр дахил олмајан, лакин сых олмајан алтчэбрлээр вар.

R. B. Feizullaev

DENSE SUBALGEBRAS IN THE ALGEBRA OF FINITARY FUNCTIONS ON AN INFINITE SET

A sufficient condition for density of subalgebras in the topological (the pointwise stabilization topology) iterative algebra of finitary functions is founded. It is established that it has non-dense subalgebras which are contained in none of its predense subalgebras.

К. С. МАМЕДОВ

О РАСПРЕДЕЛЕНИИ СПЕКТРА ПОЛИНОМИАЛЬНОГО ДИФФЕРЕНЦИАЛЬНО-ОПЕРАТОРНОГО ПУЧКА И ПРИЛОЖЕНИЕ

(Представлено академиком АН Азербайджанской ССР Ф. Г. Максудовым)

1. Асимптотика спектра абстрактных дифференциальных операторов на ограниченном отрезке изучалась ранее, например, в работах [1–4, 13], а на всей оси—в [5, 6]. Целью данной работы является получение асимптотики функции распределения спектра полиномиального дифференциально-операторного пучка. Вопросы дискретности спектра, кратной полноты системы собственных и присоединенных вектор-функций и сходимости кратных разложений со скобками для таких пучков были изучены нами ранее в [7–9]. В качестве приложения рассматривается вопрос о распределении спектра пучка операторов в частных производных.

Сначала сформулируем теорему М. В. Келдыша [10] о распределении спектра полиномиального операторного пучка в неограниченной записи:

$$L(\lambda) = \lambda^n + \lambda^{n-1} A_1 + \dots + \lambda A_{n-1} + A_n + A^n, \quad (1)$$

где $A, A_j (j = \overline{1, n})$ — неограниченные операторы в гильбертовом пространстве H .

Через $N(r, A)$ будем обозначать функцию распределения собственных чисел оператора A , т. е.

$$N(r, A) = \sum_{\lambda_j(A) < r} 1.$$

Условия (A) и (T) для функции $N(r, A)$ состоят в следующем (см. [11]):
(A) $\exists a > 0$ такое, что $N(ar, A) > 2N(r, A)$; (T) $\forall \varepsilon > 0 \exists \delta = \delta(\varepsilon) > 0, r = r_0(\varepsilon)$ такие, что

$$N((1+\delta)r, A) \leq (1+\varepsilon)N(r, A).$$

Теорема 1. Пусть A —самосопряженный положительно определенный оператор, $A^{-1} \in \mathbb{Z}_\infty, A_j A^{-1} \in \mathbb{Z}_\infty (j = \overline{1, n})$. Если $N(r, A)$ удовлетворяет условиям (A) и (T), то

$$N_j(r, L(\lambda)) \sim \lambda(r, A),$$

где $N_j(r, L(\lambda))$ —функция распределения собственных чисел пучка (1) в окрестности луча $\arg \lambda = \frac{(2j+1)\pi}{n} (j = \overline{0, n-1})$.

В справедливости этой теоремы легко убедиться, сведя полиномиальный операторный пучок (1) к линейному по схеме, предложен-

ной в [12], и проверив условия теоремы 2 из [11], переформулированной для случая неограниченных операторов.

2. Рассмотрим в пространстве $L_2(0, T; H)$ спектральную задачу:

$$\begin{aligned} L\left(\lambda, \frac{d}{dt}\right) u(t) = & \lambda^n u(t) + \sum_{k=1}^m \left(\sum_{j=0}^{m_k} A_{kj}(t) u^{(m_k-j)}(t) \right) \lambda^{n-k} + \\ & + (-1)^m u^{(2m)}(t) + A^{2m} u(t) = 0, \quad 0 < t \leq T, \end{aligned} \quad (2)$$

$$L_\nu u(t) = \alpha_\nu u^{(\kappa_\nu)}(0) + \beta_\nu u^{(\kappa_\nu)}(T) + \sum_{j=0}^{\kappa_\nu-1} (\gamma_{\nu j} u^{(j)}(0) + \beta_{\nu j} u^{(j)}(T)) = 0, \quad \nu = \overline{1, 2m}, \quad (3)$$

где A —неограниченный замкнутый оператор в сепарабельном гильбертовом пространстве H , $A_{kj}(t) (k = \overline{1, n}; j = \overline{0, m_k})$ —оператор-функция с неограниченными операторными значениями, $u(t)$ —вектор-функция со значениями в H , $\alpha_\nu, \beta_\nu, \gamma_{\nu j}, \beta_{\nu j}$ ($\nu = \overline{1, 2m}; j = \overline{0, \kappa_\nu-1}$)—комплексные числа, $2m-1 \geq k_1 \geq k_2 \geq \dots \geq k_{2m} \geq 0, k_{\nu+2} < k_\nu, |\alpha_\nu| + |\beta_\nu| > 0$.

Теорема 2. Пусть выполняются следующие условия:

1) A —самосопряженный полуограниченный снизу оператор с вполне непрерывным обратным, собственные значения которого, расположенные в порядке возрастания, удовлетворяют условию

$$\lambda_k(A) \sim ak^\alpha \quad (a, \alpha > 0);$$

2) задача $((-1)^m D_t^{2m}, \{L_\nu\}_{\nu=1}^{2m})$ формально самосопряжена

3) операторы $A_{kj}(t) A^{-1} (k = \overline{1, n}; j = \overline{0, m_k})$ почти при всех $t \in [0, T]$ ограничены, оператор-функции $A_{kj}(t) A^{-1}$ почти равномерно ограничены и сильно измеримы по Божнеру на $[0, T]$,

$$4) m_k < \frac{n}{2k+1}.$$

Тогда

$$N_j(r) \sim cr^{\frac{(1+\alpha)n}{2m}},$$

где $N_j(r)$ —функция распределения собственных чисел задачи (2)–(3) в окрестности луча $\arg \lambda = \frac{(2j+1)\pi}{n} (j = \overline{0, n-1})$.

Наметим основные этапы доказательства. Перенишем уравнение (2) в следующем виде:

$$\begin{aligned} L\left(\lambda, \frac{d}{dt}\right) u(t) = & \lambda^n u(t) + \sum_{k=1}^m \left(\sum_{j=0}^{m_k} A_{kj}(t) u^{(m_k-j)}(t) \right) \lambda^{n-k} + \\ & + (-1)^m u^{(2m)}(t) + (A + s^2 I)^{2m} u(t) - (C_{2m}^1 s^2 A^{2m-1} + \\ & + \dots + s^{2m} I) u(t) = 0, \end{aligned}$$

где s —достаточно большое (см. [7]). В пространстве $L_2(0, T; H)$ определим оператор Q равенствами

$$\begin{aligned} D(Q) = & W_{2,L}^{2m}(0, T; H(A^{2m}), H) = \\ = & \{u : u \in W_2^{2m}(0, T; H(A^{2m}), H), L_\nu u = 0 \quad (\nu = \overline{1, 2m})\}, \end{aligned}$$

$$Q u = (-1)^m u^{(2m)} + A_1^m u, \quad u \in L^2(Q), \quad A_1 = A + s^2 I,$$

где

$$\begin{aligned} W_2^{2m}(0, T; H(A^{2m}), H) &= \{u: u^{(2m)}(\cdot) \in L_2(0, T; H); \\ &\quad A^{2m}u(\cdot) \in L_2(0, T; H)\}; \\ \|u\|_{W_2^{2m}(0, T; H(A^{2m}), H)}^2 &= \|u^{(2m)}\|_{L_2(0, T; H)}^2 + \|A^{2m}u\|_{L_2(0, T; H)}^2. \end{aligned}$$

Обозначим через Q_k оператор, порожденный в пространстве $L_2(0, T; H)$ дифференциальным выражением

$$\sum_{j=0}^{m_k} A_{kj}(t) u^{(m_k-j)}(t).$$

В [7] нами доказано, что оператор Q имеет при достаточно больших ν вполне непрерывный обратный

$$(Q^{-1} f)(t) = \int_0^T G(t, \tau) f(\tau) d\tau,$$

где $G(t, \tau)$ —оператор-функция Грина соответствующей краевой задачи. Оператор Q является самосопряженным, так как он симметричен, что следует из условий 1) и 2), и Q^{-1} ограничен. Он является также положительно определенным. Нетрудно видеть, что собственные числа оператора Q имеют вид $\nu_p + \lambda_k$, где λ_k есть собственные числа оператора A_1^{2m} , а ν_p —собственные числа задачи $((-1)^m D_t^{2m}, \{L_\nu\}_{\nu=1}^{2m})$. Поэтому

$$N(r, Q^{1/n}) \sim c r^{\frac{(1+\epsilon)n}{2m}}$$

Очевидно, функция $N(r, Q^{1/n})$ удовлетворяет условиям (A) и (7). При некотором $\epsilon > 0$ имеют место оценки

$$\|Q_k u\|_{L_k(0, T; H)} \leq c \|Q^{1/n} u\|_{L_1(0, T; H)}, \quad k = \overline{1, n},$$

откуда следует, что сператоры $C_k Q^{-\frac{k}{n}}$ вполне непрерывны. Таким образом, выполняются все условия теоремы 1, откуда и следует утверждение данной теоремы.

3. Приведем теперь одно приложение теоремы 2 к нерегулярным краевым задачам для эллиптических уравнений в частных производных. Пусть Ω —открытое связное множество евклидова пространства R^d с гладкой границей Γ , $Q = [0, T] \times \Omega$. В пространстве $L_2(Q)$ рассмотрим задачу

$$\begin{aligned} \lambda^n u(t, x) + \sum_{k=1}^n \left(\sum_{j=1}^{m_k} \left(\sum_{|\alpha| \leq \frac{pj}{m}} a_{kj\alpha}(t, x) D_x^\alpha \right) u_t^{(m_k-j)}(t, x) \right) \lambda^{n-k} + \\ + (-1)^m u_t^{(2m)}(t, x) + A(x, D_x) u(t, x) = 0, \end{aligned} \quad (4)$$

$$L_\nu u(t, x) = 0, \quad \nu = \overline{1, 2m}, \quad (5)$$

$$B_k(x, D_x) u(t, x)|_\Gamma = \sum_{|\alpha| \leq k} b_{k\alpha}(x) L_x^\alpha u(t, x)|_\Gamma = 0, \quad \nu = \overline{1, p}, \quad (6)$$

где

$$A(x, D_x) u(x) = \sum_{|\alpha| \leq p} a_\alpha(x) D_x^\alpha u(x).$$

Теорема 3. Пусть выполнены следующие условия:

- 1) $a_\alpha(x) \in C^{|\alpha|}(\bar{\Omega})$, $c_{kj\alpha}(t, x) \in L_\infty(Q)$, $b_{k\alpha}(x) \in C^{2, |\alpha|-1}(\bar{\Omega})$ и задача $A(x, D_x)$, $\{B_k\}_{k=1}^p$ формально самосопряжена,
- 2) $A(x, D_x)$ —равномерно положительно эллиптический оператор в Ω , т. е. $(-1)^p \sum_{|\alpha|=2p} a_\alpha(x) \xi^\alpha \geq c^2 |\xi|^{2p}$ для каждого $\xi \neq 0$, $x \in \Omega$,
- 3) система граничных операторов $\{B_k\}_{k=1}^p$ образует нормальную на Γ систему и усиленно накрывает оператор $A(x, D_x)$ на Γ , $l_k \leq 2p-1$ ($k = \overline{1, p}$),
- 4) задача $((-1)^m D_t^{2m}, L_\nu)$ ($\nu = \overline{1, 2m}$) формально самосопряжена,
- 5) $m_k < \frac{2km}{n}$.

Тогда

$$N_j(r) \sim c r^{\frac{(mr+p)n}{2mp}},$$

где $N_j(r)$ —функция распределения собственных чисел задачи (4)–(5)–(6) в окрестности луча $\arg \lambda = \frac{(2j+1)\pi}{n}$ ($j = \overline{0, n-1}$).

Литература

1. Горбачук В. И., Горбачук М. Л. УМЖ, 24, № 3, 291–305, 1972. 2. Горбачук В. И. УМЖ, 27, № 5, 675–664, 1975, 3. Михайлов В. А. «Изв. АН СССР, серия матем.», 41, № 3, 607–619, 1977. 4. Оруджев Г. Д. «ДАН Азерб. ССР», № 8, 1976. 5. Костюченко А. Г., Левитин Б. М. Функ. анализ и его прил., т. 1, вып. 1, 86–96, 1967. 6. Байрамоглы М. В. Сб. «Функ. анализ и его прил.», 144–166. Баку, «Элм», 1971. 7. Мамедов К. С. В сб. «Спектр. теория операторов», 110–125. Баку, «Элм», 1977. 8. Мамедов К. С. В сб. «Спектр. теория операторов», 133–139. Баку, «Элм», 1979. 9. Мамедов К. С. «Изв. АН Азерб. ССР, серия физ.-техн. и матем. наук», № 1, 36–40, 1977. 10. Келдиш М. В. «ДАН СССР», 77, № 1, 11–14, 1951. 11. Мамедов В. И., Палант Ю. И. «ДАН Арм. ССР», 42, № 5, 257–261, 1966. 12. Якубов С. Я., Мамедов К. С. Функ. анализ и его прил., т. 9, вып. 1, 91–93, 13, 1975. 13. Мамедов К. С. Математические заметки, т. 30, 1981.

Поступило 1.IX 1981

Институт математики
и механики

К. С. Мамедов

ПОЛИНОМИАЛ ДИФЕРЕНСИАЛ-ОПЕРАТОР ДЭСТЭСИНИИ СПЕКТРИНИН ПАЙЛАНМАСЫ ВӘ ОНУН ТӘТБИГИ

Вектор-функциялар фәзасында абстракт дифференциал-оператор дэстэсиини спектрал пајланма функциясының асимптотикасы һәмгыда теорем исбат едилмишидир. Бу иетичә ҳүсуси төрәмәли эллиптик тәнликләрү үчүн гејри-регулар сөрнөд мәсэләләрине тәтбиғи едилмишидир.

K. S. Mamedov

ABOUT DISTRIBUTION OF SPECTRUM OF POLYNOMIAL DIFFERENTIAL-OPERATOR PENCIL AND APPLICATION

The theorem about asymptotics of spectral function of distribution for abstract differential-operator pencil in the space of vector-functions is proved. An application to irregular boundary value problems for elliptic equations is also given.

М. Р. БУНЯТОВ, С. А. БАЙРАМОВ

К-ТЕОРИЯ НА КАТЕГОРИИ ТОПОЛОГИЧЕСКИХ ПРОСТРАНСТВ

(Представлено академиком АН Азербайджанской ССР Ф. Г. Максудовым)

В работе [2] нами на категории дистрибутивных решеток была построена K -теория. В данной статье привлечением указанного K -функтора K теория строится на категории всех топологических пространств, совпадающей на категории конечных полиздеров с K -теорией Аты [1].

Отметим, что если K -функтор Аты связан с функтором сингулярных когомологий, то введенный нами K -функтор связан с функтором спектральных когомологий.

Пусть X -топологическое пространство, $O_{\text{open}} X$ его решетка открытых подмножеств, $A \subset X$, $B(A)$ — фильтр решетки $O_{\text{open}} X$, образованный открытыми окрестностями подмножества A .

«Погрузим» категорию пар (X, A) топологических пространств в категорию ZF^2 решеток с парой фильтров, сопоставив каждой паре $(X, A) \in (O_{\text{open}} X, \{X\}, B(A))$. Ясно, что это соответствие есть контравариантный функтор из категории $\Gamma_{\text{оп}}$ в категорию ZF^2 , при этом каждому непрерывному отображению $f: (X, A) \rightarrow (Y, B)$ пар сопоставляется индуцированный им гомоморфизм $f^*: (O_{\text{open}} Y, \{Y\}, B(B)) \rightarrow (O_{\text{open}} X, \{X\}, B(A))$ троек категории ZF^2 .

Для каждого целого $n \geq 0$ определим функтор K_{spec}^{-n} : $\text{Гор}^2 \rightarrow \text{Ring}$ на категории $\Gamma_{\text{оп}}$ формулой $\forall (X, A) \in \Gamma_{\text{оп}}^2$

$$K_{\text{spec}}^{-n}(X, A) K^{-n}(O_{\text{open}} X, \{X\}, B(A)),$$

Геоморфизм кольца $K_{\text{spec}}^{-n}(Y, B)$ в кольце $K_{\text{spec}}^{-n}(X, A)$, индуцированный непрерывным отображением $f: (X, A) \rightarrow (Y, B)$ пар топологических пространств обозначим через f^{**} .

Из ковариантности функтора $K^{-n}: LF^2 \rightarrow \text{Ring}$ из категории LF^2 и контравариантности соответствия $(X, A) \rightarrow (\text{Open } X, \{X\}, BA)$ следует верность теоремы.

Теорема 1. Соответствие $(X, A) \rightarrow K_{\text{spec}}^{-n}(X, A)$, $f \rightarrow f^*$ является контравариантным функтором из категории Гор^2 пар топологических пространств в категорию колец.

Для пространства X , в частности кольцо $K_{\text{spec}}^{-n}(X)$ определяется следующим образом $K_{\text{spec}}^{-n}(X) \stackrel{\text{def}}{=} K^{-n}(\text{Open } X, \{X\}, \text{Open } X)$. Тогда для пространства $A \subset X$ мы получаем

$$K_{\text{spec}}^{-n}(A) = K^{-n}(\text{Open } A), \quad [A] \in \text{Open } A$$

где $\text{Open } A$ — решетка открытых подмножеств подпространства A .

Имеет место легко устанавливаемый канонический изоморфизм

$$\chi_{(X,A)}: K^{-n}(\text{Open } X, B(A), \text{Open } X) \rightarrow K_{\text{spec}}^{-n}(A).$$

Этот изоморфизм строится по каноническому изоморфизму $\text{Cov}_1(B(A))$ па $\text{Cov}_1(A)$.

Наделим категорию Гор пар топологических пространств отношением гомотопности, определяемым следующим образом:

Определение 1. Непрерывное отображение $f, g: (X, A) \rightarrow (Y, B)$ пар топологических пространств называются нерв-гомотопными, если индуцированные ими $f^*, g^*: (\text{Open } Y, \{Y\}, B(B)) \rightarrow (\text{Open } X, \{X\}, B(A))$ гомоморфизмы троек категории LF^2 являются гомотопными гомоморфизмами. Отношение нерв-гомотопности отображений f и g обозначим через $f \sim g$.

Очевидно, что это отношение гомотопности непрерывных отображений пар топологических пространств является отношением эквивалентности.

Ввиду гомотопической инвариантности функтора K^{-n} на категории LF^2 , имеет место.

Теорема 2. Нерв-гомотопные отображения пар топологических пространств $f, g: (X, A) \rightarrow (Y, B)$ индуцируют равные гомоморфизмы $f^*, g^*: K_{\text{spec}}^{-n}(Y, B) \rightarrow K_{\text{spec}}^{-n}(X, A)$ колец. т. е. $f^* g^* \Rightarrow f^* = g^*$.

Построим теперь точную когомологическую последовательность пары (X, A) топологических пространств.

Для тройки $(\text{Open } X, \{X\}, B(A))$, соответствующей паре (X, A) , имеем следующую коммутативную диаграмму

$$i_{(X,A)}^*: K^{-1}(\text{Open } A, B(A), \text{Open } A) \xrightarrow{\sim} K_{(X,A)}^{-1} \quad (*)$$

$$\cdots \rightarrow K^{-1}(\text{Open } X, \{X\}, \text{Open } X) \xrightarrow{i^*} K^{-1}(\text{Open } X, BA, \text{Open } X) \xrightarrow{\delta} K^0(\text{Open } X, \{X\}, B(A)) \rightarrow \cdots,$$

где нижняя строка этой диаграммы есть точная когомологическая последовательность тройки $(\text{Open } X, \{X\}, BA)$. В диаграмме (*), производя следующие замены

$$i_{(X,A)}^* = \chi_{(X,A)} \cdot i^*, \quad \delta_{(X,A)} = \delta \cdot \chi_{(X,A)}^{-1}$$

получаем точную последовательность

$$\cdots \rightarrow K^{-1}(\text{Open } X, \{X\}, \text{Open } X) \xrightarrow{i_{(X,A)}^*} K^{-1}(\text{Open } A, B(A), \text{Open } A) \xrightarrow{\delta_{(X,A)}} K^0(\text{Open } X, \{X\}, B(A)) \rightarrow \cdots$$

Теперь, учитывая определения колец $K_{\text{spec}}^{-n}(X, A)$, $K_{\text{spec}}^{-n}(X)$, $K_{\text{spec}}^{-n}(A)$, имеем следующую точную последовательность

$$\cdots \rightarrow K_{\text{spec}}^{-1}(X, A) \xrightarrow{i_{(X,A)}^*} K_{\text{spec}}^{-1}(X) \xrightarrow{i_{(X,A)}^*} K_{\text{spec}}^{-1}(A) \xrightarrow{\delta_{(X,A)}} K_{\text{spec}}^0(X, A) \rightarrow \\ \xrightarrow{i_{(X,A)}^*} K_{\text{spec}}^0(X) \xrightarrow{i_{(X,A)}^*} K_{\text{spec}}^0(A) \quad (**)$$

Эта последовательность называется точной когомологической последовательностью пары топологических пространств (X, A) .

Легко видеть, что гомоморфизм $i_{(X,A)}^*: K_{\text{spec}}^{-n}(X) \rightarrow K_{\text{spec}}^{-n}(A)$ совпа-

дает с гомоморфизмом, индуцированным отображением вложения $i_{\text{in} \mathcal{A} \mathcal{C} X}: A \rightarrow X$ подпространства A в пространство X , т. е.

$$i_{(X, A)}^* = i_{\text{in} \mathcal{A} \mathcal{C} X}^*.$$

Таким образом, последовательность $(**)$ на самом деле является когомологической последовательностью пары (X, A) .

Итак доказана теорема.

Теорема 3. Для произвольной пары (X, A) топологических пространств имеет место точная когомологическая последовательность $(**)$.

Таким образом, резюмируя все приведенное, мы имеем.

Теорема 4. Система функтора и их естественных преобразований $\{(K_{\text{spec}}^n(X, A))_{n>0}, \delta_{(X, A)}\}_{(X, A) \in \mathcal{P}_1}$ удовлетворяет всем аксиомам теории когомологий на максимальной категории \mathcal{P}_1 пар топологических пространств за исключением аксиомы размерности.

Мы покажем, что спектральный K -функтор на категории конечных полиздротов совпадает с K -функтором Атии—Хирцебруха. С этой целью воспользуемся каноническими отображениями Спенъера [3]. Непрерывное отображение $f: X \rightarrow |\text{per } v \alpha|$, удовлетворяющее условию $f^{-1}(st U) \subset U$ называется каноническим отображением. Известно, что для локально конечного открытого покрытия α любые два канонических отображения $f, g: X \rightarrow |\text{per } v \alpha|$ гомотопные. В случае паракомпактных пространств, и следовательно, конечных полиздротов, для любого открытого покрытия α множество канонических отображений $f: X \rightarrow |\text{per } v \alpha|$ непусто. Для любого проектирования $p: \alpha \rightarrow \alpha$ открытых покрытий и канонического отображения $f: X \rightarrow |\text{per } v \beta|$ композиция $f \circ p: X \rightarrow |\text{per } v \alpha|$ является каноническим отображением.

Пусть K —конечный симплексиальный комплекс и $st K$ —покрытие звезд $st_k P$ всех вершин $P \in K$ комплекса K .

Обозначим через $st: |K| \rightarrow |\text{per } v st|$ канонический гомеоморфизм $st(P) = st_k(P) \vee P \in K$. Отображение st является каноническим отображением.

Действительно, прообраз $st^{-1}(st_{\text{per } v K} st_k P)$ открытой звезды $st_{\text{per } v K} st_k P$ относительно комплекса $|\text{per } v st|$ звезды $st_k P \in |\text{per } v st|$ произвольной вершины $P \in K$ совпадает с самой звездой $st_k P$, т. е.

$$st^{-1}(st_{\text{per } v K} st_k P) = st_k P.$$

Для каждого конечного открытого покрытия $\alpha \in \text{Cov}_1(K)$ обозначим через $\alpha_*: K^{-n}(|\text{per } v \alpha|) \rightarrow K^{-n}(|K|)$ гомоморфизм, индуцированный каким-нибудь каноническим отображением $f: |K| \rightarrow |\text{per } v \alpha|$. Семейство $\{\alpha_*\}_{\alpha \in \text{Cov}_1(K)}$ является морфизмом прямого спектра

$$\{[K^{-n}(|\text{per } v \alpha|)]_{\alpha \in \text{Cov}_1(K)}, \{K_\alpha^n\}_{\alpha \in \text{Cov}_1(K)}\} \text{ в кольце } K^{-n}(|K|).$$

Действительно, для любых покрытий $\alpha, \beta \in \text{Cov}_1(K)$, таких, что $\beta > \alpha$ коммутативна диаграмма

$$\begin{array}{ccc} K^{-n}(|\text{per } v \alpha|) & \xrightarrow{\alpha_*} & K^{-n}(|K|) \\ \downarrow K_\alpha^n & \nearrow K_\beta^n & \\ K^{-n}(|\text{per } v \beta|) & \xrightarrow{\beta_*} & \end{array}$$

Индукцированный этим морфизмом гомоморфизм кольца $K_{\text{spec}}^{-n}(|K|)$ в кольце $K^{-n}(|K|)$ обозначим через $\text{per } v \alpha_*: K_{\text{spec}}^{-n}(|K|) \rightarrow K^{-n}(|K|)$. Рассмотрим также гомоморфизм $(st^{-1})_{|K|}: K_{\text{spec}}^{-n}(|K|) \rightarrow K_{\text{spec}}^{-n}(|K|)$, индуцированный гомоморфизмом $st^{-1}: |\text{per } v st| \rightarrow |K|$.

Семейство $\text{per } v = \{\text{per } v_\alpha\}_{\alpha \in \mathcal{P}_1}$, $(st^{-1})^* = \{(st^{-1})_\alpha\}_{\alpha \in \mathcal{P}_1}$ представляет собой естественные преобразования функторов $K_{\text{spec}}^{-n}(X)$ и $K^{-n}(X)$ друг в друга на категории \mathcal{P}_1 конечных полиздротов.

Для любого конечного полиздра X гомоморфизмы $\text{per } v_X^*, (st^{-1})_X^*$ являются взаимообратными, и следовательно естественные преобразования $\text{per } v^*, (st^{-1})^*$ суть естественные эквивалентности.

Таким образом доказана теорема.

Теорема 5. Функторы K^{-n} и K_{spec}^{-n} на категории \mathcal{P}_1 конечных полиздротов изоморфны.

Пусть X, Y —компактные хаусдорфовы пространства, тогда множество $\text{Cov}(X) \times \text{Cov}(Y)$ является конфинальным подмножеством направленного множества $\text{Cov}(X \times Y)$ [4], и следовательно для определения кольца $K_{\text{spec}}(X \times Y)$ достаточно рассматривать направленность $\text{Cov}_1(X) \times \text{Cov}_1(Y)$.

Итак,

$$\begin{aligned} K_{\text{spec}}(X \times Y) &= \lim_{\alpha=(\alpha_1, \alpha_2) \in \text{Cov}_1(X \times Y)} K(|\text{per } v \alpha|) = \lim_{(\alpha_1, \alpha_2) \in \text{Cov}_1(X \times Y)} K(|\text{per } v \alpha_1, \Delta \text{per } v \alpha_2|) \\ &\approx \lim_{(\alpha_1, \alpha_2) \in \text{Cov}_1(X \times Y)} K_A(|\text{per } v \alpha_1| \times |\text{per } v \alpha_2|) \end{aligned}$$

Пусть для каждого $\alpha = (\alpha_1, \alpha_2) \in \text{Cov}_1(X \times Y)$

$[p_{1\alpha}, p_{2\alpha}]: K_V(|\text{per } v \alpha_1|) \times K_A(|\text{per } v \alpha_2|) \rightarrow K_A(|\text{per } v \alpha_1| \times |\text{per } v \alpha_2|)$ внешнее K -умножение, тогда ввиду его естественности система $\{[p_{1\alpha}, p_{2\alpha}]\}_{\alpha \in \text{Cov}_1(X \times Y)}$ гомоморфизмов есть морфизмы прямых спектров $\{K_A(\alpha_1) \times K_A(\alpha_2)\}_{\alpha_1, \alpha_2 \in \text{Cov}_1(X \times Y)} \rightarrow \{K_1(\alpha)\}_{\alpha \in \text{Cov}_1(X \times Y)}$ и следовательно индуцирует гомоморфизм предельных групп

$$[p_1, p_2]: K_{\text{spec}}(X) \times K_{\text{spec}}(Y) \rightarrow K_{\text{spec}}(X \times Y),$$

который назовем в ешним K -умножением.

Теперь для спектрального K -функтора на категории компактных хаусдорфовых пространств докажем теорему периодичности Бетта, т. е. должны доказать, что внешнее K -умножение при $Y=S^2$ является изоморфизмом.

Так как S^2 триангулируется, причем триангуляция $T = \{t, K\}$ конечная, то покрытия $\{^n t\}$ образуют конфинальное подмножество множества $\text{Cov}(S^2)$, здесь ${}^n t$ —покрытие S^2 , асоциированное с n -кратным барицентрическим подразделением ${}^n T = \{{}^n t, {}^n K\}$ триангуляции $T = \{t, K\}$ [4]. Для покрытия $t = t_A = (st(A))_{A \in \mathcal{K}}$ ассоциированного с триангуляцией $T = \{t, K\}$, первом покрытия t является K и следовательно $|\text{per } v t| \approx S^2$ и для каждого $n \geq 0$ $|\text{per } v {}^n t| \approx S^2$. Отсюда следует, что $K_A(S^2) \approx K_{\text{spec}}(S^2) \approx K_A(|\text{per } v {}^n t|)$ для каждого $n \geq 0$.

Рассмотрим направленное множество $\text{Cov}_1(X) \times \{^n t\}$ покрытий $X \times S^2$, являющееся конфинальным подмножеством множества $\text{Cov}_1(X \times S^2)$. Для каждого $(\alpha, {}^n t) \in \text{Cov}_1(X) \times \text{Cov}_1(S^2)$ внешнее K -умножение является изоморфизмом, т. к. $|\text{per } v {}^n t| \approx S^2$, следовательно сис-

тэма $\{[p_1, p_2, \pi]\} (\alpha, \pi) \in \text{Cov}_1(X \times S^2)$ морфизмов индуцирует изоморфизм

$$K_{\text{spec}}(X) \times K_{\text{spec}}(S^2) \approx K_{\text{spec}}(X \times S^2).$$

Итак, имеет место

Теорема 6. На категории компактных хаусдорфовых пространств имеет место изоморфизм колец

$$K_{\text{spec}}(X) \times K_{\text{spec}}(S^2) \approx K_{\text{spec}}(X \times S^2).$$

Из этой теоремы получаем, что спектральный K -функция можно определить и для положительных n , положив $K_{\text{spec}}^{2n} = K_{\text{spec}}^0$, $K_{\text{spec}}^{2n-1} = K_{\text{spec}}^{-1}$.

Пусть для каждого $\alpha \in \text{Cov}_1(X)$

$$\text{ch}_\alpha : K^\#([p_{ev} v \alpha]) \rightarrow H^\#([p_{ev} v \alpha]; Q).$$

характер членя. Тогда ввиду естественности характер членя, система $\{\text{ch}_\alpha\}_{\alpha \in \text{Cov}_1(X)}$ гомоморфизмов представляет собой морфизм прямых спектров $\{K_A^\#([p_{ev} v \alpha])\}_{\alpha \in \text{Cov}_1(X)} \rightarrow \{H^\#([p_{ev} v \alpha]; Q)\}_{\alpha \in \text{Cov}_1(X)}$ и следовательно индуцирует гомоморфизм предельных групп

$$\text{ch} : K_{\text{spec}}^\#(X) \rightarrow H_{\text{spec}}^\#(X; Q),$$

где $H_{\text{spec}}^\#(X; Q)$ спектральные группы когомологий пространства X , т. е. ch является естественным преобразованием спектрального K -функции в спектральный функция когомологий.

Т. к. для каждого $\alpha \in \text{Cov}_1(X)$ гомоморфизм $\text{ch}_\alpha \times Q$:

$K_A^\#([p_{ev} v \alpha]) \times Q \rightarrow H^\#([p_{ev} v \alpha]; Q)$ является изоморфизмом то имеет место

Теорема 7. На категории компактных хаусдорфовых пространств гомоморфизм

$$\text{ch} \times Q : K_{\text{spec}}^\#(X) \times Q \rightarrow H_{\text{spec}}^\#(X; Q)$$

является изоморфизмом.

Литература

1. Атая М. Ф., Хирнебрух Ф. Сб. Мат-ка, 6:2, 1962.
2. Бунятов М. Р., Бајрамов С. А. ДАН Азерб. ССР, №5, 1933.
3. Спенсер Э. Алгебраическая топология. Мир, М., 1971.
4. Стилер Н., Эйленберг С. Основание алгебраической топологии.

АГУ им. С. М. Кирова

Поступило 16 II 1981

М. Р. Бунядов, С. А. Бајрамов

ТОПОЛОЖИ ФЭЗАЛАР КАТЕГОРИЯСЫНДА К-НЭЗЭРИЙЛЭ

Тоположи фэзалар категориясында екстраординар коноомологи нэзэрийлэ тэшкүл едэн яни K -функция дахил едилр. Бу функция сонгуу полиедрлэр категориясында Атјанын K -функцию ила изоморфдур. Экэр Атјанын K -функция сингулар коноомологи нэзэрийлэ ила бағыт идиң, бизим дахил етдијимиз K -функция исо спектрал коноомологи нэзэрийлэ ила элагэдардыр.

M. R. Buniyatov, S. A. Baigamov

K-THEORY ON THE CATEGORY OF TOPOLOGICAL SPACES

Using the nerve by P. S. Alexandrov on category of topological spaces, some extraordinary theory of cohomologies is constructed. On the category of finite polyhedron this theory coincides with the K -theory by Atya.

АЗЭРБАЙЧАН ССР ЕЛМЛЭР АКАДЕМИЯСЫНЫН МӘРҮЗӘЛӘРИ

ДОКЛАДЫ АКАДЕМИИ НАУК АЗЕРБАЙДЖАНСКОЙ ССР

ТОМ XXXIX ЧИЛД

№ 6

1983

УДК 517. 946

МАТЕМАТИКА

К. Я. ЛЕОНОВ

ОБ ОГРАНИЧЕННОСТИ СКОРОСТИ РАСПРОСТРАНЕНИЯ ВОЗМУЩЕНИЙ

(Представлено академиком АН Азербайджанской ССР Ф. Г. Максудовым)

Рассмотрим распространение возмущений в модельной среде, представляющей собой n -мерное многообразие, в котором введена некоторая система координат.

Динамика этой среды пусть описывается уравнением

$$A(x_1, \dots, x_n, u_t) u_{tt} - \sum_{i=1}^n \frac{\partial}{\partial x_i} B_i(x_1, \dots, x_n, u_x, \dots, u_{xn}) = 0. \quad (1)$$

Здесь будут выявлены условия на функции $A(x_1, \dots, x_n, u_t)$ и $B(x_1, \dots, x_n, u_x, \dots, u_{xn})$, при выполнении которых возмущения в рассматриваемой среде будут распространяться со скоростями, имеющими конечный верхний предел.

Уравнение (1) будем рассматривать в полосе $\Pi(T) = \{(x, t) : x \in R_n; t \in [0, T]\}$. Относительно системы функций $B_i(x_1, \dots, x_n, z_1, \dots, z_n)$ ($i = 1; n$) предположим, что существует такая функция $\tilde{B}(x_1, \dots, x_n, z_1, \dots, z_n)$, что $\tilde{B}_{z_i}(x_1, \dots, x_n, z_1, \dots, z_n) = B_i(x_1, \dots, x_n, z_1, \dots, z_n)$. Рассматриваемые функции $u(x_1, \dots, x_n, t)$ пусть принадлежат такому классу, что функции $\tilde{A}(x_1, \dots, x_n, u_t)$ и $\tilde{B}(x_1, \dots, x_n, u_x, \dots, u_{xn})$ суммируемы по любому ограниченному куску гиперповерхности размерности n , принадлежащей полосе $\Pi(T)$.

Здесь $\tilde{A}(x_1, \dots, x_n, \xi) = \int_0^t A(x_1, \dots, x_n, \eta) d\eta$.

Справедлива следующая

Теорема. Пусть выполняются условия: 1) существует такое число $a > 0$, что $\tilde{A}(x_1, \dots, x_n, \xi) \geq a\xi^n$; 2) функция $B(x_1, \dots, x_n, u_x, \dots, u_{xn})$ удовлетворяет дифференциальному неравенству первого порядка

$$2\tilde{B}(x_1, \dots, x_n, z_1, \dots, z_n) - \sum_{i=1}^n \tilde{B}_{z_i}^2 \geq 0$$

и $\tilde{B}(x_1, \dots, x_n, z_1, \dots, z_n) = 0 \Leftrightarrow z_1 = \dots = z_n = 0$.

Тогда скорости, с которыми распространяются возмущения в среде с динамикой описываемой уравнением (1), имеют конечный верхний предел.

Доказательство. Рассмотрим в полосе $\Pi(T)$ ограниченнюю

область Q_t гомеоморфную цилиндру и обладающую следующими свойствами: одно основание лежит в плоскости $t=0$, а другое в плоскости $t=\tau$, ($\tau \leq T$); боковая поверхность S_t является гладкой поверхностью и во всех точках ориентирована так, чтобы внешняя нормаль к ней $\vec{n}(\cos(x_1n), \dots, \cos(x_nn), \cos(nt))$ образует с осью t острый угол. Умножив уравнение (1) на u_t и проинтегрировав по Q_t , получим

$$\int_{Q_t} A(x, u_t) u_{tt} u_t dx dt - \int_{Q_t} u_t \sum_{i=1}^n \frac{\partial}{\partial x_i} B_i(x, u_{x_1}, \dots, u_{x_n}) dx dt = 0,$$

где $x = (x_1, \dots, x_n)$.

Отсюда, проделав очевидные преобразования, получим

$$\begin{aligned} & \int_{Q_t} \frac{\partial}{\partial t} \tilde{A}(x, u_t) dx dt + \int_{Q_t} \sum_{i=1}^n B_i(x, u_{x_1}, \dots, u_{x_n}) u_{tx_i} dx dt - \\ & - \int_{S_t} u_t \sum_{i=1}^n B_i(x, u_{x_1}, \dots, u_{x_n}) \cos(x_i n) ds = 0 \\ & \left[\tilde{A}(x, u_t) + \tilde{B}(x, u_{x_1}, \dots, u_{x_n}) \right] dx \Big|_{t=0}^{t=\tau} + \int_{S_t} (\tilde{A}(x, u_t) + \\ & + \tilde{B}(x, u_{x_1}, \dots, u_{x_n})) \cos(nt) ds - \int_{S_t} u_t \sum_{i=1}^n B_i(x, u_{x_1}, \dots, u_{x_n}) \cos(x_i n) ds = 0. \end{aligned}$$

где Ω_{t_0} — сечение области Q_t плоскостью $t=t_0$.

Рассмотрим интеграл

$$\int_{S_t} \left[(\tilde{A}(x, u_t) + \tilde{B}(x, u_{x_1}, \dots, u_{x_n})) \cos(nt) - u_t \sum_{i=1}^n B_i(x, u_{x_1}, \dots, u_{x_n}) \cos(x_i n) \right] ds.$$

Очевидно, имеем для подинтегрального выражения

$$\begin{aligned} & \left[(\tilde{A}(x, u_t) + \tilde{B}(x, u_{x_1}, \dots, u_{x_n})) \cos(nt) - \sum_{i=1}^n B_i(x, u_{x_1}, \dots, u_{x_n}) u_t \cos(nx_i) \right] \cos(nt) = \\ & = \tilde{B}(x, u_{x_1}, \dots, u_{x_n}) \cos^2(nt) + \tilde{A}(x, u_t) \cos^2(nt) - \frac{1}{2} u_t^2 \sum_{i=1}^n \cos^2(nx_i) + \\ & + \frac{1}{2} \sum_{i=1}^n (u_t \cos(nx_i) - B_i(x, u_{x_1}, \dots, u_{x_n}) \cos(nt))^2 - \\ & - \frac{1}{2} \cos^2(nt) \sum_{i=1}^n B_i^2(x, u_{x_1}, \dots, u_{x_n}) = \frac{1}{2} \sum_{i=1}^n (u_t \cos(nx_i) - \\ & - B_i(x, u_{x_1}, \dots, u_{x_n}) \cos(nt))^2 + \left[\tilde{B}(x, u_{x_1}, \dots, u_{x_n}) - \right. \end{aligned}$$

$$\begin{aligned} & \left. - \frac{1}{2} \sum_{i=1}^n B_i^2(x, u_{x_1}, \dots, u_{x_n}) \right] \cos^2(nt) + [\tilde{A}(x, u_t) \cos^2(nt) - \\ & - \frac{1}{2} u_t^2 (1 - \cos^2(nt))] = \frac{1}{2} \sum_{i=1}^n (u_t \cos(nx_i) - B_i(x, u_{x_1}, \dots, u_{x_n}) \cos(nt))^2 + \\ & + \left[\tilde{B}(x, u_{x_1}, \dots, u_{x_n}) - \frac{1}{2} \sum_{i=1}^n B_i^2(x, u_{x_1}, \dots, u_{x_n}) \right] \cos^2(nt) + \\ & + \frac{1}{2} u_t^2 \left[\frac{2 \tilde{A}(x, u_t)}{u_t^2} + 1 - \frac{1}{\cos^2(nt)} \right] \cos^2(nt). \end{aligned} \quad (2)$$

Выражение, стоящее в квадратных скобках во втором члене правой части (2), будет неотрицательным в силу второго условия теоремы. Выражение, стоящее в квадратных скобках в последнем члене (2), можно также сделать неотрицательным, если выбрать ориентацию боковой поверхности S_t соответствующим образом, а именно, если

ориентировать ее так, чтобы $1 > \cos^2(nt) \geq 1/1 + 2\alpha$. Ориентировав боковую поверхность S_t указанным образом, получим

$$\begin{aligned} & \left. \int_{S_t} (\tilde{A}(x, u_t) + \tilde{B}(x, u_{x_1}, \dots, u_{x_n})) \right|_{t=t_0}^{\infty} dx \leq \int_{S_0} (\tilde{A}(x, u_t) + \\ & + \tilde{B}(x, u_{x_1}, \dots, u_{x_n})) \Big|_{t=0}^{\infty} dx \end{aligned} \quad (3)$$

Предположим теперь, что начальные возмущения локализованы в ограниченной области $\Omega \in R^n$ и рассмотрим произвольную ограниченную область $\Omega' \in R^n$, отстоящую от Ω на положительном расстоянии r .

Тогда, построив область типа Ω , с верхним основанием, образованным областью Ω' и ориентировав боковую поверхность так, чтобы $\cos(nt) = 1/1 + 2\alpha$, получим из (3), что за промежуток времени

$\tau < r \operatorname{tg}(\sqrt{nt})$ возмущения не дойдут до области Ω' .

Замечание. Примерно также доказывается ограниченность скорости распространения возмущений, вызванных вышеупомянутыми силами.

Рассмотренное свойство решений является обобщением известного свойства решений линейных гиперболических задач: решение $u(P)$ в некоторой точке P определяется данными Коши только в некоторой ограниченной области Γ_p , соответствующей точке P . Данные Коши вне этой области не влияют на значение $u(P)$ [1]. Это свойство соответствует тому факту, что гиперболические задачи связаны с распространением волн с конечной скоростью.

Литература

Курант Р. Уравнения с частными производными. Мир. М., 1964.

Институт математики и механики

Поступило 8. V 1981

К. J. Леонов

ҺӘЈӘЧАЛАНМАНЫН ІАЫЛМА СҮР'ЭТИНИН МӘҮДҮДЛУГУ ҺАГГЫНДА

Моделләшдирилмеш мүнитин динамикасыны тәсвир едән квазихэтті тәилиә ба-
хыллыр. Гејри-хәтти функциялар узәринә гојулмуш елә шәртләр мүәјҗән едилмишидир
ки, бу шәртләр дахилиндә һәјәчаланмалар тәдгиг едилән мүнитдә јухары сәрһәдди
олан сүр'этләрлә јајылырлар.

K. Ya. Leonov

ON THE BOUNDEDNESS OF SPEED OF PROPAGATION OF PERTURBATION

The quasi-linear equation presenting dynamics of model medium is examined.
The condition to non-linear function in completion which the perturbation in examined
medium will propagate with the speed having finite upper limit is revealed.

АЗӘРБАЙЧАН ССР ЕЛМЛӘР АКАДЕМИЯСЫНЫН МӘРҮЗӘЛӘРИ

ДОКЛАДЫ АКАДЕМИИ НАУК АЗЕРБАЙДЖАНСКОЙ ССР

ТОМ XXXIX ЧИЛД

№ 6

1983

УДК 535.215

ФИЗИКА ПОЛУПРОВОДНИКОВ

С. Г. АБДУЛЛАЕВА, В. А. АЛИЕВ

ОПРЕДЕЛЕНИЕ ПАРАМЕТРОВ УРОВНЕЙ ПРИЛИПАНИЯ В КРИСТАЛЛАХ Р-TIGaSe₂

(Представлено академиком АН Азербайджанской ССР Ч. М. Джуварли)

Энергетический спектр ловушек—носителей заряда в высокомольных ($\rho = 10^{10} \div 10^{12}$ Ом·см при 77 К), специально не легированных монокристаллах $p = \text{TiGaSe}_2$, нами исследован двумя независимыми методами. Параметры уровней прилипания (УП) определены методом термостимулированного опустошения ловушек и в результате исследований вольт-амперных характеристик (ВАХ).

Образец кристалла TiGaSe_2 освещали светом из области собственной полосы поглощения при температуре 77 К. После этого кристаллы нагревали со скоростью 0,30 град/сек и измеряли термостимулированный ток (ТСТ), протекающий через образец в процессе нагревания. Кривая "высвечивания" (рис. 1) имеет два широких и слабо перекрывающихся максимума при температурах 170 и 260 К. Площадь под пиком в области температур $T_1 \div T_m$ (T_m —температура, соответствующая максимуму ТСТ, T_1 —температура, при которой ТСТ достигает половины максимума) больше площади под пиком в области температур $T_m \div T_2$ (T_2 —температура, при которой ТСТ уменьшается вдвое от максимальной величины), поэтому, согласно [1], повторным прилипанием можно пренебречь. Энергии залегания уровней прилипания, соответствующих максимумам (E_t), а также концентрация уровней (N_t) и время релаксации свободных носителей (τ) были определены по Бьюбу [2]. Установлено, что в данном случае выполняется условие

$$\delta > \left(1 + \frac{2\kappa T_m}{E_t}\right) \cdot \exp(-1), \text{ где } \delta = \frac{T_2 - T_m}{T_2 - T_1},$$

которое дает основание считать, что эти уровни являются быстрыми [1]. Сечения захвата для УП были вычислены по формуле [3]:

$$S = \frac{\beta E_t}{v_p \kappa T_m^2 P_m},$$

где β —скорость нагрева, E_t —энергия залегания УП, v_p —тепловая скорость дырок, T_m —температура, соответствующая максимуму ТСТ, P_m —концентрация дырок при T_m . Вычисленные значения характеристических параметров УП приведены в табл. 1.

Статические ВАХ темнового тока монокристаллических структур измерялись при комнатной температуре с относительной погрешностью 2% по точке и 0,2% по напряжению. Высокая точность измерения напряжения V при этом необходима для повышения точности определения степени ВАХ [4]

$$\alpha = \frac{d(\lg J)}{d(\lg V)},$$

зависимость которой от V составляет основу для определения параметров полупроводника в используемых методах исследования ВАХ [4,5]. Такая обработка позволяет более точно чувствовать структуру

дально допустимому (безловушечному) току монополярной инжекции [9].

$$J = \frac{9}{32\pi} \cdot e \cdot S \cdot \frac{V^2}{d^3}$$

соответствует штриховая линия на рис. 2, а.

Таблица 1

Параметры ИП в $TiGaSe_2$, определенные по методу ТСТ

T_m , К	P_m , см^{-3}	E_t , эВ	N_t , см^{-3}	τ , сек	S , см^2
170	$6,55 \cdot 10^9$	0,31	$9 \cdot 10^{11}$	$2,3 \cdot 10^{-4}$	$5,13 \cdot 10^{-19}$
260	$7,0 \cdot 10^9$	0,53	$7 \cdot 10^{13}$	10^{-3}	$3,74 \cdot 10^{-18}$

Параметры двойной инжекции в области скачка проводимости в монокристалле согласно безмодельной теории [6] могут быть получены по известным параметрам скачка тока V_m , J_m , α_m (табл. 2):

$$\left. \begin{aligned} P_m &= \frac{\mu_n}{\mu_p} \cdot n_m = \frac{\alpha_m}{2\alpha_m - 1} \cdot e \cdot \mu_p S \cdot V_m \\ \tau_{nm} &= \frac{\sigma_m^2}{(2\alpha_m - 1)(\alpha_m - 1)} \cdot \frac{d^2}{\mu_n \cdot V_m} \end{aligned} \right\},$$

Таблица 2

Расчетные параметры УП кристаллов

$\#$ обр.	α_m	V_m , в	I_m , а	Q_m	$P_m + \frac{\mu_n}{\mu_p} \cdot n_m$, см^{-3}	τ_{nm} , с	E_t , эВ	P_0 , см^{-3}	E_{fp} , эВ
D21	5,57	6,75	$1,5 \cdot 10^{-7}$	$2,7 \cdot 10^{-3}$	$1,07 \cdot 10^{11}$	$4,5 \cdot 10^{-4}$	0,515	$3,03 \cdot 10^{10}$	0,527
	4,6	17,5	$8,2 \cdot 10^{-6}$	$2,1 \cdot 10^{-3}$	$4,1 \cdot 10^{12}$	$1,88 \cdot 10^{-4}$	0,413		
	5,46	27,5	$4,27 \cdot 10^{-5}$	$3,56 \cdot 10^{-3}$	$1,32 \cdot 10^{14}$	$1,12 \cdot 10^{-4}$	0,33		
D26	3,67	2,25	$5,29 \cdot 10^{-6}$	$1,2 \cdot 10^{-2}$	$5,2 \cdot 10^{10}$	$1,62 \cdot 10^{-3}$	0,518	$2,8 \cdot 10^{10}$	0,529
	3,45	25,5	$2,8 \cdot 10^{-6}$	$2,9 \cdot 10^{-3}$	$2,1 \cdot 10^{12}$	$1,48 \cdot 10^{-4}$	0,42		
	6,0	29,5	$5,06 \cdot 10^{-6}$	$2,9 \cdot 10^{-3}$	$3,1 \cdot 10^{12}$	$1,01 \cdot 10^{-4}$			
A34	8,55	55,0	$3,4 \cdot 10^{-8}$	$1,52 \cdot 10^{-2}$	$2,05 \cdot 10^{10}$	$1,58 \cdot 10^{-4}$	0,553		
A31	2,83	25,0	$1,66 \cdot 10^{-6}$	$1,9 \cdot 10^{-3}$	$1,0 \cdot 10^{12}$	$8,57 \cdot 10^{-4}$	0,432	$3,5 \cdot 10^{10}$	0,52
C21	3,87	25,5	$1,21 \cdot 10^{-5}$	$8,2 \cdot 10^{-3}$	$1,8 \cdot 10^{12}$	$1,1 \cdot 10^{-4}$	0,429	$4,83 \cdot 10^{10}$	

где μ_p , μ_n — дрейфовая подвижность a , P_m , n_m — концентрация основных и неосновных носителей, в вышеуказанной области соответствственно, τ_{nm} — время жизни в этой области неосновных носителей. Из таблицы следует, что в запрещенной зоне кристаллов $TiGaSe_2$ существуют заполненные дырками состояния ($\alpha_m > 2$). Наличие участков $J \sim V^{3/2}$ на ВАХ свидетельствует о бимолекулярном механизме рекомбинации носителей, в отсутствие заметного потока рекомбинации на глубокие ловушки. Бимолекулярная рекомбинация может осуществляться через быстрые S -уровни, а также путем прямой

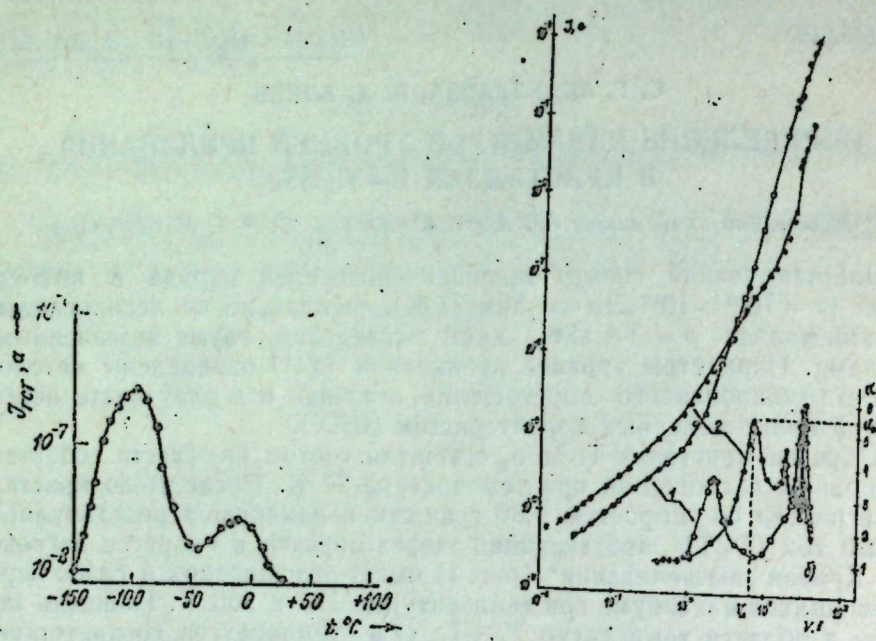


Рис. 1. Зависимость ТСТ от температуры.

Рис. 2. Типичные статические ВАХ темнового тока (а) и зависимости α от V (б) монокристаллов $TiGaSe_2$. Кр. I — образ. Д26; 2 — образ. Д21.

ВАХ, фиксировать ее особые точки и разграничивать режимы инжекции. Относительная погрешность определения α составляла $3 \pm 4\%$ при относительном интервале фиксацией напряжения ВАХ $\frac{\Delta V}{V} < 0,1$.

Как следует из рис. 2, на ВАХ темнового тока отчетливо видны линейные и сверхлинейные участки, а также скачки тока (максимумы $\alpha > 2$), обусловленные наличием локальных состояний в полупроводнике, согласно любой из инжекционных, полевых или барьерных моделей электропроводности. Весьма низкие значения дискриминационного коэффициента электропроводности свидетельствуют о наличии двойной инжекции носителей заряда в образцах $TiGaSe_2$ [6]:

$$Q_m = \frac{(2\alpha_m - 1)(\alpha_m - 1)}{\alpha_m^3} \cdot \mu_p S \cdot \frac{V_m^2}{4\pi d^3 J_m},$$

оторые вычислены для максимумов α и приведены в табл. 2. Так как при этом $Q_m \ll 1$, ток в области скачков существенно превышает предельно возможные инжекционные токи для случая монополярной инжекции. В случае $\epsilon = 21$ [7] и $\mu_p = 65 \text{ см}^2/\text{в. сек}$ [8] такому пре-

зона-зонной рекомбинации. Коэффициент рекомбинации легко вычисляется по [10, стр. 142], и в нашем случае, составляет $5.9 \cdot 10^{-18} \text{ см}^3/\text{с}$ при эффективных массах носителей $m_p = 0.63 m_0$, $m_n = 0.33 m_0$ [8] и коэффициенте преломления $\Delta = 1.65$ [11].

Энергетическую глубину уровня определили по формуле:

$$E_t = \kappa T \ln \left[\frac{Q_v}{A_m P_m} \right],$$

где A_m — численная мера интеграла, которая табулирована в [6] в зависимости от степени ВАХ. Точность определения глубины залегания уровня ± 0.02 эВ. Q_v — плотность состояний края v -зоны, которая равнялась $1.4 \cdot 10^{19} \text{ см}^{-3}$ для кристаллов TiGaSe₂.

Собственная (объемная) концентрация основных носителей P_0 определялась по омическому участку ВАХ согласно формуле $P_0 = \frac{d}{e \mu S}$

(dJ/dV) _{$V=0$} . Положение квазиуровня Ферми для дырок вычислено с использованием ее определения: $E_{fp} = \kappa T \ln [Q_v/P_0]$. Значения P_0 и E_{fp} приведены в табл. 2. При 77 К E_{fp} составляет 0,175 эВ от края валентной зоны. Как следует из табл. 2, заполняемые ЯП отчетливо подразделяются по энергетическому положению на три группы: 0.33 ± 0.02 ; 0.42 ± 0.02 ; 0.53 ± 0.02 эВ, причем значения первой и третьей групп ЯП хорошо коррелируют со значениями глубины ЯП, определенные по методу ТСТ, которые равны 0,31 и 0,53 эВ, отсчитанные от края v -зоны.

Литература

1. Halperin A., Brane A. A. Phys. Rev., 117, 408, 1960.
2. Бьюб Р. Фотопроводимость твердых тел. ИЛ., 1962.
3. Boer K. W., Oberländer S., Voigt J. Ann. Physik, 2, 130, 1958.
4. Зюганов А. Н., Свечников С. В., Шульга Е. П. УФЖ, 23, 291, 1978.
5. Зюганов А. Н., Свечников С. В. Инжекционно-контактные явления в полупроводниках. "Наукова думка", Киев, 1981.
6. Зюганов А. Н., Свечников С. В., Тхорик А. Ю., Шульга Е. П. УФЖ, 22, 370, 1977.
7. Дарнис А. М., Бахышов А. Э., Тагиров В. И. ФТП, 11, 780, 1977.
8. Guseinov G. D., Abdullayev G. B., Bizzinova S. M., Sel'dov F. M., Ismailov M. Z. and Pashayev A. M. Phys. Lett., 33 A, 421, 1970.
9. Ламперт М., Марк П. Инжекционные токи в твердых телах. "Мир". М., 1973.
10. Роуз А. Основы теории фотопроводимости. ИЛ., 1966.
11. Демидова Л. И., Карасева Л. А., Шилова М. В. Изв. ВУЗов, Физика, № 3, 134, 1978.

Институт физики

Поступило 9. IV 1982

С. Н. Абдуллаева, В. Э. Элиев

P-TiGaSe₂ КРИСТАЛЛАРЫНДА ЖАПЫШМА СӘВИЙЈӘЛӘРИНИН ПАРАМЕТРЛӘРИНИН ТӘ'ЖИН ЕДИЛМЭСИ

Термостимуллашмыш чөрәжан үсүлү илә ики жапышма сәвијїеси ашқар едигинишdir. Бу сәвијїләрни валент зонасынан таванындан олан енергетик мәсафәси (0.31 eV жə 0.53 eV), контентрасиясы ($9 \cdot 10^{14}$ жə $7 \cdot 10^{13} \text{ см}^{-3}$) жə зәйттәмәнин ен кәсіжи ($5.13 \cdot 10^{-19}$ жə $3.74 \cdot 10^{-18} \text{ см}^2$) тә'жин олунмушdur. Волт-ампер характеристикаларынын тәдгигинде тапшымыш жапышма сәвијїләри v -зонаја нәзәрән енергетик вәзијәтине көрү үч група белүптур: 0.33 ± 0.02 ; 0.42 ± 0.02 жə $0.53 \pm 0.02 \text{ eV}$.

S. G. Abdullayeva, V. A. Aliyev

DETERMINATION OF THE PARAMETERS OF THE TRAPPING LEVELS IN P-TiGaSe₂ CRYSTALS

The parameters of the trapping levels have been determined by the method of the thermostimulated emptying of the traps and as a result of investigating the volt-ampere characteristics. The method of thermostimulated emptying of the traps allowed to observe two trapping levels with the depths $E_v \approx 0.31 \text{ eV}$ and $E_v \approx 0.53 \text{ eV}$. The concentrations ($9 \cdot 10^{14}$ and $7 \cdot 10^{13} \text{ cm}^{-3}$) and capture cross-sections ($5.13 \cdot 10^{-19}$ and $3.74 \cdot 10^{-18} \text{ cm}^2$) of these levels have been determined. These levels are established to be the fast ones. By the energy position from the V -band edge the trapping levels determined from the volt-ampere characteristics may be divided into three groups 0.33 ± 0.02 ; 0.42 ± 0.02 and $0.53 \pm 0.02 \text{ eV}$. At the temperatures of 300 K the Fermi quasi-level in these crystals is by 0.53 eV above the valence band edge.

УДК 541.64+678.01

МОЛЕКУЛЯРНАЯ ФИЗИКА

Э. А. МАСИМОВ, С. А. ГАДЖИЕВ, В. В. ПРУДЬКО
А. У. МАХМУДОВ, В. Б. ЮРХАНОВ

ИССЛЕДОВАНИЕ КИНЕТИКИ ОБРАЗОВАНИЯ И РАСПАДА
НМЧ В ВОДНЫХ РАСТВОРАХ АГАРОЗЫ

(Представлено академиком АН Азербайджанской ССР Г. Б. Абдуллаевым)

В данной работе методом светорассеяния изучен процесс образования надмолекулярных частиц (НМЧ) в разбавленных водных растворах агарозы, т. к. именно полная индикатриса светорассеяния дает ценные сведения о структуре раствора на всех стадиях его старения.

Интенсивность избыточного светорассеяния измеряли на приборе ФПС-3 в интервале углов 30° – 160° для синей линии ртути ($\lambda = 4360 \text{ \AA}$) при комнатной температуре 18°C .

Индикатрисы рассеяния для свежеприготовленных растворов агарозы, представленные на рис. 1, а (кр. 1 и 2), имеют нерелеевский вид и сильно искривлены, что свидетельствует о наличии в растворе больших агрегатов или, как их называют некоторые авторы, микрогелевых частиц [1,2]. Индикатрисы рассеяния, полученные в последующие сутки (кр. 3, 4), как видно из рис. 1, а, со временем выпрямляются.

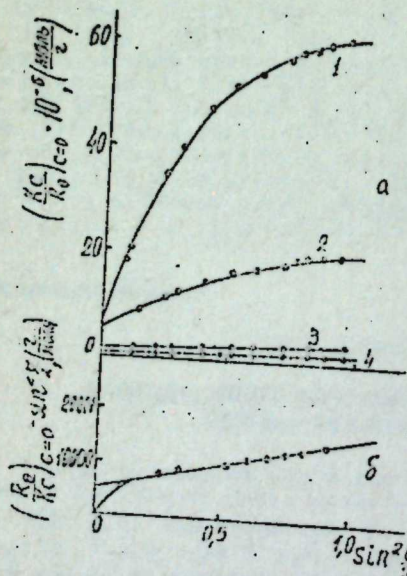


Рис. 1. а—изменение индикатрисы рассеяния водных растворов агарозы для одних (1), двух (2), трех (3) и четырех (4) суток; б—обработка кривой (1) на рис. 1, а по методу Ланге [1].

ряются и через 2–3 суток старения приобретают прямолинейный характер, что свидетельствует об агрегировании НМЧ до вполне определенного размера и молекулярной массы. О наличии НМЧ в раз-

бавленных водных растворах агарозы свидетельствует также температурная зависимость молекулярной массы поискаженным диаграммам Зимма, и найденные отрицательные значения второго вириального коэффициента A_2 , во всем изученном температурном интервале (таблица).

$T, \text{ С}$	18	30	40	50	65	70	80	90
$A_2 \cdot 10^{-6} \text{ см}^3 \text{ моль/г}^2$ (в ДМСО)	2,5	3,8	4,2	4,6	5	5	5	5,5
$A_2 \cdot 10^{-6} \text{ см}^3 \text{ моль/г}^2$ (в H_2O)	—	-0,67	-0,44	-0,1	-0,04	-0,03	-0,03	-0,02

Действительно, отрицательное значение второго вириального коэффициента A_2 является результатом первоходства взаимодействия полимер—полимер над взаимодействием полимер—вода, что приводит к агрегации при столкновении во время беспорядочного движения макромолекул. Считая, что число НМЧ для свежеприготовленного (одни сутки) раствора наименьшее, кривую для 1 суток (рис. 1, а, кр. 1) обработали по методу Ланге [1], чтобы найти истинный молекулярный вес макромолекул, свободных от микрогелевых частиц (рис. 1, б). При этом молекулярный вес макромолекул $\bar{M}_{2\infty}$ определяется тангенсом угла наклона прямолинейного участка зависимости

$$\left(\frac{R_0}{K_C} \right)_{C=0} \cdot \sin^2 \frac{\theta}{2} \text{ от } \sin^2 \frac{\theta}{2} \quad (R_0 \text{ — коэффициент рассеяния под углом}$$

относительно направления падающего света, C — концентрация полимера, K — константа для данной системы полимер—растворитель). Определенный таким образом истинный молекулярный вес агарозы оказался равным $\bar{M}_{2\infty} = 13000 \text{ г/моль}$ (в предположении, что $\tau_2 = 1$), тогда как молекулярный вес, определенный поискаженным диаграммам Зимма в работах [3,4] значительно превышал значение 13000 и был ~ 120000 . Весьма интересным оказалось, что со временем индикатриса рассеяния, как было сказано, выпрямляется, что свидетельствует об агрегации частиц до определенного размера. Для определения молекулярной массы после 3-х суток было использовано построение Янга $\sin^{-2} \frac{\theta}{2} \left(\frac{R_0}{K_C} \right)_{C=0} - \sin^2 \frac{\theta}{2}$ [5], поскольку ввиду высокой молекулярной массы отрезок, отсекаемый на оси ординат $A = 1/\bar{M}_{2\infty}$, соизмерим с разбросом точек около прямой и не может быть использован для определения молекулярной массы с достаточной степенью точности. Используя диаграмму Зимма, получили значения молекулярных масс, а также найденные из этих построений средние квадратичные радиусы инерций в зависимости от времени. На рис. 2 а представлены отношения молекулярной массы НМЧ к молекулярной массе свободных от НМЧ молекул в зависимости от времени. Как видно из

рисунка, отношение $\bar{M}_0/\bar{M}_{2\infty}$ в первые четверо суток резко возрастает, а затем, медленно увеличиваясь, доходит до постоянного значения. Радиусы инерции НМЧ (рис. 2, б) уменьшаются от значения 700 \AA в первые сутки до значения 320 \AA после 3-х суток измерения.

Полученные результаты показывают, что разбавленные водные растворы агарозы склонны к сильной ассоциации (о чем свидетельствуют большие значения молекулярной массы ассоциатов); при этом образовавшиеся надмолекулярные частицы уплотняются, уменьшаясь в размерах и образуя плотные ядра.

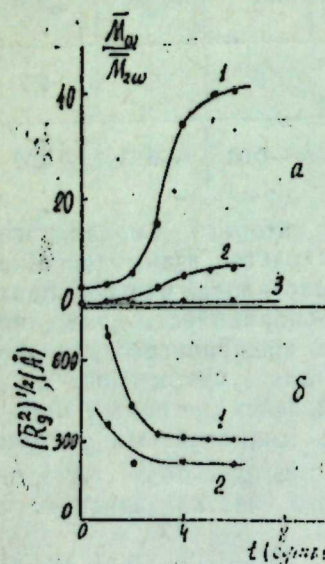


Рис. 2. а—изменение отношения молекулярной массы НМЧ к молекулярной массе молекул \bar{M}_w/\bar{M}_{2w} в водном растворе агарозы без мочевины (1), в присутствии 8 м мочевины (2) и 10 м мочевины (3) в зависимости от времени; б—изменение радиуса инерции $(\bar{R}_g^2)^{1/2}$ НМЧ в водных растворах агарозы без мочевины (1) и в присутствии 8 м мочевины (2) в зависимости от времени.

Для выяснения природы сил, обусловливающих агрегацию частиц, были проведены измерения с добавлением мочевины после того как уже образовались НМЧ постоянного размера. Мочевина используется в качестве реагента, разрывающего водородные связи незаряженных полимеров, каким является агароза. Добавление ее приводит к резкому уменьшению молекулярной массы НМЧ и увеличению их размеров. Изучение кинетики раствора в присутствии 8 м мочевины (рис. 2) показывает резкое уменьшение числа частиц, входящих в НМЧ и молекулярной массы НМЧ, а это свидетельствует о том, что образование агрегатов в растворе обусловлено водородными связями. Найденная с помощью диаграммы Зимма молекулярная масса для свежеприготовленного раствора в присутствии 8 м мочевины оказалась равной 28000 ± 3000 г/моль. Такое значение молекулярной массы сохраняется в первые сутки, а затем медленно растет. При добавлении же 10 м мочевины значение молекулярной массы не изменяется в течение всего периода измерений. Измерения молекулярного веса агарозы в диметилсульфоксиде (ДМСО), который является хорошим растворителем для агарозы, дает значение 30000 ± 3000 г/моль. Такое значение молекулярного веса не изменилось в течение 6–7 суток, что указывает на отсутствие агрегации молекул агарозы в ДМСО. Совпадение значений молекулярных масс, измеренных в разных растворителях, и отсутствие кинетики агрегации в хорошем растворителе означает, что найденные значения молекулярного веса относятся именно к макромолекуле. Кривая, обработанная по методу Ланге [1] (рис. 1, б), как было указано, дает значение $\gamma_2 \bar{M}_{2w} = 13000$ г/моль. Сравнение значений молекулярных масс с полученной истинной молекулярной

массой приводит к значению коэффициента $\gamma_2 = C_1/C$ (C_1 —весовая доля свободных макромолекул в растворе, C —концентрация раствора) равного 0,44. Это свидетельствует о том, что примерно половина макромолекул в системе агароза+вода находится в агрегированном состоянии даже в свежеприготовленных растворах.

В таблице приведены вторые виртуальные коэффициенты (A_2) в обоих растворителях (ДМСО и H_2O) во всем изучаемом температурном интервале, показывающие, что вода для агарозы является плохим растворителем ($A_2 < 0$), тогда как ДМСО—хорошим ($A_2 > 0$).

Литература

1. Lange H. Kolloid Z. und Z. für Polymer, B240, № 1–2, 747, 1970.
2. Грановская Г. Л., Розинец Я. М. ВМС, т. XXIII, № 7, 316, 1981.
3. Масимов Э. А., Махмудов А. У., Прудко В. В., Юрханов В. Б. ДАН Азерб. ССР, № 3, 1982.
4. Hickson T. G. L. and Polson A. Blochlin. Biophys. Acta, 165, 43–58, 1968.
5. Yang J. T. J. Polymer Sci., т. XXVI, 305, 1957.

АГУ им. С. М. Кирова

Поступило 20. V 1982

Е. Э. Масимов, С. Э. Ыачыев, В. В. Прудко, А. У. Махмудов,
В. Б. Юрханов

АГАРОЗАНЫН СУДА МӘҢЛҮЛҮНДА АГРЕГАТЛАРЫН ӘМӘЛЭ КӨЛМӘСИ ВӘ ПАРЧАЛАНМАСЫНЫН ТӘДГИГИ

Мөгөләдә агарозанын суду мәңлүлүндө агрегаттарын әмәлэ көлмәси вә парчаланмасынын кинетикасы тәдгиг олунмуштур. Агарозаның һөгүг молекул чөккүс тә’чи олунмуштур. Көстәрилмишdir ки, агароза үчүн ДМСО жаҳым, су исө пис һәлледичидир.

Е. А. Масимов, С. А. Оаджев, В. В. Прудко, А. У. Махмудов,
В. Б. Юрханов

THE INVESTIGATION OF SMP FORMATION AND DESTRUCTION KINETICS IN AQUEOUS AGAROSE SOLUTIONS

In present paper the kinetics of SMP formation and its destruction in aqueous agarose solutions was investigated. The true molecular weight of agarose molecule ($\approx 13,000$) was found. The inertia radius of agarose molecule were determined in H_2O and by adding of urea. The second virial coefficients in H_2O and DMSO were calculated. DMSO was found to be a good solvent for agarose while H_2O was a bad one.

УДК 539.293-536.7

ФИЗИЧЕСКАЯ ХИМИЯ

А. С. АББАСОВ, Т. Х. АЗИЗОВ, А. Г. ГУСЕЙНОВ

ИССЛЕДОВАНИЕ ТЕРМОДИНАМИЧЕСКИХ СВОЙСТВ
СУЛЬФИДОВ ГАДОЛИНИЯ

(Представлено академиком АН Азербайджанской ССР Т. Н. Шахтахтинским)

Согласно [1], диаграмма состояния системы Gd—S характеризуется соединениями следующего состава: GdS_2 , Gd_2S_3 , Gd_3S_4 , GdS .Фаза GdS_2 имеет тетрагональную сингонию с параметрами $a = 7,79 \text{ \AA}$ и $c = 7,92 \text{ \AA}$ [2].Полуторный ромбический сульфид гадолиния Gd_2S_3 имеет $a = 7,23 \text{ \AA}$, $b = 3,91 \text{ \AA}$, $c = 5,3 \text{ \AA}$ и характеризуется полупроводниковыми свойствами.Соединение Gd_3S_4 имеет гексагональную сингонию с $a = 15,64 \text{ \AA}$, $c = 14,44 \text{ \AA}$ и обладает интересными полупроводниковыми свойствами [3]. Моносульфид GdS также является полупроводником с кубической сингонией $a = 5,56 \text{ \AA}$. Различные физические свойства сульфидов гадолиния интенсивно исследуются. Однако физико-химические, в особенности термодинамические свойства изучены недостаточно.

Отрывочные данные содержатся в справочнике Миллса [4], а также в [5].

Между тем, сведения о термодинамических свойствах сульфидов гадолиния, помимо самостоятельного значения, важны и необходимы в вопросах технологии получения монокристаллов сульфидов гадолиния, при легировании, для определения их термической и химической устойчивости.

С целью пополнения этого пробела нами было проведено исследование термодинамических свойств сульфидов гадолиния методом э. д. с., детально описанными в [6].

В интервале 640–760 К измерялись э. д. с. концентрационных относительно электродов цепей вида

(-) Gd (mb) | Gd^{+3} б. электролите | $(\text{Gd}_x\text{S}_{1-x})$ (mb) (+),
где x — мольная доля Gd в сплаве.В качестве электролита была применена эвтектическая смесь солей $\text{KCl} + \text{LiCl}$ с $t_{\text{пл}} = 353^\circ\text{C}$.Соли в отдельности предварительно обезвоживались, после чего к ним добавлялась соль GdCl_3 .Соединения GdS , Gd_3S_4 , Gd_2S_3 , GdS_2 были синтезированы сплавлением исходных компонентов в стехиометрическом соотношении методом прямого синтеза в однотемпературной печи и в бомбе с перемешиванием [7]. Использованные компоненты имели чистоту: гадолиний — 99,98%, сера марки В-3.Подъем температуры в печи во время синтеза проводился медленно в течение 2–3 суток от комнатной до 1250°C . Для ускорения реакции редкоземельный металл измельчался до мелкой стружки в

Таблица 1

Соединение	Структурный тип	Период решетки			Литература
		<i>a</i>	<i>b</i>	<i>c</i>	
GdS	NaCl	5,52			Наст. исслед. [8]
	Межд.	5,56			Наст. исслед. [9]
	NiAs и CdJ_2	15,58		14,20	Наст. исслед. [10]
Gd_3S_4 $\alpha = \text{Gd}_2\text{S}_3$	La_2S_3	15,64		14,44	
		7,28	3,94	15,29	
Gd_2S_3		7,33	3,93	15,27	
	Кубич.	7,83			Наст. исслед. [2]
		7,88			

атмосфере сухого углекислого газа. Синтез проводился в графитированных особо чистых кварцевых ампулах с последующим отжигом при 700°C около 50 ч. Продукты синтеза контролировались химическим и рентгенофазовым анализами.

Таблица 2

Фазовая область	Температурный интервал, К	Потенциалобразующая реакция	$E = f(T), \text{ В}$
GdS_2 —S	320–390	$\text{Gd}_{\text{TB}} + 2\text{S}_{\text{CB}} = \text{GdS}_2$	$(1,601 - 0,103 \cdot T \cdot 10^{-3}) \pm 5 \cdot 10^{-3}$
Gd_2S_3 — GdS_2	640–760	$\text{Gd}_{\text{TB}} + 3\text{GdS}_{2\text{TB}} = 2\text{Gd}_2\text{S}_3$	$(1,380 - 0,204 \cdot T \cdot 10^{-3}) \pm 6 \cdot 10^{-3}$
Gd_3S_4 — Gd_2S_3	640–760	$\text{Gd}_{\text{TB}} + 4\text{Gd}_2\text{S}_{3\text{TB}} = 3\text{Gd}_3\text{S}_4$	$(1,109 - 0,117 \cdot T \cdot 10^{-3}) \pm 9 \cdot 10^{-3}$
GdS— Gd_3S_4	640–760	$\text{Gd}_{\text{TB}} + \text{Gd}_3\text{S}_{4\text{TB}} = 4\text{GdS}$	$(0,963 - 0,098 \cdot T \cdot 10^{-3}) \pm 6 \cdot 10^{-3}$

Результаты рентгенофазового анализа приведены в таблице, где сравниваются с литературными данными.

Таблица 3

Фаза	298 К			
	$-\Delta G^\circ$	$-\Delta H^\circ$	$-\Delta S^\circ$	S°
Gd_2S_3	$106,6 \pm 0,3$	$110,8 \pm 4,4$	$7,1 \pm 1,4$	$18,64 \pm 1,4$
	$208,6 \pm 0,7$	$213,9 \pm 8,4$	$17,7 \pm 2,8$	$39,28 \pm 2,8$
Gd_3S_4	$302,9 \pm 1,1$	$310,8 \pm 12,1$	$26,3 \pm 4,0$	$59,92 \pm 4,0$
	$91,8 \pm 0,4$	$94,3 \pm 3,7$	$8,2 \pm 1,2$	$16,04 \pm 1,2$
		110 ± 10 [4]		$18,5 \pm 2$ [4]

Опыты проводились в *H*-образных ячейках из стекла пирекс. Изучались э. д. с. электродов—сплавов, относящихся к следующим фазовым областям: GdS_2 —S, Gd_2S_3 — GdS_2 , Gd_3S_4 — Gd_2S_3 , GdS— Gd_3S_4 .

В таблице представлены уравнения температурной зависимости э. д. с. сплавов, относящихся к указанным фазовым областям.

Комбинирование уравнений с применением соотношений термодинамики позволило рассчитать стандартные значения энергии Гиббса, энтропии и энтальпии образования всех сульфидов гадолиния из твердых компонентов, которые приведены в табл. 3.

Погрешности всех величин были определены методом наименьших квадратов [11].

В табл. 3 приведены данные по энергии Гиббса, энтальпии, энтропии образования, а также энтропии сульфидов гадолиния, которые сопоставлены с имеющимися в литературе.

Вывод

Впервые методом Э. Д. С. изучены термодинамические свойства (энергия Гиббса, энтальпия, энтропия образования, а также абсолютная энтропия) сульфидов гадолиния.

Литература

1. Ярембаш Е. И., Елисеев А. А. Халькогениды редкоземельных элементов. Изд-во "Наука". М., 1975.
2. Webb A. W., Hall H. T. Inorg. Chem., 9, 1034, 1970.
3. Голубков А. В., Гончаренко Е. В., Жузе В. П. и др. Физические свойства халькогенидов редкоземельных элементов. "Наука", Л., 1973.
4. Mills K. C. Thermodynamic data for inorganic sulfides, selenides and tellurides. Butterworth, London, 1974.
5. Гордиенко С. П., Феночка Б. Ф., Виксман Г. Ш. Термодинамика соединений лантанондов. "Наукова думка". Киев, 1979.
6. Герасимов Я. И., Никольская А. В., Гейдерих В. А., Аббасов А. С., Вечер Ф. А. Сб. "Химическая связь в полупроводниках и твердых телах". "Наука и техника". Минск, 1965.
7. Гаджиев С. Н., Наджафов Ю. Б., Шарифов К. А. Изв. АН Азерб. ССР, 5, 51, 1961.
8. Landelli A. Rend. Accad. Lincei, 37, 1960, 1961.
9. Yaguchi K. J. Phys. Soc. Japan, 22, 673, 1967.
10. Prewitt C. T., Sleight A. W. Inorg. Chem., 7, 1090, 1968.
11. Налимов В. В. Применение математической статистики при анализе вещества. М., 1960.

Институт физики

Поступило 16. XI 1981

А. С. Аббасов, Т. Х. Эзизов, А. Г. Гусейнов

ГАДОЛИНИУМ СУЛЬФИДЛЭРИНИН ТЕРМОДИНАМИК ХАССЭЛЭРИНИН ТЭДГИГИ

Их дээрэ овараг EhG методу илэ гадолиниум сульфидлэриний термодинамик хассэлэри (Гиббс енергиси, эмэлэхэдээ энтальпийасы, энтропийасы, нэмчиний мүтээс энтропийасы) өврэнэилмишидир.

A. S. Abbasov, T. Kh. Azizov, A. G. Guseinov

INVESTIGATION OF THERMODYNAMIC PROPERTIES OF GADOLINIUM SULPHIDES

The thermodynamical properties of gadolinium sulphides (Gibb's energy, enthalpy, entropy of the formation as well as the absolute entropy) are first investigated by the method of the electromotive force.

АЗЭРБАЙЧАН ССР ЕЛМЛЭР АКАДЕМИЯСЫНЫН МЭРҮЗЭЛЭРИ

ДОКЛАДЫ АКАДЕМИИ НАУК АЗЕРБАЙДЖАНСКОЙ ССР
ТОМ XXXIX ЧИЛД № 6

1983

УДК 542.61:546.49

НЕОРГАНИЧЕСКАЯ ХИМИЯ

Р. А. АЛЕКПЕРОВ, Н. И. МАКОВ, А. А. АЛЕКПЕРОВ, Б. Ю. МУРАТОВ
ЭКСТРАКЦИЯ РТУТИ (II) МОНОТИОНАФТЕНОВЫМИ КИСЛОТАМИ

(Представлено академиком АН Азербайджанской ССР Г. Б. Шахтахтинским)

Исследованы экстракционные свойства монотионафтеновых кислот (МТНК) по отношению к ртути (II). Рассмотрены закономерности ее распределения в зависимости от концентрации и природы минеральных кислот, концентрации экстрагента и природы органических растворителей. Определен состав экстрагируемого соединения и рассчитаны концентрационные константы экстракции.

Экстракционные системы с монотиокарбоновыми кислотами различного строения, характеризующиеся высокой селективностью при разделении ряда элементов с заполненными d-орбиталами, рассмотрены нами ранее [1—4].

ЭКСПЕРИМЕНТАЛЬНАЯ ЧАСТЬ

Исследования проводили с микроколичествами ртути (II) ($C=1,7 \times 10^{-6}$ г-ион/л), меченной радиоактивным изотопом ^{203}Hg . В качестве экстрагента использовали МТНК (средняя молекулярная масса 220), синтезированные по методике [5]; органические растворители предварительно очищали [6]. Все опыты по экстракции проводили в делительных воронках при соотношении объемов водной и органической фаз 5:1 (15 мл водного раствора и 3 мл экстрагента). Время контакта фаз на аппарате для встряхивания составляло 15 мин (в течение данного времени обеспечивалось равновесное распределение компонентов в системе). Изменение pH производили на приборе "pH-340" с использованием стеклянного электрода; радиоактивность проб измеряли на установке ПП-16 с торцевым счетчиком Т-25-БФЛ. Коэффициент распределения находили как отношение удельных активностей органической и водной фаз.

РЕЗУЛЬТАТЫ ЭКСПЕРИМЕНТОВ И ИХ ОБСУЖДЕНИЕ

На рис. 1 приведена зависимость экстракции ртути (II) от природы минеральных кислот. Видно, что образование и извлечение монотионафтенатов ртути (II) происходит в очень широком интервале кислотности водного раствора. В области pH 1—10, независимо от природы минеральных кислот, ртуть (II) извлекается при однократной экстракции практически полностью. Влияние природы кислот проявляется при более высоких их концентрациях и выражается в изменении области количественной экстракции. Так, количественное

извлечение ртути (II) 0,01 M раствором МТНК в CCl_4 происходит до концентрации 1,0 н соляной, 3,0 Н азотной и 14,0 н серной кислот. Как видим, ртуть (II) лучше всего извлекается из сернокислых растворов, хуже — из азотно- и солянокислых.

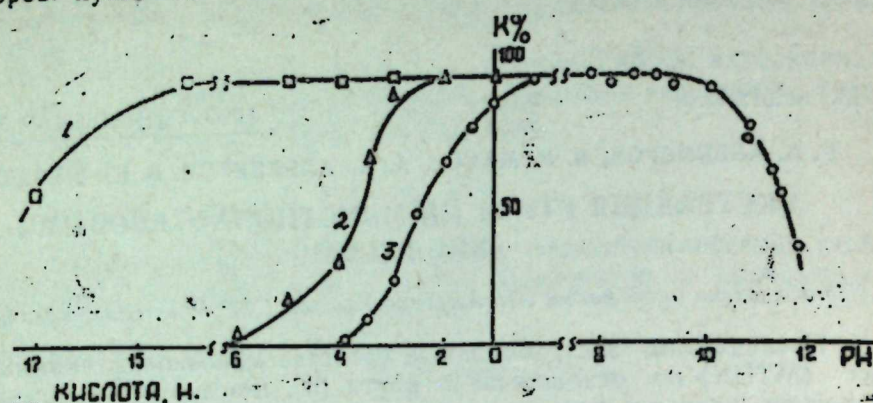


Рис. 1. Зависимость эффективности извлечения ртути (II) 0,01 M раствором МТНК от природы и концентрации минеральных кислот: 1 — H_2SO_4 ; 2 — HNO_3 ; 3 — HCl .

Во всех случаях, независимо от концентрации и природы минеральных кислот, экстракционное равновесие устанавливается в течение 15 мин, и фазы расслаиваются очень четко.

На рис. 2 приведена логарифмическая зависимость коэффициентов распределения ртути (II) от концентрации водородных ионов при

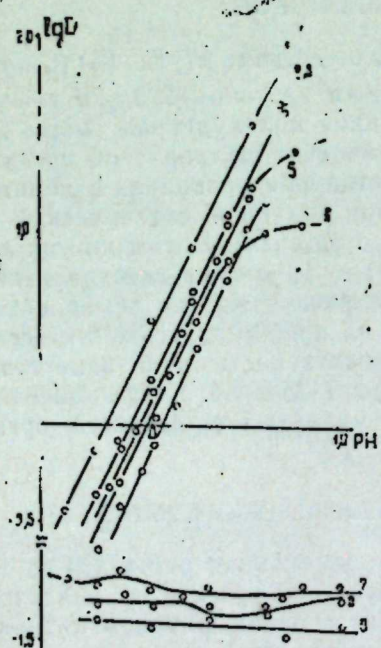


Рис. 2. Зависимость коэффициентов распределения ртути (II) от кислотности водной фазы и природы органических растворителей: 1 — бензол; 2 — четыреххлористый углерод; 3 — хлороформ; 4 — гексан; 5 — хлорбензол; 6 — толуол; 7 — изоамиловый спирт; 8 — октиловый спирт; 9 — бензиловый спирт.

экстракции 0,01 M раствором МТНК в различных органических растворителях. Извлечение производили из хлоридных систем с постоян-

ной ионной силой $\mu = 5$, создаваемой 5 н растворами NaCl и HCl . Графическая зависимость $\lg D_{\text{H}_2}$ — pH в изученной области кислотности водного раствора выражается прямой с тангенсом угла наклона, равным 2,0. Это свидетельствует об извлечении ртути (II) МТНК в результате обмена катиона ртути (II) на эквивалентное количество водородных ионов в молекуле реагента.

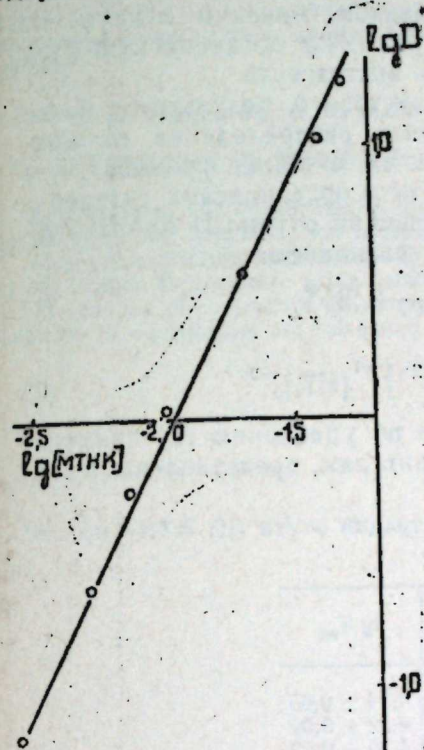


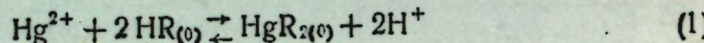
Рис. 3. Зависимость коэффициентов распределения ртути (II) от концентрации экстрагента.

При прочих одинаковых условиях величина коэффициента распределения ртути (II) зависит от природы органических растворителей. Из Рис. 2 следует, что эффективность экстракции из солянокислой среды уменьшается в ряду: бензол > четыреххлористый углерод, хлороформ > гексан > хлорбензол > толуол. Указанный последовательность наблюдается также при экстракции ртути (II) из азотнокислых и сернокислых растворов (в сульфатных и нитратных системах). Для всех исследованных систем, содержащих различные растворители, кривые экстракции имеют одинаковую форму. При использовании изоамилового, октилового и бензилового спиртов извлечение тиоафтенатов ртути (II) в исследованной области кислотности практически не происходит.

Для выяснения химизма экстракции изучали зависимость коэффициента распределения ртути (II) от концентрации водородных ионов и концентрации монотиоафтеновых кислот в CCl_4 . Подвергли также элементному анализу органическую фазу, полученную при экстракции ртути (II) из растворов различных минеральных кислот. Результаты химического анализа показали, что в экстрактах, полученных при извлечении ртути (II) из растворов соляной, азотной и серной кислот, ионы соответствующих кислот практически отсутствуют.

Из рис. 3 следует, что при постоянной концентрации водородных ионов в водном растворе коэффициент распределения ртути (II) возрастает с увеличением концентрации МТНК в органической фазе. Графическая зависимость $\lg D_{Hg} - [MTHK]$, построенная по экспериментальным данным, полученным при экстракции ртути из соляно-кислых сред, в интервале концентраций МТНК $(0,25-5,0) \cdot 10^{-2} M$ в CCl_4 прямолинейна с угловым коэффициентом, близким к двум. Из этого следует, что монотиоафтенаты ртути (II) в органическую фазу извлекаются без сольватации молекулами экстрагента.

На основании химического анализа экстракта, результатов биологических зависимостей коэффициента распределения от концентрации водородных ионов и экстрагента, а также учитывая, что в изученной области концентраций МТНК в органических растворителях не димеризуются [7], реакцию экстракции ртути (II) монотиафтеновыми кислотами можно представить уравнением:



с константой экстракции

$$K_{\text{ex}} = [\text{HgR}_s]_0 \left[\text{H}^+\right]^2 \left[\text{Hg}^{2+}\right]^{-1} [\text{HR}]_0^{-2} \quad (2)$$

Коэффициенты экстракции, рассчитанные по уравнению (2) применительно к различным органическим растворителям, представлены в таблице.

Концентрационные константы реакции экстракции ртути (II) МТНК из соли нокислых сред

Органический растворитель	$\lg K_{ex}$
Бензол	$4,54 \pm 0,03$
Четыреххлористый углерод	$4,22 \pm 0,02$
Хлороформ	$4,20 \pm 0,03$
Гексан	$4,09 \pm 0,05$
Хлорбензол	$4,01 \pm 0,03$
Толуол	$3,79 \pm 0,05$

Реэкстракцию ртути (II) из органической фазы производили 6,0 Н соляной кислотой, при этом в водную фазу переходит 50—55% ртути (II). Лучшим реагентом для ееэкстракции является 5%-ный раствор тиомочевины в 0,3 Н. H_2SO_4 . При одноминутном перемешивании экстракта с этим раствором ртуть (II) реэкстрагируется полностью.

Литература

1. Алекперова А. А., Алекперов Р. А., Золотов Ю. А. ЖАХ, т. XXV, 2283, 1970. 2. Золотов Ю. А., Алекперова А. А. ЖАХ, т. XXVI, 131, 1971. 3. Золотов Ю. А., Алекперова А. А. ЖАХ, т. XXVI, 2038, 1971. 4. Алекперов Р. А., Мамедов М. М. ЖАХ, т. XXVIII, 1001, 1973. 5. Алекперов А. А., Алекперов Р. А. Сб. "Исследования в области неорганической и физической химии АН Азерб. ССР", Баку, "Элм", 1970. 6. Берлин А. Я. Техника лабораторной работы в органической химии. "Химия", М., 1973. 7. Алекперова А. А. Канд. дисс. ИНФХ АК Азерб. ССР, Баку, 1971.

Институт неорганической и физической химии

Поступило 6. VII. 1981

Р. Э. Элекбэров, Н. Н. Маков, А. Э. Элекбэрова, Б. Ю. Муратов

ЧИВЭНИН МОНОТИОНАФТЕН ТУРШУЛАРЫ ИЛЭ ЕКСТРАКСИАСЫ

Мәгәләдә чиавин мухтәлиф шәрәитдә монотионафтен туршулары (МТНТ) иләкстраксијасы тәдгиг едилмишdir. Икивалентли чиав катионлары 0,01 M МТНТ-ны CCl_4 мәһлүлу илә сульфат туршусу (0,1—17,0 н.) азот туршусу (0,1—6,0 н.) вә хлорид туршусу (0,1—4,0 н.) мәһлүлларындан там екстраксија олунур. Екстраксија олуман бирләшмәнин тәркиби мүәјжәнләшdirиамыш вә реакцијаның сабити тә'жін едилмишdir.

R. A. Alekperov, N. N. Makov, A. A. Alekperova, B. Yu. Muratov

EXTRACTION OF MERCURY (II) BY MONOTHIONAPHTHENIC ACIDS

Extraction of microquantities of mercury by 0.01 m solutions of monothionaphtenic acids in CCl_4 depending on concentration and nature of mineral acids is studied. Maximal extraction reaches 0.1–17 N from sulphuric, 0.1–6 N from nitrogenic and 0.1–1 N from hydrochloric acids solutions.

0.1-4 N from hydrochloric acids solutions.
Mechanism of extraction is determined by equilibrium displacement method and constants of equilibrium are calculated.

М. Х. АННАГИЕВ

ИССЛЕДОВАНИЕ ХАРАКТЕРА ВЗАИМОДЕЙСТВИЯ ПРИРОДНЫХ ЦЕОЛИТОВ С Cr_2O_3 И La_2O_3 РЕНТГЕНОГРАФИЧЕСКИМ, ИК-СПЕКТРОСКОПИЧЕСКИМИ МЕТОДАМИ

(Представлено академиком АН Азербайджанской ССР Г. Б. Шахтахтинским)

Природные цеолиты широко используются в качестве адсорбентов и катализаторов после обработки их соответствующими электролитами. Частицы цеолитированного туфа состоят из мелких монокристаллов цеолита, беспорядочно сросшихся в различных направлениях в примесных минералах [1].

Представляет большое практическое значение изучение характера взаимодействия природных цеолитов с CrO_3 , $\text{Cr}(\text{OH})_3$, La_2O_3 физическими методами.

Для исследования образовавшихся новых фаз при взаимодействии цеолитов с окисью хрома применяются данные рентгенографического и инфракрасно-спектроскопического исследования, которые дают ценную информацию о природе активных поверхностных соединений, входящих в состав цеолитсодержащих катализаторов, играющих важную роль в химическом превращении углеводородов. При введении в состав образца клиноптилолита Айдагского месторождения 15% $\text{Cr}_2\text{O}_3 + 1,5\%$ La_2O_3 и после прокалки при 500°C в течение 6 ч. происходит сильное изменение интенсивности рефлексов клиноптилолита и на дифрактограмме появляются малоинтенсивные рефлексы Cr_2O_3 (1,67; 1,81; 2,65 Å) и рефлексы 2,90; 3,40; 4,32 Å, которые соответствуют CrO_3 [2]. После трехкратной обработки клиноптилолита 0,2 N водным раствором KCl и введением в состав того же образца 15% $\text{Cr}_2\text{O}_3 + 1,5\%$ La_2O_3 , на дифрактограмме образца наблюдаются рефлексы, характерные для Cr_2O_3 , и имеет место уменьшение интенсивности рефлексов, характерных для клиноптилолита, по сравнению с дифрактограммой цеолитсодержащего катализатора того же состава, в котором клиноптилолит не обрабатывался водным раствором KCl.

Однако надо отметить, что при нанесении $\text{Cr}(\text{OH})_3$ —в различных соотношениях и при дальнейшей обработке водным раствором KCl (в составе образца содержится 15% Cr_2O_3 и 4% H_2O) на образцах клиноптилолита Айдагского месторождения наблюдается уменьшение интенсивности рефлексов, характерных для клиноптилолита.

Таким образом, при обработке клиноптилолита, полученного из Айдагского месторождения CrO_3 , $\text{Cr}(\text{OH})_3$, $\text{La}(\text{NO}_3)_3$, K_2O , происходит сильное взаимодействие клиноптилолита с активными компонентами, в результате некоторое количество атомов хрома входит в решетку феолита и происходит частичная аморфизация цеолита.

При введении 15% $\text{Cr}_2\text{O}_3 + 1,5\%$ La_2O_3 в состав природного морденита Нахичеванской АССР, обработанного 1 N водным раствором NH_4Cl и после прокалки образца на воздухе при 600°C в течение 6 ч происходит сильное уменьшение интенсивности рефлексов, характерных для морденита: 9,03; 4,50; 3,96; 3,44; 3,19 Å и на дифрактограмме появляются малоинтенсивные рефлексы, характерные для Cr_2O_3 и CrO_3 . При обработке морденита 1 N водным раствором KCl, а далее 1%-ным раствором KCl и введении в состав того же образца 15% Cr_2O_3 (образец У₁₅) степень разрушаемости природного морденита больше, чем у образца, обработанного 1 N водным раствором NH_4Cl и имеющего в составе 15% Cr_2O_3 и 1,5% La_2O_2 .

При введении в состав образца природного морденита 15% $\text{Cr}_2\text{O}_3 + 1,5\%$ La_2O_3 (образец У₁₂) интенсивность рефлексов природного морденита уменьшается слабее по сравнению с образцами, обработанными 1 N водными растворами NH_4Cl , KCl и далее введенным 15% $\text{Cr}_2\text{O}_3 + 1,5\%$ La_2O_3 .

В результате рентгенографического исследования образцов морденита, полученного из Нахичеванской АССР после обработки их водными растворами NH_4Cl , KCl и CrO_3 , было установлено, что после обработки природного морденита 1 N водными растворами NH_4Cl , KCl и дальнейшем введении в состав того же образца 15% $\text{Cr}_2\text{O}_3 + 1,5\%$ La_2O_3 , степень разрушаемости цеолита больше, чем морденита, не обработанного NH_4Cl , KCl, но введенного в состав образца 15% $\text{Cr}_2\text{O}_3 + 1,5\%$ La_2O_3 . Таким образом, после обработки морденита водными растворами NH_4Cl , $\text{Cr}(\text{OH})_3$ и при взаимодействии этих образцов с CrO_3 и $\text{Cr}(\text{OH})_3$ происходит усиление аморфизации цеолита по сравнению с цеолитами, не обработанными растворами NH_4Cl и KCl.

Для дальнейшего исследования характера взаимодействия между клиноптилолитом, морденитом с активными компонентами (Cr_2O_3 , $\text{Cr}(\text{OH})_3$, $\text{La}(\text{NO}_3)_3$, K_2O), полученные образцы были подвергнуты спектроскопическому исследованию. В инфракрасном спектре природного клиноптилолита, полученного из Айдагского месторождения, наблюдалась полосы поглощения с максимумами при 3640, 3570, 3460, 1640, 1540, 1380, 1160, 1080, 940, 800, 770, 610, 530, 475 cm⁻¹, а при введении в состав того же образца 15% $\text{Cr}_2\text{O}_3 + 1,5\%$ La_2O_3 из спектра исчезают полосы поглощения с максимумами при 530, 940 cm⁻¹ и появляются полосы поглощения при 590 cm⁻¹. При смешении $\text{Cr}(\text{OH})_3$ с образцом, полученным из Айдагского месторождения и дальнейшая обработка его K_2O и после прокалки при 500°C в течение 6 ч возрастает интенсивность полосы поглощения при 590 cm⁻¹, а полоса поглощения при 1630 cm⁻¹ смещается до 1640 cm⁻¹ с возрастанием интенсивности; полоса же поглощения с максимумом при 3640 cm⁻¹ смещается до 3610 cm⁻¹ (в составе образца содержится 15% Cr_2O_3 ; 2% K_2O).

Наблюдаемые в спектре образцов полосы поглощения в области 1380–1400 cm⁻¹ характеризуют деформационные колебания OH-групп [3], а полоса поглощения при 3750 cm⁻¹ валентные колебания Si-OH [4].

Полосы поглощения с максимумами при 3460 и 1640 cm⁻¹ соот-

вествуют валентным и деформационным колебаниям адсорбированных молекул воды на поверхности цеолитсодержащих катализаторов [4]. Полоса поглощения при $3650-3610 \text{ см}^{-1}$ характеризует валентные колебания $\text{Al}-\text{OH}$ [4,5]. Однако надо отметить, что полосы поглощения в области $770-800 \text{ см}^{-1}$ характеризуют колебания связи $\text{Si}-\text{O}$ в цеолитах, кварце и силикатах [6]. Пик в области 800 см^{-1} характерен для кварца и SiO_2 [7,8].

Связь $\text{Si}-\text{O}-\text{Al}$ характеризуется полосой поглощения в области $720-780 \text{ см}^{-1}$ [9]. Наблюдаемая полоса поглощения при 960 см^{-1} характеризует связь $\text{Al}-\text{OH}$. Из литературы [10] известно, что полоса поглощения при 3550 см^{-1} была отнесена к гидроксильным группам, образовавшимся на местах с дефицитом катионов и она сдвинута в сторону меньших частот с ростом средства к электрону соответствующего катиона. Однако надо отметить, что возрастание интенсивности полосы поглощения при 590 и 640 см^{-1} связано с сочетанием валентного колебания $\text{Cr}-\text{O}$ и $\text{La}-\text{O}$. Полоса поглощения в области $\nu 580 \text{ см}^{-1}$ связана с содержанием Al в цеолите; чем меньше содержание Al , тем выше значение $\nu 580 \text{ см}^{-1}$. Полоса поглощения в области $420-500 \text{ см}^{-1}$ соответствует деформационным колебаниям внутри тетраэдров TO_4 .

Однако надо отметить, что наблюдаемые полосы поглощения в области 1540 см^{-1} указывают на имеющиеся примеси других минералов [11].

При введении в состав образца природного морденита $15\% \text{ Cr}_2\text{O}_3$ и $1,5\% \text{ La}_2\text{O}_3$ в спектре появляется слабая полоса поглощения при 550 см^{-1} , а полоса поглощения с максимумом при 570 см^{-1} смещается до 560 см^{-1} и возрастает интенсивность полосы поглощения при 630 см^{-1} . Из спектра исчезают полосы поглощения с максимумами при 960 , 1220 см^{-1} , а полоса поглощения при 1100 см^{-1} смещается до 1050 см^{-1} .

Однако надо отметить, что независимо от количества активного компонента, введенного в состав морденита, положение полосы поглощения при 690 см^{-1} не меняется; а полоса поглощения при 570 см^{-1} зависит от количества активного компонента, вводимого в состав морденита и смещается до 550 см^{-1} .

Таким образом появление новых полос поглощения в области колебания каркаса и смещение некоторых полос поглощения показывает на существование взаимодействия между природными цеолитами и активными компонентами.

Проведенные спектроскопические исследования в инфракрасной области показывают, что на поверхности цеолитсодержащих образцов существует несколько типов гидроксильных групп, которые отличаются друг от друга в энергетическом отношении.

Таким образом проведенные рентгенографические и спектроскопические исследования показывают, что в результате обработки природных цеолитов Cr_2O_3 , $\text{Cr}(\text{OH})_3$, $\text{La}(\text{NO}_3)_3$, K_2O и после прокалки при $500-600^\circ\text{C}$ на воздухе происходит частичное внедрение хрома в решетку цеолита и при этом происходит частичная аморфизация цеолита, а оставшийся хром в составе образца находится в виде Cr_2O_3 , CrO_3

Литература

- Крюков В. Л., Челищев Н. Ф., Беляева И. Д. „Коллоид. ж.“, т. 43, № 1, стр. 171-175, 1981.
- Миркин Л. И. Справочник по рентгеноструктурному анализу поликристаллов. М., 1961.
- Ширинская Л. П., Еременко Н. Ф. „Ж. физ. химии“, № 1, стр. 143, 1972.
- Давыдов В. Я., Журавлев Л. Г., Киселев А. В. „Ж. физ. химии“, 28, 2047, 1964.
- Булгаков С. В., Уваров А. В., Антипина Т. В. „Ж. физ. химии“, 43, 681, 1969.
- Лазарев А. Н. „Колебательные спектры и строение силикатов“. М., 1968.
- Марков А. Д. „Кинетика и катализ“, т. 2, вып. 1, 1961.
- Зульфугаров З. Г., Аниагиев М. Х., Джавадов М. Н., Насибов М. М. „Азерб. хим. ж.“, № 4, стр. 87, 1975.
- Уваров А. В. „Ж. физ. химии“, т. 36, 1346, 1962.
- Кишиев А. А. „Химия цеолитов и катализ на цеолитах“, стр. 156-157. „Мир“, М., 1980.
- Чалый В. П., Макарова З. Я. „Укр. хим. ж.“, № 11, 1969.

Поступило 6. VII 1981

Институт неорганической и физической химии

М. Х. Эниагиев

ТЭБИНИ СЕОЛИТЛЭРИН Cr_2O_3 ВЭ La_2O_3 ГАРШЫЛЫГЛЫ ТЭ'СИРИНИН ЭХАРАКТЕРИНИН РЕНТГЕНОГРАФИК, ИНФРАГЫРЫМЫЗЫ СПЕКТРОСКОПИЯ УСУЛЛАРЫ ИЛЭ ТЭДГИГИ

Тэбии клиноптиолит вэ морденит сеолитлэрн NH_4Cl вэ KCl дузларыны сульмэхлүллары илэ ишлэндикдэн сонра вэ тэбии наада CrO_3 , $\text{Cr}(\text{OH})_3$, La_2O_3 -лэ гаршылыглы тэ'сирини хархери рентгенографик, инфрагырмызы спектроскопик үсулларла тэдгиг едилмишдир.

Апарылмыш тэдгигтларын нэтичэсийнде мүэйжэн едилмишдир ки, клиноптиолит вэ морденити NH_4Cl вэ KCl дузларыны суду мэхлүллары илэ ишлэндикдэ вэ сонира нэминий нүүмнэлэрийн ичэрийн $\text{Cr}(\text{OH})_3$, CrO_3 , La_2O_3 дахил едилмишдир.

Нэтичээд актив компонентлэрэл сеолитлэр арасындакы гаршылыглы тэ'сирин нэтичэсийнде Cr атомунуун мүэйжэн үссэсэн схемин кристаллик гэфэснэ дахил олмуш вэ буун нэтичэсийнде кристаллик гургуулушун мүэйжэн үссэсэн аморфлашмышдыр.

INVESTIGATION OF THE INTERACTION CHARACTER OF THE NATURAL ZEOLITES WITH Cr_2O_3 AND La_2O_3 BY ROENTGENOGRAPHIC, IR-SPECTROSCOPIC METHODS

The interaction character of CrO_3 , $\text{Cr}(\text{OH})_3$, La_2O_3 with clinoptilolite and mordenite-type natural zeolites was investigated before and after treatment with their aqueous solution of NH_4Cl and KCl by roentgenographic and spectroscopic methods.

As a result of carried out investigations it is determined that by treatment of clinoptilolite and mordenite with the aqueous solution of NH_4Cl and KCl with the further addition of $\text{Cr}(\text{OH})_3$, CrO_3 and La_2O_3 to their composition the interaction occurs between the active components and natural zeolites, as a result of which chrome is inculcated into zeolite lattice and by this the partial amorphisation of samples takes place.

Д. Д. МАЗАНОВ

ВОПРОС О ТЕОРИИ СТРАТИФОРМНОГО РУДООБРАЗОВАНИЯ

(Представлено академиком АН Азербайджанской ССР А. Д. Султановым)

До сих пор стратиформное рудообразование не получило своего удовлетворительного разрешения. До 60-х годов месторождения этого типа относились к гидротермальным.

Существует ряд работ по теории рудообразования, но изложение их результатов выходит за рамки нашей статьи. Достижения геологии рудных месторождений трех последних десятилетий привели к отказу от традиционной идеи о гидротермальном происхождении стратиформных месторождений цветных полиметаллических руд и выдвинули на смену новые представления об осадочном рудогенезе.

Вначале геологи-рудники полагали, что удастся найти способ разрешения возникшего конфликта. Многие из них, вплоть до сегодняшнего дня, не прекращают попыток примирения идей гидротермальной гипотезы с осадочной. Однако теория и практика геологоразведочных работ указывают на непримиримость этого противоречия.

Существует множество месторождений Cu, Pb, Zn и других металлов в песчано-глинистых и карбонатных отложениях, физико-химические условия образования которых столь близки к условиям формирования вмещающих отложений, что здравый смысл настоятельно требует приписать им первично-осадочный генезис.

Металлогенические исследования шельфовых зон и дна океанов, известное на сегодняшний день число месторождений, условия нахождений, не позволяют, чтобы их можно было считать "гидротермальными".

В результате, некоторым геологам-эндогенщикам пришлось отказалось от мысли, что многие из известных месторождений цветных полиметаллических руд являются гидротермальными образованиями. Стремительно развивающиеся исследования приведут к открытию таких месторождений других металлов, которые мы уже сможем отнести к разряду первично-осадочных. Сегодня кандидатами на эту роль являются интенсивно изучаемые стратиформные месторождения золота, ртути, олова, вольфрама и др., промышленные месторождения которых всегда считались гидротермальными. Однако стратиформные месторождения этих металлов в настоящее время стали относить к осадочным.

Правда, еще недостаточно полно освещено размещение стратиформных месторождений в геосинклинально-складчатых областях разных типов, платформах, областях тектономагматической активизации и срединных массивах. Более того, еще неясно, какие представления вкладываются в понятие "стратиформные месторождения"? Последние

представляются как комбинации гидротермального и осадочного рудогенеза. Например, предполагается, что пиритовые руды образуются на морском дне (независимо от источников оруденения), а Cu, Pb, Zn и сопутствующие им элементы являются наложенными гидротермальными в последующие этапы рудообразования. Эта точка зрения вновь приводит нас к противоречию. Для того, чтобы Cu, Pb, Zn "садились" на Fe, образуя наблюдавшие в природе комбинированные колчеданно-полиметаллические месторождения, нет никакой необходимости допускать большой разрыв во времени между собственно колчеданными и полиметаллическими рудами. Пока нет строгой геологической и физико-химической формулировки этой идеи, серьезно обсуждать ее не имеет смысла. Первично-осадочные пиритовые руды представляют удобные "ловушки" для полиметаллов, но эти комбинации можно объяснить и не прибегая к наложенному гидротермальному процессу. Приуроченность колчеданно-полиметаллических месторождений к раннемегасинклинальному этапу рудообразования не дает прямого указания на обязательное существование более позднего (постскладчаго), гидротермального рудогенеза.

Идея, основанная на проявлении подводных вулканогенных потоков и газогидротермов, которые оказались во власти бассейна осадконакопления и, в дальнейшем, подчинялись всем закономерностям морской седиментации и диагенеза, интенсивно обсуждалась еще до появления концепции первично-осадочного рудогенеза. При этом всегда возникали трудности в отношении локализации и удаленности оруденения от подводных вулканических построек. Когда оруденение находится вблизи от источника рудоформирующих растворов, например, в вулканогенно-осадочных формациях, этого конфликта, видимо, нет: гидротермально-осадочная концепция может давать правильные прогнозы. Однако для нормально-осадочных песчано-глинистых и карбонатных формаций с промышленными скоплениями цветных металлов видимую связь оруденения с источниками рудного вещества никогда не удавалось сформулировать без противоречий. Формулировка гидротермально-осадочной теории для таких колчеданно-полиметаллических руд в песчано-глинистых формациях и полиметаллических месторождениях в карбонатных толщах сталкивается с определенными трудностями. Такая ситуация, иногда обозначаемая термином "отдаленная вулканогенная формация", означает что гидротермально-осадочная концепция пока достаточно не разработана.

Что же сегодня делают геологи-теоретики, ориентирующиеся на эндогенный рудогенез? Их деятельность идет в двух направлениях.

На первом из них исследуются различные модели геологического развития земной коры: геосинклинальные троги на континентальной коре; прогибы, формирующиеся на океанической коре; раздиги континентальной коры; заложение и развитие эвгеосинклиналей по аналогии с современными зонами Беньофа. Такие модели можно описать разнообразными методами, и их изучение привело к следующему обнадеживающему выводу: большинство наблюдаемых месторождений полезных ископаемых можно связать с определенными магматическими, осадочными, вулканогенно-осадочными и другими формациями. При этом, конечно, неизбежно приходится рассматривать такие сложные комбинации геологических формаций, что набор и состав рудогенных элементов, масштабы оруденения и их генетическая

связь с конкретными геологическими формациями становится весьма ненадежными. Все же общий качественный успех рассмотренных моделей развития земной коры, согласно которым делаются попытки объяснить наблюдаемый спектр месторождений рудных полезных ископаемых, весьма впечатляет.

Второй подход связан со все более глубоким исследованием конкретных рудных провинций, районов, месторождений и т. д. На сегодняшний день получен громадный фактический материал по металлогении отдельных регионов, рудных провинций, районов, месторождений. Кроме того, обширные исследования ведутся по металлогенезу шельфовых зон и дна океанов. Благодаря этому удалось выявить многие закономерности образования и размещения рудных полезных ископаемых в земной коре и наметить задачи их дальнейших исследований. Эти исследования уже позволили предположить, что различные геологические процессы могут привести к одинаковым вещественным результатам. Было бы слишком наивно утверждать, что эндогенная концепция рудообразования в отношении выяснения генезиса стратиграфических месторождений полностью изжила себя или же идея осадочного рудообразования обязательно ведет к будущим успехам.

Само существование геологии основывается на исследовании эндогенных и экзогенных процессов. Вместе с тем, выполнимость этих исследований определяется основными направлениями экономического и социального развития нашей страны.

По-видимому, мы достигли той стадии познаний, когда дальнейший существенный прогресс в теории рудообразования потребует от нас в первую очередь решить важнейшие вопросы планирования фундаментальных и прикладных исследований.

Желательно больше изучать природные месторождения и меньше строить умозрительные прогнозы. С целью увеличения полезной геологической информации следует приступить к построению крупномасштабных металлогенических карт.

Отражая фактическое распространение и генетическую связьрудо-
генных элементов с магматическими процессами, осадконакоплением
и метаморфизмом—конкретными элементами геологической структуры,
имеющими важное значение в образовании форм, размеров и про-
странственного положения промышленных скоплений руд и их прояв-
лений, металлогенические карты, не только являются сдерживающим
фактором при построении умозрительных металлогенических концеп-
ций, но и представляют собой незаменимый информационный доку-
мент, оказывающий существенную помощь в прогнозировании различ-
ных видов полезных ископаемых, в частности, металлических иско-
паемых.

Институт геологии

Ч. Ч. Мазаков

Поступило 14. V 1981

СТРАТИФОРМ ФИЛИЗ ЭМЭЛЭКЭЛМЭ НЭЭЗЭРИЙЈЭСИ ҮАГГЫНДА

Мэгэлдэх стратиформ филиз эмэлэклэл мэсээрийн эсийнин вэзијжэти вэ рэнкли полиметал филизлэриний дахь формалы ятагларыны тэдгиг едилмэс мэсэлэлэрийн бэхс едилр.

D. D. Mazanov

QUESTION ON THE THEORY OF STRATIFORM ORE FORMATION

Conditions of the theory of stratiform ore-genesis and problems of further investigations of sheet deposits of coloured polymetallic ores are considered in the article.

УДК 553.982 (479.24)

ГЕОЛОГИЯ НЕФТИ

Г. К. АЛИФОВ, Т. М. ГУСЕЙНОВ, Т. Н. САРАДЖЕВ

О ПУТЯХ ПОВЫШЕНИЯ НЕФТЕОТДАЧИ ГОРИЗОНТОВ ВЕРХНЕГО ОТДЕЛА ПТ МЕСТОРОЖДЕНИЯ ЛОКБАТАН-ПУТА-КУШХАНА

(Представлено академиком АН Азербайджанской ССР Ш. Ф. Мехтиевым)

В разрезе рассматриваемого месторождения наиболее продуктивным комплексом является ее верхний отдел.

Рассматриваемое месторождение является единой структурой, в пределах которой выделяются площади Локбатан, Пута, Кучхана. Наряду с продольным разломом, складка осложнена также и рядом поперечных нарушений сбросового характера. Подсчет запасов производился по трем основным тектоническим полям (северному, южному крылу и восточной периклинали, рисунок).

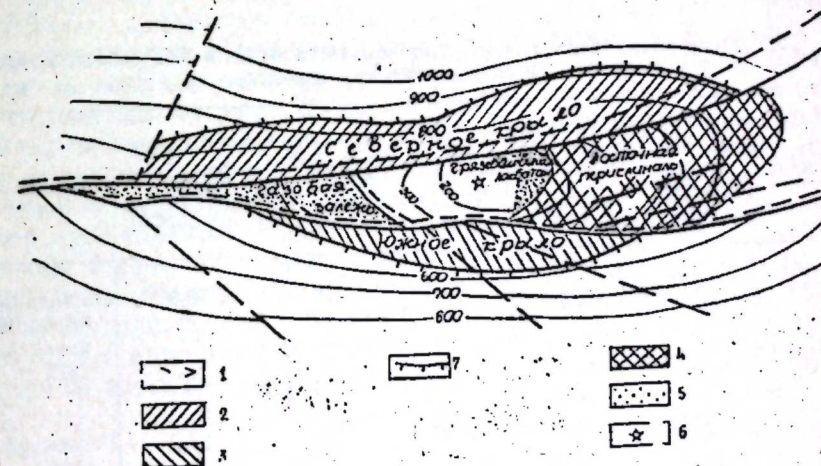


Схема размещения залежей нефти месторождения Локбатан-Пута-Кушхана: 1—изогипсы по кровле VII горизонта; залежи нефти; 2—северное крыло; 3—южное крыло; 4—восточная переклиналь; 5—газовая залежь; 6—грязевый вулкан; 7—первоначальный контур нефтеносности

При подсчете запасов нефти и газа были изучены и систематизированы геологопромысловые и геологогеофизические материалы, накопленные за длительное время разработки (более 40 лет). Были уточнены все подсчетные параметры (площадь первоначального контура нефтеносности, эффективная мощность, пористость, проницае-

мость, нефтенасыщенность и др.), а также данные о добыче нефти, воды и газа с начала разработки по годам; определены текущие и конечные коэффициенты нефтеотдачи.

Верхний отдел ПТ в рассматриваемой области представлен сурханской, сабунчинской, балаханской свитами и свитой "перерыва". Сурханская свита здесь не нефтеносна. В сабунчинской свите отмечаются редкие песчаные пласти небольшой мощности—так называемый пласт "А" и пачка I горизонта (I, I_a, I_b). В разрезе балаханской свиты выделяется 16 горизонтов, в разрезе свиты "перерыва"—горизонты VII, VIII, VII_a (табл. 1).

Таблица 1

Подсчетные горизонты	
На 1. I 1951 г.	На 1. I 1978 г.
I, I _a , I _b , II, III, III _a , III _b , III _c	Пачка III
IV, IV _a , IV _b , IV _c , IV _d , V, VI, VI _a	Пачка IV
VI, VI _a	Пачка VI
VI _b	VI _b
VI—VII, VI—VII ₂ , VI—VII ₃	Раздел VI—VII
VII, VIII	Пачка VII
VIII _a	

Анализ геолого-промышленных материалов показывает, что все указанные горизонты могут быть объединены в более крупные пачки. Поэтому подсчет запасов нефти и газа произведен по укрупненным

Таблица 2
Состояние разработки горизонтов верхнего отдела ПТ месторождения Локбатан—Пута—Кушхана

Горизонт	Начало разработки	Коэффициент нефтеотдачи на 1. I 1978 г.		% обводненности добываемой жидкости	Режим залежи
		Текущий	Конечный		
III	1927	0,22	0,23	114	90,5
IV	1925	0,23	0,30	185	92,1
VI	1927	0,40	0,46	166	94,5
IV _b	1933	0,36	0,40	128	89,2
VI—VII	1931	0,18	0,22	13	88,7
VIII	1932	0,41	0,48	124	91,5
VII	1932	0,42	0,49	60	92,3

объектам. Дальнейшая их разработка может быть осуществлена в качестве единого объекта (фильтры могут быть расширены приобщением внутри укрупненного объекта). В результате проведенных исследований установлено, что между рассматриваемыми горизонтами

существует гидродинамическая связь и они являются единым подземным резервуаром. В настоящее время все горизонты верхнего отдела находятся в поздней стадии разработки. Процент обводненности добываемой жидкости составляет 90—95%, почти все работающие скважины являются малодебитными (0,1—5,0 т/сут), значения текущих коэффициентов нефтеотдачи близки к конечным его величинам (табл. 2).

Как видно из данных табл. 2, текущий коэффициент нефтеотдачи по горизонтам изменяется в пределах 0,22—0,42 и близок к конечным ее значениям (лишь по I—VI—VII горизонтам текущий и конечный коэффициенты нефтеотдачи соответственно составляют 0,18—0,22). Из таблицы также видно, что горизонты III—IV—VI имеют почти одинаковую продолжительность разработки, но по VI горизонту текущая нефтеотдача значительно выше (0,40), чем по горизонтам III—IV (0,22—0,23). Это объясняется тем, что горизонт VI отличался в начальной стадии разработки газоводонапорным режимом, который на более поздней стадии перешел в режим растворенного газа, а в III—IV горизонтах с самого начала разработки был малоэффективный режим растворенного газа. Кроме того, горизонт VI отличается более высокой проницаемостью (250 мдарси), чем горизонты III и IV (150 мдарси).

Весь верхний отдел на 1. I. 1978 г. разрабатывался 800 скважинами (за 1978 год было добыто 180 тыс. т нефти). Таким образом часть объема залежи остается не промытым (табл. 2).

Этот остаточный запас нефти может быть в значительной мере извлечен путем применения различных прогрессивных методов интенсификации добычи нефти. По нашему мнению, одной из причин сравнительно низких коэффициентов нефтеотдачи по рассматриваемым горизонтам является высокая степень неоднородности нефтяных коллекторов как по разрезу так и по площади (неоднородность коллекторов увеличивается в юго-западном направлении). Естественно, что при наличии высокой степени неоднородности при разработке обводнение отдельных горизонтов происходит неравномерно-послойно (вода внедрялась в эксплуатационные скважины по более проницаемым пропласткам, на отдельных участках оставались целики нефти, неохваченные разработкой). Таким образом, нефть, содержащаяся в наименее проницаемых пропластках, осталась все еще неизвлеченной.

На наш взгляд, те условия разработки, которыми обладают рассматриваемые объекты, свидетельствуют о том, что при правильном подборе подходящих участков и применении циклического воздействия на эти пласти можно существенно повысить конечный коэффициент нефтеотдачи рассматриваемых горизонтов.

Литература

- Гусейнов Т. М. АНХ, № 4, 1962.
- Гусейнов Т. М. АНХ, № 3, 1963

НГДУ "Карадагнефть"

Н. К. Элисов, Т. М. Гусейнов, Т. Н. Серебров

ЛӘКБАТАН-ПУТА-ГУШХАНА НЕФТ ІАТАҒЫНДА МӘҢСҮЛДАР
ГАТЫН ЖУХАРЫ ШӨ'БЕСИ ЛАЙЛАРЫНЫН НЕФТВЕРМӘСИНИН
ЖҮКСӘЛДИЛМЭСИ ҚАГЫНДА

Мәғаләдә истиесар дөврүндән асылы оларға. Ләкбатан-Пута-Гушхана жатағында, мәңсүлдар гатын жухары шө'бесини лајлар үзәнде нефтвемә эмсаллары арашдырылыш вә көстәримлишdir ки, III—IV вә VI лајларда ишләнім мүддәти еңи олдуғун-

дан, VI лајда нефтвермэ эмсалы 0,40, III вэ IV лајларда исэ 0,22—0,23 арасында дајишир. Бу онуна изаң олунур ки, ишләнмәнин эввәлидән VI лајны режими эсас е'тибариле су-газбасгылы олмуш кечиричилии исэ 250 мдарсидир. III вэ IV лајларын режими аз эффективли нефтә һәлә олмуш газ һесаб олунур. Лајны кечиричилии исэ 150 мдарсидир. Бундан әлаңә мәгаләдә лајлардан галыг нефти чыхармаг учүн, мұтәрәгги үсуллардан истифадә олунмасы көстәрилир.

G. K. Afifov, T. M. Museinov, T. N. Saradzev
ABOUT THE WAYS OF INCREASE OF

OIL OUTPUT OF HORIZONS OF UPPER FORMATION OF PRODUCTIVE STRATA DEPOSITS IN LOKBATAN—PUTA—KUSHKHANA

The outputs of horizons of the upper formation of productive strata in Lokbatan—Puta—Kushkhana deposits are given in the article. At present all horizons of the upper formation are in the late stage of development.

Current coefficient of oil output on horizons is changed within 0.224—0.424 and is close to its final value (only on VI—VII horizons the current and final coefficients of oil output form correspondingly 0.177—0.220) (table 2). It is shown from the tables that III—IV and VI horizons have almost the same duration of the development but current oil output on VI horizon is significantly higher (0.401) than on III—IV horizons (0.224—0.228). It is explained that the VI horizon differs in early stage of development by gas-water pressure regime, which turns into the gas solution regime in the latest stage, but in III—IV horizons there was less effective regime of gas solution. Besides that, VI horizon differs by high penetrativeness (250 mdarsy) than III—IV horizons (150 mdarsy).

АЗЭРБАЙЖАН ССР ЕЛМЛӨР АКАДЕМИЯСЫНЫН МӘРУЗӘЛӘРИ

ДОКЛАДЫ АКАДЕМИИ НАУК АЗЕРБАЙДЖАНСКОЙ ССР

ТОМ XXXIX ЧИЛД

№ 6

1983

УДК 55 (1) (479.24)

ТЕКТОНИКА

Чл.-корр. Э. Ш. ШИХАЛИБЕЙЛИ, Г. И. АЛЛАХВЕРДИЕВ, Т. Н. НАСИБОВ,

З. А. ВЕЛИЕВ, Л. А. ПОРОШИНА, С. М. МИКАИЛОВ, А. Т. АХВЕРДИЕВ

НОВЫЕ ДАННЫЕ О ВОЗРАСТЕ И СТРУКТУРНОМ ПОЛОЖЕНИИ РУДОВМЕЩАЮЩЕЙ КРЕМНИСТО- КАРБОНАТНОЙ ТОЛЩИ ЛЕВЧАЙСКОГО РУДНОГО ПОЛЯ (МАЛЫЙ КАВКАЗ)

Левчайское ртутное рудное поле, выявленное Т. Н. Насибовым и др. [4], расположено в истоках р. Левчай на южном склоне Сусузлугского хребта. Приурочено к Гейгель-Левчайской зоне ртутной минерализации [5]. Геологическое строение рудного поля было изучено в ходе крупномасштабных поисково-съемочных и разведочных работ, результаты которых приведены в ряде рукописных отчетов и опубликованных статьях [2, 4, 5].

Настоящая статья продиктована полученными нами в последнее время новыми данными относительно возраста и структурного положения рудовмещающей кремнисто-карбонатной толщи Левчайского рудного поля. Эти данные, несомненно, помогут дать обоснованную прогнозную оценку данному рудному полю и будут способствовать рациональному ведению поисковоразведочных работ.

Возраст кремнисто-карбонатной толщи по литологическим признакам был отнесен к кампанскому ярусу, осадки которого обнажаются в непосредственной близости от рудного поля на его южном фланге (на СВ борту Конурской синклиналии). Представлялось также, что данная толща, образуя синклинальную складку, подстилается нижнесенонскими вулканогенно-садочными отложениями, среди которых отмечены многочисленные выходы кислых вулканитов.

Приводим восходящий разрез кремнисто-карбонатной толщи, снятой нами в собственно Левчайском сурьмяно-рутном месторождении на правом берегу ручья Ширран (левый приток р. Левчай), на восточном крыле антиклиналии (рисунок).

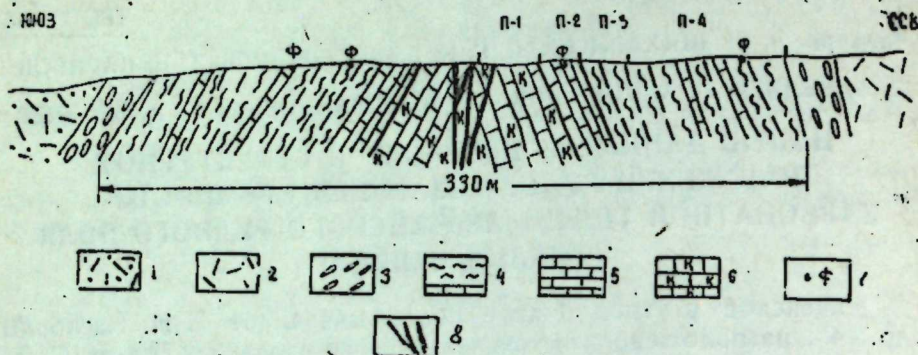
1. В основании толщи (подошва не вскрыта) залегает пачка (50 м) тонкослоистых пелитоморфных известняков, чередующихся с кремнистыми прослойками. Аз. пад. 360—10° <70°.

2. Пачка (20 м) тонкоплитчатых (10—15 см) светло-серых пелитоморфных известняков с редкими пропластками серых известковистых глини (1—2 см). В них был обнаружен следующий комплекс микрофауны: *Verneuilina cf. agalarovae* D'Aff., *Gaudryina ex. gr. dividens* Grab., *Leniculina* sp., *Saracenaria aff. arcula* (d'Orb.), *Cyrtodinoides* sp., *Gavelinella cf. djaffarovi* (Agal.), *Hedbergella globigerinellinoides* (Subb.), *Thalmanninella* sp.

Приведенный комплекс форамилифер указывает на альбский возраст вмещающих отложений.

Вверх по разрезу эти известняки согласно сменяются терригенно-карбонатными осадками, разрез которых представлен.

3. Пачка (15 м) частых чередований тонкозернистых пластных песчаников (3–4 см), серых аргиллитов (2–5 см) и темно-бурых до черного цвета пелитоморфных известняков (5–10 см). В аргиллитах



Разрез кремнисто-карбонатной толщи по правому берегу ручья Ширран:
1—туфопесчаники; 2—дациты; андезито-дациты; 3—базальные конгломераты;
4—глинисто-песчанистые известняки; 5—пелитоморфные известняки; 6—кремнистопелитоморфные известняки; 7—место отбора микрофауны; 8—разрывные нарушения

средней части пачки были обнаружены фораминиферы: *Gyroidlnoides Infracretaceus* (Mozz.), *Hedbergella trocoldena* (Gand.), *Ticinella cf. roberti* Gand., *Ticinella* sp.

4. Разрез заканчивается мощной (100 м) пачкой, представленной чередованием темно-серых известковистых песчаников, такого же цвета известняков с тонкими пропластками рыхлых пепельно-серых глинистых пород и аргиллитов. Аз. пад. 360<70°.

Выше 70 м от подошвы данной пачки из образцов аргиллитов был обнаружен следующий комплекс фораминифер: *Gavellinella cf. lexuosa* (Ant.), *G. cf. Internmedia* (Berth.), *Gyroidlnoides cf. Infracretaceus* (Mozz.), *Lenticulina* sp., *Lingulina* sp. Indet и радиолярии (опред. Р. М. Алиевой).

В средней части пачки на южном крыле антиклинали в прослоях песчанистых темно-бурых известняков обнаружены *Pyrozia* sp. (ex gr. *planulata* Sow.), *Hausitor* sp. Indet, указывающие, по заключению О. Б. Алиева, на верхний альб-нижнесеноманский возраст вмещающих отложений.

Приведенные фаунистические данные позволяют возраст описанного разреза считать альбским. Заметим, что этот материал полностью увязывается с аналогичными материалами, полученными по смежным структурам рудного поля: по западной периклинали Карабахского антиклинария на юго-востоке и по Сусузлугской антиклинали (Тоурагачайский синклиниорий) на северо-востоке. В пределах этих структур вскрывается довольно мощный (около 2000 м) разрез вулканогенно-карбонатно-кремнистой формации, верхняя часть которой на обеих структурах по макро- и микрофаунистическим данным имеет альбский возраст [1].

Таким образом, выясняется, что описываемые отложения отно-

тся к единой по всей офиолитовой зоне Малого Кавказа формации нижнего мела, составляя самую верхнюю ее часть. О не кампанском, а более древнем в отношении офиолитов возрасте кремнисто-карбонатной толщи свидетельствуют также данные геохимических исследований. Установлены низкие значения Cr, Ni и Co (присутствуют в близ-кларковых значениях) в данных отложениях, тогда эти типоморфные для офиолитов элементы образуют повышенные концентрации в верхненесенонских известняках, развитых не только в южной части рудного поля, но и в пределах офиолитовых зон вообще. Этот критерий уже использован для познавания постофиолитовых (верхненесенонических) и дофиолитовых (нижнемеловых) известняков [6].

Вверх по разрезу рассматриваемые отложения несогласно перекрываются вулканогенно-осадочной толщей нижнего сенона—одного из основного члена офиолитового комплекса Малого Кавказа. В основании данной толщи залегает 10–20 м базальный конгломерат, окрашенный в фиолетовый цвет. Обломки хорошо окатанные и состоят преимущественно из андезито-дацитов и реже из кремнистых пород и известняков. Важно подчеркнуть насыщенность отложений нижнего сенона продуктами кислого вулканизма—дацитами, андезито-дацитами и их пирокластолитами. Тесная парагенетическая связь этих кислых вулканитов с осадочными породами, собственно нижнего сенона (переслаивание различных по структуре кислых и среднекислых туфов с туфопесчаниками и глинистыми сланцами), позволяет считать их также нижнесенонскими образованиями.

Аналогичные кислые вулканиты, по данным Г. И. Аллахвердиева [1], развиты в пределах Аджарисской брахиантклинали (центральная часть Сарыбабинского синклиниория), на ЮЗ крыле которой они венчают разрез нижнего сенона и несогласно перекрываются верхненесенонскими известняками с базальным конгломератом в основании. Наличие кислых вулканитов в составе нижнего сенона отмечается и на западе в Севанском поясе офиолитов [3,7].

Структура. Рассматриваемые отложения слагают узкую, разбитую в сводовой части разрывами субширотную антиклиналь с крутыми (60–75°) крыльями. Ширина складки по этим отложениям не превышает 330 м. При такой ширине она прослеживается с правого берега ручья Ширран на ЮЮВ на расстоянии 3 км. К западу от этого ручья, на его правом крутом берегу, антиклиналь резко замыкается, что отчетливо наблюдается как по верхней темно-буровой терригенно-карбонатной пачке альба (п. п. 3–4), так и по несогласно перекрывающим ее нижнесенонским вулканогенно-осадочным отложениям.

Несмотря на незначительные размеры, рассматриваемая антиклиналь является основной структурой района рудного поля. По своим параметрам она относится к типичной шовной структуре.

Важно подчеркнуть расположение антиклинали на простиении Карабахского антиклинария, что позволяет принять ее как очередное вздымание шарнира названного антиклинария, отличающееся от него значительным погребенным положением.

Выводы

1. Выяснение стратиграфического и структурного положения кремнисто-карбонатной толщи открывает новые, причем обнадеживающие перспективы Левчайского рудного поля.

2. Прогнозируется ряд перспективных ртутоносных участков. Наиболее перспективными участками являются периклинальные замыкания рассмотренной антиклинали, где имеются благоприятные структурные, стратиграфические и литологические условия для обнаружения на глубине скрытого оруденения. Особое внимание при этом следует обратить на западную периклиналь данной антиклинали.

3. Важным результатом проведенных исследований является также установление нижнесенонского возраста кислых и средне-кислых вулканитов. Задача дальнейших исследований должна заключаться в выяснении возраста и структурного положения раннесенонского кислого вулканизма в пределах оphiолитовых прогибов.

Литература

1. Аллахвердиев Г. И. ДАН Азерб. ССР, т. 35, № 2, 52–55, 1979. 2. Кашкай М. А., Насибов Т. Н., Микаилов С. М. В кн.: „Минералогия и рудные месторождения”, 174–181, Изд-во „Элм”, 1974. 3. Казарян Г. А. В кн.: „Мезозойский и кайнозойский вулканализм и связанные с ним полезные ископаемые”, 125–126, Тбилиси, 1980. 4. Насибов Т. Н., Зейналов Ф. И., Мамедов У. Г. ДАН Азерб. ССР, т. 21, № 8, 44–47, 1965. 5. Насибов Т. Н., Велиев З. А., Микаилов С. М. Уч. зап. АГУ им. С. М. Кирова, серия геол.-географ. наук, № 6, 10–16, 1979. 6. Насибов Т. Н., Аллахвердиев Г. И., Аббасов С. А., Велиев З. А., Элебоген А. М. „Изв. АН Азерб. ССР”, серия наук о Земле, № 5, 72–78, 1979. 7. Сатиан М. А. Позднемеловой литогенез оphiолитовых зон Армянской ССР. Изд. АН Арм. ССР. Ереван, 1979.

Институт геологии

Поступило 2. VI 1981

Ә. Ш. Шыхалибэли, Г. И. Аллахвердиев, Т. Н. Насибов, З. А. Вәлиев,
С. М. Микаилов, Л. А. Порошина, һ. Т. һагвердиев

ЛЕВЧАЙ ФИЛИЗ САҢСИННИН ФИЛИЗЛЕРЛӘШДИРИЧИ СИЛИСИУМЛУ-КАРБОНАТЛЫ ГАТЫНЫН ІАШЫ ВӘ СТРУКТУР ВӘЗИЈӘТИ ҺАГТЫНДА ЖЕНИ МӘЛУМАТЛАР (КИЧИК ГАФГАЗ)

Мәгаралда илк дәфә оларaq мүэллиләр тәрәфиндән Левчай филиз саңсинде жаýмыш силисиумлу-карбонатлы чекүтүләрин җашы палеонтологи, структур вә алитологи, материаллар эсасында Алб тә'жин едилди. Эввәлләр бу гатын җашы шәрти оларaq Уст Сенон несаб едилди. Енни заманда мүэллән едилди ки, бу чекүтүләр еңиз антиклиналь гырышыг эмәлә кәтирир вә структур Гарабағ антиклинонимуны көмүлмүш давамына уйғын кәлир.

Бүтүн бүнлар Левчай филиз саңсинин перспективијини ажылаштырмаға имкан верир.

E. Sh. Shikhalibeli, G. I. Allakhverdiyev, T. N. Nasibov, Z. A. Veliyev,
L. A. Poroshina, S. M. Mikailov, A. T. Akhverdiyev

NEW DATA ON THE AGE AND STRUCTURAL POSITION OF THE ORE-BEARING CARBONATE-SILICEOUS THICKNESS OF LEVCHAY ORE FIELD (THE MINOR CAUCASUS)

For the first time on the basis of paleontological, lithofacial and structural data, the Albian age for the ore-bearing carbonate-siliceous thickness of Levchay ore field is founded. Earlier, this thickness was conditionally ascribed to the Upper Cenonian.

АЗЭРБАЙЧАН ССР ЕЛМЛӘР АКАДЕМИЯСЫНЫН МӘРҮЗӘЛӘРИ

ДОКЛАДЫ АКАДЕМИИ НАУК АЗЕРБАЙДЖАНСКОЙ ССР
ТОМ XXXIX ЧИЛД № 6

1983

УДК 550.834.3

ГЕОФИЗИКА

М. М. РАДЖАБОВ

О ФИЗИЧЕСКОЙ ПРИРОДЕ АНОМАЛИИ АМПЛИТУД ПРЕЛОМЛЕННЫХ ВОЛН

(Представлено академиком АН Азербайджанской ССР академиком А. А. Ашзаде)

Под аномалией амплитуд преломленных волн будем подразумевать локальную зону минимума, отмечаемую в форме амплитудной кривой при наблюдениях по методике поперечного профилирования [2, 3]. Амплитудная кривая $A = A(x)$, характеризуемая изменением амплитуды A с расстоянием x вдоль линии наблюдения, отсчитываемым от проекции источника возбуждения, в этом случае имеет ряд преимуществ по сравнению с амплитудной кривой продольного профилирования, главное из них состоит в том, что при поперечном профилировании расстояния от источника возбуждения до различных точек наблюдения мало изменяются вдоль профиля. Поэтому затухание колебаний с расстоянием практически в равной мере влияет на характер записей, полученных на большем интервале поперечного профиля. Это обуславливает получение амплитудных кривых преломленных волн при поперечном профилировании в менее искаженном виде и в более наглядной форме.

Выяснение физической природы наблюдавшихся аномалий амплитуд преломленных волн важно для правильного их использования как поискового критерия при прогнозировании локальных неоднородностей среды. С этой целью в настоящей работе исследуются закономерности физического характера в поведении амплитуд преломленных волн в зависимости от свойств среды и определяются факторы, обуславливающие возникновение аномалий.

Динамика преломленных волн зависит от многих параметров среды, что затрудняет исследование. Для упрощения задачи исследования воспользуемся асимптотической формулой для амплитуды смещения преломленных (головных) волн, соответствующих границе раздела двух жидких полупространств и при гармоническом источнике. Возможность такого подхода для качественной характеристики закономерностей в поведении амплитуд преломленных волн в случае твердых сред и импульсных источников показана в [1].

Указанную формулу при поперечном профилировании в непоглощающих средах с горизонтальными границами раздела можно представить в виде [2].

$$A = \frac{n}{\frac{\pi}{\lambda} m(R^2 + x^2) \left(1 - \frac{2zn}{\sqrt{R^2 + x^2} \sqrt{1 - n^2}} \right)^{3/2}} (1 - n^2), \quad (1)$$

где $n = \frac{V_1}{V_r}$ — отношение скоростей; V_1 — скорость в покрывающей среде, V_r — вдоль преломляющего горизонта, $m = \frac{\tau_2}{\tau_1}$ — отношение

плотности подстилающей толщи к плотности в покрывающей среде, λ — длина волн в среде со скоростью V_1 , z — глубина залегания границы раздела в зоне выхода преломленных волн с учетом сноса, R — расстояние по перпендикуляру от источника возбуждения до линии поперечного профиля.

Формула (1) справедлива во всей области прослеживания преломленных волн в первых вступлениях. При достаточно мощных преломляющих слоях формула (1) может быть использована для изучения закономерностей физического характера в поведении амплитуд преломленных волн в зависимости от параметров среды и заданной системы наблюдений.

Определим форму кривой $A(x)$ в пределах линии поперечного профиля в одну сторону от точки проекции источника возбуждения для моделей сред с постоянными свойствами, т. е. примем $n = \text{const}$, $m = \text{const}$ при заданных значениях λ и Z . Исследование показывает, что кривая $A(x)$ в этом случае имеет максимум в точке $x=0$, определяемый формулой

$$A_{\max} = \frac{n}{\frac{\pi}{\lambda} m R^2 \left(1 - \frac{2Zn}{R\sqrt{1-n^2}}\right)^{3/2} (1-n^2)} \quad (2)$$

В точке $x=R$ значение амплитуды $A_{x=R} < A_{x=0}$. Следовательно, амплитуды преломленных волн монотонно уменьшаются с максимального значения в точке $x=0$ в сторону $x \neq 0$. Таким образом, для сред с постоянными физическими параметрами кривая $A(x)$ характеризуется максимумом, ордината которого совпадает с проекцией источника возбуждения на линию поперечного профиля.

Наличие латеральной изменчивости свойств среды вдоль линии поперечного профиля вносит существенные изменения в форму кривой $A(x)$. Для ее определения примем $m=1$ и зависимость амплитуд преломленных волн от отношения скоростей n будем искать в фиксированных точках профиля. В качестве такой точки примем точку $x=0$, т. е. будем исследовать форму кривой $A_{\max} = A_{\max}(n)$. Физически это означает, что прямолинейный поперечный профиль отрабатывается одновременно из множества источников возбуждения, расположенных непрерывно на одной линии, параллельной профилю, и огнененных на расстояние R .

На рисунке приведен график, иллюстрирующий форму кривой $A_{\max} = A_{\max}(n)$. Из рисунка следует, что значения амплитуд преломленных волн возрастают с увеличением n . Отсюда вытекает следующее утверждение. Если в пределах линии поперечного профиля в одну сторону от проекции источника возбуждения, т. е. от точки $x=0$ среда в зоне выхода характеризуется латеральной изменчивостью, выражаемой локальными скоростными неоднородностями так, что n_2 находится в промежутке n_1, n_3 и выполняются условия $n_2 < n_1$ и $n_2 < n_3$, то кривая $A(x)$ будет характеризоваться аномальным эффектом. Действительно только при выполнении этих условий

$$A(n_1) > A(n_2) \text{ и } A(n_3) > A(n_2) \quad (3)$$

Таким образом, необходимым и достаточным условием существования аномалии амплитуд является латеральная изменчивость скоростных свойств среды в зоне выхода преломленных волн, т. е. вдоль линии поперечного профиля с учетом сноса. Отсюда следует, что наличие минимума в форме амплитудной кривой может вызываться как скоростными особенностями преломляющего горизонта, так и покрывающей среды. В конечном итоге это приводит к множеству эквивалентных моделей среды, обуславливающих возникновение аномального эффекта амплитуд. Поэтому прогнозирование неоднородности среды по аномалии амплитуд проходящих снизу преломленных волн становится задачей неоднозначной.

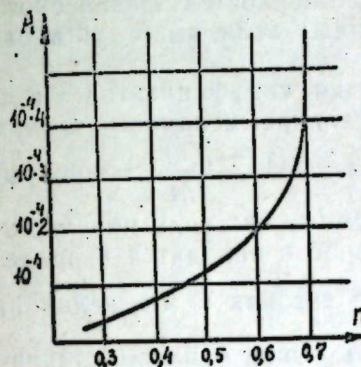


График зависимости A_{\max} амплитуды преломленных волн от отношения скоростей

$$n = \frac{V_1}{V_r} \quad (V_1 — скорость в покрывающей толще, V_r — граничная скорость преломляющего горизонта) в точке x=0 линии поперечного профиля при z=5 км, R=15 км, \lambda=60 м$$

Введем следующие характеристики, определяющие основные особенности аномалии амплитуд преломленных волн: ширину и "интенсивность" или резкость спада аномалии амплитудной кривой. Под шириной аномалии будем подразумевать расстояние между двумя максимальными точками на амплитудной кривой. Под "интенсивностью" или резкостью аномалии будем подразумевать степень ее спада, определяемую из отношения $G = \frac{A_{\max}}{A_{\min}}$, где A_{\max} — максимальное,

A_{\min} — минимальное значение амплитуд в пределах аномальной зоны.

Очевидно, что ширина аномалии определяется размерами локальной скоростной неоднородности в зоне выхода преломленных волн. Интенсивность же аномалии, как показывают проведенные исследования, определяется следующими факторами: величиной n_2 , отношениями n_2/n_1 и n_2/n_3 , а также глубиной залегания основной преломляющей границы. Интенсивность аномалии прямо пропорциональна глубине залегания преломляющего горизонта и обратно пропорциональна величине n_2 .

Нами рассматривались поглощающие среды. В поглощающих средах необходимо учитывать суммарный коэффициент затухания преломленных волн на преобладающей частоте, обусловленный рассеянием энергии волн на границах неоднородностей и поглощением, связанным с неидеальной упругостью среды. Приближенно учет влияния этого коэффициента на амплитуды преломленных волн основан на умножении амплитуд на экспоненциальную функцию

$$p = e^{-\alpha_1 r_1 - \alpha_2 r_2}, \quad (4)$$

где r_1 и r_r —длины путей волн в покрывающей среде и вдоль пре-ломляющего горизонта,

α_1 и α_r —соответствующие суммарные коэффициенты затухания на преобладающей частоте.

Эти члены должны быть введены как сомножители в формулу для амплитуд преломленных волн. В результате асимптотическая формула будет иметь вид

$$A = \frac{nR}{\frac{\pi}{\lambda} m (R^2 + x^2) \left[1 - \frac{2zn}{\sqrt{R^2 + x^2} \sqrt{1 - n^2}} \right]^{3/2} (1 - n^2)} \quad (5)$$

Как видно наличие экспоненциальной функции уменьшает абсолютные значения амплитуд, но не изменяет закономерностей физического характера в поведении амплитуд преломленных волн, выше установленных.

Экспериментальных определений величин коэффициентов α и α_r преломленных волн мало. Первое определение величины α_r при $f = 30$ Гц, получение в [3], показало, что $\alpha_r = 8 \cdot 10^{-5} \frac{1}{M}$, для покрывающей толщи коэффициент затухания сейсмических волн при частотах $f = 10 - 50$ Гц примерно на порядок выше и находится в пределах $(0,5 - 5) \cdot 10^{-4} \frac{1}{M}$ [4]. При указанных значениях α_1 и α_r величина R близка к единице. Отсюда можно сделать вывод о малом влиянии коэффициента R на аномальный эффект амплитуд преломленных волн. Таким образом, физическая природа аномалии амплитудной кривой снизу проходящих преломленных волн в основном определяется латеральной изменчивостью скоростных свойств среды в зоне выхода. Это приводит к возможности существования множества эквивалентных моделей и делает неоднозначным решение задачи прогнозирования неоднородности среды по аномалиям амплитуд преломленных волн.

Литература

- Епинатьева А. М. Изучение продольных сейсмических волн, распространяющихся в некоторых реальных слоистых средах. Труды Ин-та физики Земли, № 14, 1961, стр. 7-44.
- Раджабов М. М. Изв. АН Турк. ССР, серия физ.-техн., хим. и геол. наук, № 1, стр. 26-32, 1961.
- Раджабов М. М. Изв. АН ССР, физика Земли, № 6, стр. 72-75, 1965.
- Физические основы сейсмического метода отраженных волн в платформенных условиях, стр. 104-107, Изд. "Наука". М., 1974.

Южное отделение
ВНИИГеофизики

Поступило 22. VI 1981

М. М. Речебов

СЫНАН ДАЛГАЛАРЫНЫ АМПЛЮТУДА

АНОМАЛИЯЛАРЫНЫ ФИЗИКИ МАНИЛДАТИ ҚАГЫНДА

Енинасөсмик профилләмә мүшәниләләри заманы сынан далгаларыны амплитуда аномалияларыны физики маңылдатылган тәддиг огуымушадур.

Амплитуда эжриләрни аномалиялары эсасында уст чокуту гатынын бирчынсемадыгынын габагчадан хәбер верилмәс мәсәләсесинин бир неча һәлли олдуғу көсириамишидир.

М. М. Radjabov

ABOUT THE PHYSICAL NATURE OF THE AMPLITUDES ANOMALY OF THE REFRACTED WAVES

The physical nature of the amplitudes anomaly of the refracted waves under the observations by the transverse profiling is investigated. The ambiguity of the task decision of the cover inhomogeneity prediction on the anomaly of the amplitude curve is shown.

И. А. ГУСЕЙНОВА

МАКРОСПОРОГЕНЕЗ, РАЗВИТИЕ ЖЕНСКОГО ГАМЕТОФИТА И ЭМБРИОГЕНЕЗ НЕКОТОРЫХ ПРЕДСТАВИТЕЛЕЙ РОДА ГВОЗДИЧНЫЕ

(Представлено академиком АН Азербайджанской ССР И. К. Абдуллаевым)

Дикорастущие виды гвоздики представляют значительный интерес как для непосредственного переноса в культуру, так и для использования в селекции. Однако особенности формирования репродуктивных органов и эмбриональных процессов изучены у них очень слабо [1-2].

В данной статье излагаются результаты исследования женской генеративной сферы цветка двух видов гвоздики, произрастающих на Кавказе: *Dianthus subulosus* Congrat et Greup—гвоздика шилоносная (эндемик кавказского происхождения) и *D. agrestis* Z.—гвоздико-видная (широко распространенный среднеевропейский вид).

Материал для эмбриологического исследования (зачатки цветков, бутоны, цветки) собран в Куба-Кусарской зоне. Производили темпоральные фиксации в ФУС и жидкости Карниа (6:3:1) с промежутками в 5 дней. Материал обезвоживали и заключали в парафин, согласно общепринятой методике цитологического исследования, потом готовили постоянные препараты: толщина микротомных срезов была 10-12 мкм, в зависимости от степени развития цветка. Окраску производили железным гематоксилином по Гайденгайну.

Исследование попало сходство основных эмбриологических признаков *D. subulosus* и *D. agrestis*, поэтому приводится их обобщенная характеристика.

В условиях Азербайджана эти виды цветут в конце июля—начале августа. Цветение продолжается 15-20 дней. Генеративные элементы в цветках закладываются весной. Гинецей у гвоздичных синкарпий: состоит из двух плодолистиков. Завязь—верхняя.

Семяпочка кампилотропная, крассицицептальная, характеризуется односторонним разрастанием ищеллуса и интегументов.

Бугорки семяпочки у изученных нами видов в условиях Азербайджана закладываются в начале июня. Число семяпочек достигает 22. Это явление более примитивное.

На ранних стадиях развития семяпочки, в ищеллусе формируется многоклеточный женский археспорий, по только одна из этих клеток отчленяет первичную париэтальную (кроющую) клетку и развивается в зародышевый мешок. В свою очередь, из клетки археспория возникает материнская клетка макроспоры. В период развития пория возникает материнская клетка макроспоры и образования тетрады, что наблюдается в очень молодых бутонах, формируется также сама семяпочка.

Еще со времени заложения археспориальных клеток, положение семяпочки изменяется, и она начинает изгибаться, закладываются внутренний и наружный интегументы. Они быстро развиваются, достигают вершины иуцеллярного бугорка, образуя микропиле. Впоследствии из халазальной мегаспоры развивается зародышевый мешок типа *Polygonum*.

Молодой зародышевый мешок в процессе развития удлиняется. Восьмиядерный зародышевый мешок состоит из яйцевого аппарата, двух полярных ядер и трех антиподов.

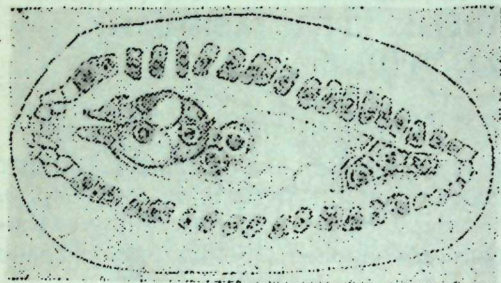


Рис. 1. 8-й ядерный зародышевый мешок у гвоздики шиловидной, образовавшийся из трех ядер в микропилярной части яйцевого аппарата вверху: —3 клетки антиподального аппарата; внизу— и в центральной части— полярные ядра.
Jв. 15×40.

Яйцевой аппарат перед оплодотворением состоит из яйцеклетки и двух синергид, имеющих грушевидную форму. Полярные ядра сливаются до оплодотворения. Из трех ядер нижнего халазального конца зародышевого мешка развиваются три антипода, две из них располагаются рядом, а одна—над ними.

Оплодотворение у гвоздики протекает при помощи насекомых. При благоприятных внешних условиях, пыльца, попав на рыльце, прилипает к нему и прорастает там, образуя пыльцевую трубку, проникающую в зародышевый мешок через микропиле и изливает ее в зародышевый мешок. При оплодотворении один из спермиев сливаются с ядром яйцеклетки, другой—с центральным ядром зародышевого мешка. После оплодотворения обычно первым делится первичное ядро—эндосперма, затем—зигота.

Ядра и клетки эндосперма делятся обычно митотическим путем. Эндосperm у изученных нами видов нуклеарного типа, характеризуется тем, что вслед за делением ядер здесь не наступает образования клеточных перегородок, в результате чего возникает большее или меньшее число ядер, свободно лежащих в плазме зародышевого мешка, которые впоследствии становятся клеточными. На клеточной стадии эндосперм может заполнить весь зародышевый мешок или только его микропилярный конец.

Одновременно с наружной дифференциацией зародыша происходит и внутренняя дифференциация, в результате чего развиваются две зародышевые ткани—туники и корпуса.

Деление зиготы происходит в поперечном направлении, благодаря

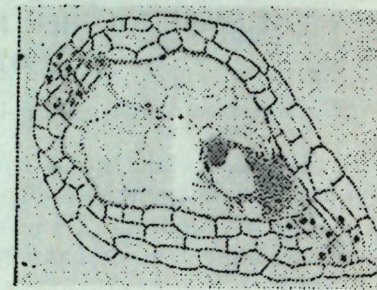


Рис. 2. Оплодотворенный зародышевый мешок у гвоздики армериовидной. Одна из сперминий находится вблизи ядра яйцеклетки.

чему образуется верхняя и нижняя клетки. В результате ряда последующих делений этих клеток образуется зародыш с семядолями, точкой роста стебля между ними и подвеском.

Развитие зародыша идет по типу Caryophyllaceae, т. е. все части зародыша и даже клетки подвеска образуются из верхней клетки предзародыша, что является прогрессивным признаком. Зародыш имеет изогнутую форму.

Выводы

1. Исследование развития и морфологии завязи, макроспорогенеза и женского гаметофита *Dianthus armeria* Z. и *Dianthus subulosus* T. показало сходство основных эмбриологических признаков этих видов и подтвердило естественность их систематического положения.
2. Изученные виды дикорастущей гвоздики характеризуются развитием плодолистиков по типу двудольных.

Литература

1. Verner A., Zinkeler M. The embryo-sac development and fertilization in *Dianthus amurensis* Jeck. Bull. Soc. amis sci. et lett. Porn. D. 14, 1973, 57–69.
2. Davis G. Cystomatic embryology of the angiosperms. N. Y.—London—Sydney, 1966, 3.

Институт ботаники

Н. А. Гусейнова

ГЭРЭНФИЛЧЭКЛИЛЭР ФЭСИЛЭСИНДЭН ОЛАН ГЭРЭНФИЛ БИТКИСИНИН ДИШИ КАМЕТОФИТИНИН ИНКИШАФЫ

Тэдгигат Губа-Гусар зонасында язымыш гэрэнфил биткиси узэриндэ апары. мышдыр (*Dianthus subulosus* Conrath et Freyn, *Dianthus armeria* Z.).

Ситоемброджи тэлгитат иэтчэснэдэ мүэлжэн олуунушдур: гэрэнфил биткисини юмурталыры ижүү аянида эмэлэ кэлир вэ мигдари тэгрибэн 22-дир. Жумурталыг кампилатроп, краснусеяж вэ иккι өртүкдүүдүр. Диши археспоријасы чох үүчејрэлидир (үүчејрэ кисэснин эмэлэ кэлмэснэдэ яланыз бири иштирик едир.

Диши гаметофитин-инкишафы *Polygonum*-типлидир. Үүчејрэ кисэсн 8 үүчејрэлидир. Синтергидлээр армудвары олуб, мигдари икидир. Антиподларын сајм учдур. Мэркээ үүчејраси бирдир.

Гэрэнфил биткисиндэ мајаланма нормал кедир. Ендосперм иүвэтиллидир. Рүшејм кисэсн 8 үүчејрэлидир.

N. A. Guseinova

MACROSPOROGENESIS, THE DEVELOPMENT OF FEMALE GAMETOPHYTE AND EMBRIOGENY OF SOME REPRESENTATIVES OF PINK FAMILY

The seedbud structure, the development of megasporogenesis of embryo sac, the fertilization, the embryo and endosperm development of *Dianthus subulosus* Conrath et Freyn and *Dianthus armeria* L. were examined.

The close study reveals the similarity of these two species on these embryological characteristics: the seedbud is campylotropous. The embryo sac consists of 8 nuclei. It is developed out of chalazal megasporangium of *Polygonum* type. The endosperm is nuclear.

Акад. Д. А. АЛИЕВ, Ф. А. ГУЛИЕВ, С. Э. РАЗИЕВ

СООТНОШЕНИЕ СИГНАЛ/ШУМ КАК ОСНОВНАЯ ХАРАКТЕРИСТИКА СПЕКТРАЛЬНЫХ ИЗМЕРЕНИЙ

В последние годы спектральные методы исследования интенсивно применяются в различных областях науки и техники для изучения молекулярного строения веществ; обмена энергии между отдельными структурными компонентами, проведения качественного анализа веществ, сравнения известными спектрами и т. п. Из числа спектральных методов люминесцентный анализ имеет свое индивидуальное место в широком смысле для изучения свойств твердых, а также жидких веществ. В настоящее время исследование люминесцентных свойств жидкостей считается одним из незаменимых методов изучения их строения.

Следует отметить, что в области фотобиологии, благодаря непосредственному анализу тонких структур спектров люминесценции (флуоресценции) хлоропластов и хроматофоров, был решен ряд важных задач, таких как изучение структурной и функциональной организации пигментных систем фотосистем 1 и 2 (ФС1, 2), кинетики разгорания и затухания флуоресценции пигментов *in vivo*, кинетической оценки параметров в электротранспортных процессах, диагностики естественных водных сред и т. д. [1–14].

Однако во многих случаях измерение и тонкий анализ спектров люминесценции затрудняется за счет артефактов, которые связаны рядом причин, в частности, с помехами (шумами) приемно-регистрирующей части установки (спектрофлуориметров). Эти артефакты в конечном счете обусловливают искажение формы спектров и в результате в исследуемых спектрах появляются лишние ложные структурные компоненты. Учет влияния шумов важен, особенно когда анализируется тонкая структура спектров флуоресценции методом производной спектроскопии [3, 15, 16].

В спектральных измерениях всегда стремятся, чтобы шумы, вызванные приемным устройством установки, были незначительны относительно фона измеряемого полезного сигнала. Иными словами, для достоверности полученных результатов при тонких анализах спектров необходимо, прежде всего, определить спектральный коэффициент, характеризующий соотношение сигнал/шум. Это соотношение наряду с другими спектральными показателями является одной из основных характеристик спектральных измерений. Поэтому разработка методов, позволяющих довести шумы фотоэлектрических приемников до минимума, имеет важное значение и является актуальной. При дальнейшем изложении мы не будем затрагивать вопросы техники измерения фотоэлектрических сигналов и описание блок-схем-

мы установки для измерения люминесцентных спектров. В данной работе ограничимся только изложением причины появления шумов и описанием методики снижения и улучшения соотношения сигнал/шум.

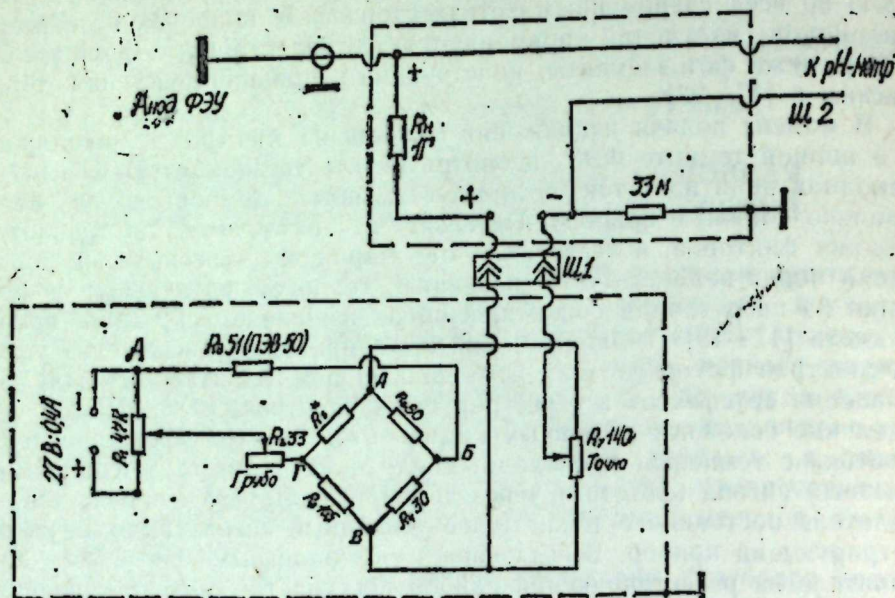
В практике наиболее целесообразным способом измерения энергии флуоресценции является фотоэлектрическая регистрация. С этой целью во всех современных фотоэлектрических приборах в качестве приемников излучения применяются фотоэлектронные умножители (ФЭУ), реже фотоэлементы, конструкция и принцип действия которых описаны в [17–23].

В момент подачи напряжения питания на электроды, находящихся в полной темноте ФЭУ, несмотря на отсутствие световых сигналов в анодной цепи идет ток, который называется темновым, он имеет довольно сложную природу и зависит от различных внутренних и внешних факторов, в частности, от темновой эмиссии электронов, утечки через недостаточную изоляцию, тепловой флуктуации напряжения на грузофоном сопротивлении и, наконец, дискретной природы света [17–19]. Темновые токи ФЭУ приводят к искажению формы спектров флуоресценции и в дальнейшем служат основой для появления артефактов в регистрируемых спектрах, и усложняют определение основных составных компонентов спектра. Сопровождение фототока темновым происходит следующим образом: измеряемый полезный сигнал (фототок) через анодную цепь ФЭУ передается на усилитель постоянного тока. Далее усиленный сигнал выходит на регистрирующий прибор. Всегда наряду с полезным сигналом через усилитель на регистрирующий прибор поступает также и усиленный темновой ток (в аналоговом виде). В большинстве случаев темновые токи превышают фототоки, особенно когда исследуются сверхслабые свечения биологических объектов. В настоящее время имеется возможность разным способом и методом снизить темновые токи в какой-то степени до определенного уровня [17, 18, 21, 24]. Однако в ходе применения каждого метода встречаются некоторые трудности, в зависимости от решаемой задачи требуется специальная конструкция. Поэтому в практике для удобства и надежности выгодно применять электрические схемы.

На рисунке показана принципиальная электрическая схема компенсирующего устройства снижения темновых токов, собранного нами непосредственно в лаборатории. С помощью этого устройства очень плавно регулируются темновые шумы ФЭУ, так как до измерения (т. е. при отсутствии измеряемых сигналов—иначе при закрытых щелях монохроматора) с помощью переменного сопротивления R_1 снижаются темновые токи ФЭУ и далее, открывая щель монохроматора начинаются измерения полезных сигналов, очищенных от шумов. В наших экспериментах нам удалось с помощью этой схемы улучшить соотношение сигнал/шум в пределах 40–50. Отфильтрованный от шумов сигнал подается на вход усилителя и усиленный сигнал выходит на регистрирующий потенциометр. Такая схема применяется в случае, когда источник возбуждения является непрерывным. Схема носит также и согласующий характер, т. е. нагрузочное сопротивление ФЭУ согласуется с выходным сопротивлением усилителя. В качестве усилителя нами использован pH-метр (pH–340, 673), а регистрирующего потенциометра—КСП-4.

Сопротивления R_3 , R_4 , R_5 и R_6 греются за счет выделения тем-

пературы в момент протекания через них постоянного тока в порке около $4 \cdot 10^{-1}$ А (напряжения до 27В). Это снижает их стабильность по времени. Поэтому для понижения температуры до оптимального режима подключается дополнительное сопротивление между



Принципиальная электрическая схема компенсирующего устройства темновых токов ФЭУ: R_n —нагрузочное сопротивление ФЭУ; R^* —подбирается при регулировке.

узлами А и Б типа ПЭВ-50. А роль переменного сопротивления R_2 , объясняется тем, что, во-первых, грубо (без R_1) регулирует выходной (компенсирующий) ток и, во-вторых, в случае, если входное напряжение становится больше, чем 27В, тогда R_2 вместе с переменным сопротивлением R_1 понижают напряжение до определенного уровня и, таким образом, не допускается лишний температурный подогрев. На выходе "Ш1" величина напряжения становится около 6В и сохраняется большая стабильность. Направление силы тока (компенсирующего) на выходе всегда ориентировано против темнового тока. Исходя из того, что регулирование компенсирующего напряжения осуществляется в широком диапазоне, открывается возможность также компенсировать темновые токи ФЭУ в высоких порядках. Так как преимущество этого устройства заключается в том, что оно проще и компактнее из числа всех существующих методов, не требует специальной конструкции, порядок компенсации темновых шумов высокий и вместе с тем легко и плавно регулируется в большом диапазоне напряжения. При импульсном режиме рисунок не приемлем. В таких случаях для снижения шумов ФЭУ применяются совершенно иные методы и способы. С этой целью нами также проведены методические работы.

Следует подчеркнуть, что для улучшения порога чувствительности и уменьшения шумов ФЭУ необходимо наряду с применением работы: внимательно закрыть ФЭУ и устраниить засветку, повышающую постоянную составляющую фототока, увеличить коэффициент

модуляции светового потока (в случаях, если относительная величина темнового тока превышает фототок), полностью экранировать ФЭУ от внешних магнитных и электростатических полей, использовать ФЭУ наибольшей чувствительности и наименьшей величины темнового тока, пользоваться усилителями с узким частотным диапазоном Δf .

Таким образом, учет всех этих факторов в конечном результате повышает чувствительность спектрофлуориметрической установки, обуславливает улучшение соотношения сигнал/шум и является важным условием при постановке экспериментов по изучению (по спектрам флуоресценции, поглощения) первичных процессов фотосинтеза.

Литература

- Борисов А.Ю., Ильина М.Д. «Молекулярная биология», 3, №2, 391 1969.
- Гулиев Ф.А., Кочубей С.М., Лященко В.И. ЖПС, 31, №5, 938 1979.
- Гулиев Ф.А., Коробков М.Е., Кочубей С.М. ЖПС, 29, №4, 646 1978.
- Кочубей С.М., Гулиев Ф.А. ЖПС, 33, №1, 81, 1980.
- Литвин Ф.Ф., Синешеков В.А., Шубин В.В. «Биофизика», 21, №4, 669, 1976.
- Кочубей С.М., Самохвал Е.Г., Мюллер И. Studia biophysica, 54, №3, 217, 1976.
- Кочубей С.М., Гулиев Ф.А., Смирнов А.А. ДАН СССР*, 224, №3, 743, 1979.
- Abilov Z.K., Gasanov R.A. Studia biophysica, 64, №2, 155, 1978.
- Searle G.F.W., Tredwell C.J., Barber J., Porter G. Biochem. et Biophys. Acta, 545, 496, 1979.
- Kochubei S.M., Guliev F.A. Photosynthetica, 14, 2, 182, 1980.
- Seibert M., Alfano R.R. Biophys. J., 14, 269, 1974.
- Rubin A.B. Photochem. photobiol., 28, 1021, 1978.
- Фадеев В.В. Квантовая электроника, 5, 10, 2221, 1978.
- Kochubei S.M., Shadchina T.M., Guliev F.A. Photosynthetica, 15, 2, 179, 1981.
- Коробков М.Е., Кочубей С.М. ЖПС, 22, №6, 1093, 1975.
- Butler W.L., Hopkins D.W. Photochem. Photobiol., 12, 439, 1970.
- Зайдель А.Н. Атомно-флуоресцентный анализ. М.: Наука, 1981.
- Соболева Н.А., Берковский А.Г., Чечик Н.О., Елисеев Р.Е. Фотоэлектронные приборы. Наука, М., 1965.
- Справочник по лазерам, под ред. А.М. Прохорова. Сов. радио. М., 1978.
- Климков Ю.М. Основы расчета оптико-электронных приборов с лазерами. Сов. радио. М., 1978.
- Зайдель А.Н., Островская Г.В., Островский Ю.И. Техника и практика спектроскопии. Наука. М., 1976.
- Паркер С. Фотолюминесценция растворов. Мир. М., 1972.
- Борбат А.М., Горбат И.С., Охрименко Б.А., Суббота-Мельник П.А., Щайкович И.А., Шишловский А.А. Оптические измерения. Техника. Киев, 1967.
- Горбунова С.А., Костюченко И.Х. В кн.: Хемилюминесцентный метод в биологии и медицине. Изд. КВИРУ. Киев, 1978.

Институт земеделия
МСХ Азерб. ССР

Поступило 11. I 1983

Ч. Э. Элиев, Ф. Э. Гулиев, С. Е. Раизиев

СИГНАЛ-КУЙ НИСБЕТИ СПЕКТРАЛ ӨЛЧҮЛӘРИН ӘСАС ХАРАКТЕРИСТИКАСЫДЫР

Фотоэлектрон күчләндирчиләринин дахили және харичи күйүнү ашагы ендиремек үчүн методика ишләниб назырланышидир. Методиканың көмәклили илэ чох ээиф шүалана билән (квант чыкышы 0,1%) биоложи объектләре спектрал характеристикалары тәдгиг олуңур. Бу заманы сигнал-куй нисбәти 40–50 этрафында олур.

Мәгәләдә һәмчинин чиңазын принципал электрик схеми да верилмишидир.

D. A. Aliev, F. A. Guliev, S. E. Raziev

RELATION OF SIGNAL/NOISE AS A FUNDAMENTAL CHARACTERISTIC OF THE SPECTROSCOPY MEASUREMENTS

A method, by means of which noises of multiplier are reduced (inside and outside), was developed and relation of signal/noise within 40–50 is improved. This method allows to register beyond weekly luminescence in biological objects with quantum yield of 0.1%.

ПАРАЗИТОЛОГИЯ

Р. Ш. РУСТАМОВ, Н. М. КУЛИЕВА

К ВОПРОСУ О ВЗАИМОДЕЙСТВИИ ГЕНОВ ДЕФИЦИТА ГЛЮКОЗО-6-ФОСФАТ ДЕГИДРОГЕНАЗЫ И β -ТАЛАССЕМИИ В АЗЕРБАЙДЖАНЕ

(Представлено академиком АН Азербайджанской ССР М. А. Мусаевым)

В настоящее время накоплены убедительные доказательства в пользу предположения, что основным экологическим фактором, способствовавшим интенсивному распространению мутантных генов дефицита глюкозо-6-фосфат дегидрогеназы (Г-6-ФД), аномальных гемоглобинов и талассемий, явилась малярия. Наряду с этим в работе ряда авторов было показано, что дефицит Г-6-ФД широко распространен в тех районах, для которых характерна высокая частота β -талассемии. Высказываются предположения о взаимодействии генов дефицита Г-6-ФД и β -талассемии и о более высокой приспособленности в малярийных условиях носителей обоих генов (Siniscalco и соавт.; Сао и соавт.; Cargassi).

Целью настоящей работы было изучение взаимосвязи между дефицитом Г-6-ФД и β -талассемией на популяционном и биохимическом уровнях в двух, бывших гиперэндемичных по малярии районах Азербайджанской ССР (Куткашенский и Варташенский районы). Предусматривалось проводить оценку:

- частоты встречаемости сочетания дефицита Г-6-ФД с β -талассемией в обследованных районах;
- гематологических показателей при дефиците Г-6-ФД, гетерозиготной β -талассемии и при сочетании этих двух дефектов;
- степени благоприятного действия сочетания дефицита Г-6-ФД с β -талассемией на гематологические показатели.

Непосредственное определение активности фермента Г-6-ФД не позволяет выявить всех гетерозиготных женщин. В связи с этим в наших исследованиях оценка частоты гена дефицита Г-6-ФД основывается на результатах обследования лиц мужского пола. Всего было обследовано 392 человека в возрасте от 8 до 20 лет. Кровь для анализа брали из вены, в качестве антикоагулянта применяли раствор гепарина из расчета 1–2 капли на 3–5 мл крови. Содержание гемоглобина, количество эритроцитов, гематокритный показатель и количественные эритроцитарные показатели определяли общепринятыми гематологическими методами. Осмотическую резистентность эритроцитов определяли одним пограничным раствором, соответствующим 0,35%-ному раствору хлористого натрия. Электрофорез гемоглобина проводили на ацетат-целлюлозных пленках в трис-ЭДТУ-боратном буфере (рН 9,0). Содержание гемоглобина A₁ определяли путем элюи-

рования гемоглобиновых фракций 2-%ным раствором углекислого натрия в 50 %-ном этиловом спирте с последующим фотометрированием на спектрофотометре СФ-16 при длине волны 615 нм. Фетальный гемоглобин определяли по методу Beutle и соавт., активность фермента Г-6-ФД — качественной пробой Бернштейна.

Результаты полученных данных приведены в табл. 1 и 2. Как видно из табл. 1, среди обследованных 392 человек, у 67 был выявлен

Таблица 1

Распределение дефицита Г-6-ФД, гетерозиготной β -талассемии и сочетание дефицита Г-6-ФД с β -талассемией среди обследованных мужчин

Г-6-ФД	Гемоглобин		Всего
	β -thal	AA	
Gd (—)	26 (12)	41 (55)	67
Gd (+)	44 (58)	281 (267)	325
Всего	70	322	392

$$\chi^2 = (\text{С поправкой Йетса}) 22,48, P < 0,001$$

Примечание. В скобках указано теоретически ожидаемое число. Gd (—) — нормальный фенотип Г-6-ФД, Gd (+) — фенотип Г-6-ФД с недостаточностью фермента, β -thal — β -талассемия, AA — нормальный фенотип гемоглобина.

Таблица 2

Гематологические показатели у лиц с дефицитом Г-6-ФД, гетерозиготной β -талассемией и сочетанием дефицита Г-6-ФД с β -талассемией ($M \pm m$)

Группа обследованных	Число обследованных	Hb, g/dl	Эритроциты $\times 10^{12}/\text{l}$	Гематокрит, %	СОЭ, мк ³	ССГЭ, пг
Дефицит Г-6-ФД	67	13,0 \pm 0,2	4,3 \pm 0,14	41 \pm 0,15	95,4 \pm 0,14	29 \pm 0,4
Сочетание дефицита Г-6-ФД с β -талассемией	26	12,6 \pm 0,16	4,6 \pm 0,04	40 \pm 0,17	86,5 \pm 0,72	27 \pm 0,32
Гетерозиготная β -талассемия	65	11,5 \pm 0,05	4,9 \pm 0,04	38 \pm 0,14	78,0 \pm 0,24	23 \pm 0,07
Здоровые	108	13,6 \pm 0,1	4,5 \pm 0,13	43 \pm 0,13	95,4 \pm 0,21	30 \pm 0,21

лен дефицит Г-6-ФД. У 26 из них дефицит Г-6-ФД сочетался с гетерозиготной β -талассемией. Вычисление теоретически ожидаемого числа лиц с сочетанием генов дефицита Г-6-ФД и β -талассемии и сопоставление его с фактическим показало, что наблюдаемое число лиц достоверно больше, чем ожидаемое ($P < 0,001$).

В табл. 2 приведены средние значения содержания гемоглобина, количества эритроцитов, гематокритного показателя, среднего объема отдельного эритроцита (СОЭ) и среднего содержания гемоглобина в отдельном эритроците (ССГЭ) у мужчин с дефицитом Г-6-ФД, гетерозиготной β -талассемией и сочетанием этих двух дефектов.

Данные таблицы показывают, что содержание гемоглобина, количество эритроцитов и гематокритный показатель у лиц с дефицитом

Г-6-ФД достоверно ниже, чем у здоровых людей ($P<0,001$). Однако показатели СОЭ и ССГЭ у них не отличались от таковых у здоровых, и находились в пределах нормы.

В группе лиц с гетерозиготной β-талассемией наблюдалось значительное снижение уровня гемоглобина, гематокритного показателя, СОЭ и ССГЭ. Количество эритроцитов у них, по сравнению со здоровыми было повышенено ($P < 0,001$). Г. б. ФД с β-талассемией содержит

У лиц с сочетанием дефицита Г-6-ФД с β -талассемией содержание гемоглобина было больше, чем у лиц с гетерозиготной β -талассемией ($P < 0,001$). Однако средний уровень гемоглобина в этой группе обследованных по сравнению с группой лиц с дефицитом Г-6-ФД был значительно снижен ($P > 0,05$). Представляет интерес также сравнение показателей СОЭ и ССГЭ между этими группами обследованных. Средние значения СОЭ и ССГЭ при сочетании дефицита Г-6-ФД с β -талассемией оказались равными $86,5 \pm 0,72$ мк³ и $27 \pm 0,32$ пг соответственно. Эти показатели значительно больше средних показателей СОЭ и ССГЭ у лиц с β -талассемией ($P < 0,001$) и меньше обследованных с дефицитом Г-6-ФД ($P < 0,001$).

ных с дефицитом Г-6-ФД ($P < 0,01$). Таким образом, сочетание дефицита Г-6-ФД с β -талассемией сопровождается повышением уровня гемоглобина, СОЭ и ССГЭ, но при этом полного восстановления показателей гемоглобина, СОЭ и ССГЭ не происходит. Улучшение гематологических показателей у лиц с сочетанием дефицита Г-6-ФД с β -талассемией, по-видимому, связано с повышением активности фермента Г-6-ФД. Установлено, что у лиц с β -талассемией активность Г-6-ФД повышается (Р. Ф. Гарькавцева, А. Х. Халилова; Pionelli и Siniscalco; Pearson и соавт.; Cargassi). Увеличение активности Г-6-ФД в эритроцитах у лиц с β -талассемией, авторы объясняют наличием молодой популяции эритроцитов, в которой активность этого фермента повышена.

Carcassi установлено, что частота возникновения острых гемолитических кризов после употребления в пищу конских бобов у лиц с сочетанием дефицита Г-6-ФД с β -талассемией значительно ниже, чем у лиц только с дефицитом Г-6-ФД. Можно полагать, что у лиц с β -талассемией происходит компенсация недостаточности фермента за счет увеличения количества молодых клеток.

В наших предыдущих исследованиях была установлена положительная корреляция между частотой дефицита Г-6-ФД и частотой β -талассемии в 26 обследованных районах республики ($r=0,67 \pm 0,02$, $P<0,01$). Данные настоящей работы показывают, что, наблюдаемая частота сочетания дефицита Г-6-ФД с β -талассемией достоверно больше, чем ожидаемая. Положительная корреляция между частотой генов дефицита Г-6-ФД и β -талассемии, значительная разница между фактически найденной и теоретически ожидаемой частотой сочетания этих генов в бывших гиперэндемичных по малярии районах указывают на взаимодействие между генами дефицита Г-6-ФД и β -талассемии.

Сочетание двух генов у одного человека, по-видимому, можно объяснить повышенной жизнеспособностью сочетанных генотипов в малярийных условиях. Если малярия явилась общим экологическим фактором, на основе которого происходил отбор этих двух различных генов, то, по-видимому, носители обоих генов будут обладать большей приспособленностью в малярийных условиях, чем носители одного гена.

Литература

1. Гарькавцева Р. Ф., Халилова А. Х. «Проб. гематол.», № 9, стр. 27—29, 1970. 2. Betke K., Marti H. Q., Schlight I. *Nature*, p. 184, 1877—1878, 1959. 3. Cao A., Calanello R. M. furbetta et al. *J. Med. Genet.*, v. 15, p. 443—447, 1978. 4. Carcassi U. E. *F. Ann. N. J. Acad. Sci.*, v. 232, p. 297—305, 1974. 5. Mofarland H. W., Pearson H. A., King E. R. *J. Lab. Clin. Med.*, v. 56, p. 866—873, 1960. 6. Pionelli S., Siniscalco M. *Brit. J. Haematol.*, v. 16, p. 537—549, 1969. 7. Siniscalco M., Bernini L., Filippi, et al. *Bull. WHO*, v. 34, p. 379—391, 1966.

Научно-исслед. институт медицинской паразитологии

Поступило 15. II 1981

Р. Ш. Рустэмов, Н. М. Гулиев

АЗЭРБАЙЧАНДА ГЛУКОЗА-6-ФОСФАТ ДЕҲИДРОКЕНАЗА ФЕРМЕНТИ ЧАТМА- МАЗЛЫГЫ ВӘ ۋ-ТАЛАССЕМИЈА КЕИЛЭРИ АРАСЫНДАКЫ ГАРШЫЛЫГЫ ТӘ'СИРИН ӨҮРЭНИЛМЭСИНЭ ДАИР

Бүкелэрин ejii бир адамда раст көлмәси ганын көстәричиләрини дахышлаш-
масына, микроситоз һәм нипохромија кими әләмәтләрии азалмасына сәбәп болу.

Енди бир адамда икى кеңиши гарышылыгы тә'сирини онун малжарыкен мұнитда сағдам шақслерә инсбетәни даһа чох үргулашмасы илә изай етмек олар.

R. Sh. Rustamov, N. M. Kuliev

ON THE INTERACTION BETWEEN GENES OF GLUCOSE-6-PHOSPHATE DEHYDROGENASE DEFICIENCY AND β -THALASSEMIA IN AZERBAIJAN

The interaction between the glucose-6-phosphate dehydrogenase deficiency (G-6-PD) and β-thalassemia genes at the population and biochemical levels in two regions, endemic with malaria in the past in Azerbaijan SSR were studied.

The number of males with both G-6-PD deficiency and β-thalassemia was significantly greater than expected ($P < 0.001$). The G-6-PD deficiency and β-thalassemia combination exerts a beneficial effect on the hematological indices (decrease degree in hypochromia, microcytosis and anemia).

These findings are discussed in relation to increased selective advantage of the two genes under malarial pressure.

УДК 616—057:615.099.02:546—81:616—153.3—008:51—082

МЕДИЦИНА

Б. А. ВЕЛИЕВ

**К ВОПРОСУ ИЗУЧЕНИЯ ЛЕЙКОЦИТАРНОЙ СИСТЕМЫ
У БОЛЬНЫХ СО СВИНЦОВОЙ ИНТОКСИКАЦИЕЙ
В ПЕРИОД ОБОСТРЕНИЯ**

(Представлено академиком АН Азербайджанской ССР Г. Г. Гасановым)

В отечественных и зарубежных исследованиях гематологические нарушения считаются одним из главных проявлений свинцовой интоксикации. Однако в основном гематологические исследования посвящены изучению красной крови.

Работы, касающиеся белой крови, немногочисленны и противоречивы [1, 2, 3, 4]. Вместе с тем, в настоящее время изучению белой крови, являющейся показателем компенсаторно-приспособительной способности организма, придается большое значение.

Известно, что изучение состояния лейкоцитарной системы дает информацию о взаимообусловленности нервно-эндокринной, адаптационно-приспособительной способности организма, так как в защитных реакциях его принимают участие нервные, гуморальные и гормональные механизмы, регулирующие функции всех систем организма, включая обменные процессы.

В повседневной практике при подсчете относительных чисел лейкоцитов, нашедших широкое применение в биологии и медицине, возникают многочисленные вопросы о диагностической ценности, разноречивости и сущности изменения отдельных компонентов лейкоформулы. В этой связи исключительно большое значение преобретают математические методы для расшифровки и оценки лейкоцитарной системы.

Сигнальным показателем возникающих изменений в лейкоцитарной реакции может служить показатель "энтропии", который вычисляется по относительным показателям лейкоцитарной формулы. Уменьшение показателя "энтропии" следует оценивать как повышение организованности системы белой крови, а повышение как снижение этой системы.

Энтропия, основанная на математической интерпретации, дает возможность оценивать обнаруженные изменения в целом в лейкоформуле, а не только в отдельных формах лейкоцитов.

Вычисление "энтропии", характеризующей состояние всего белкового спектра сыворотки крови, в целом применено рядом авторов [3, 7]. Однако этот вопрос у больных со свинцовой интоксикацией вообще, а в частности при обострении ее не изучен. Поэтому изучение его представляет как теоретический, так и практический интерес.

Вычисление "энтропии" производили по формуле:

$$H = \sum P_i \log_2 P_i,$$

где H — энтропия, P_i — относительное число отдельных форм лейкоцитов.

Под нашим наблюдением находился 141 больной со свинцовой интоксикацией в период обострения. В соответствии с классификацией свинцовых отправлений, утвержденной Минздравом ССР, 70 больных составляли тяжелую степень, а 71 больной — среднюю.

Общее количество лейкоцитов, лейкоформула и показатели "энтропии" лейкоцитарной системы изучены до и после лечения.

Установлено, что до лечения средние показатели относительных чисел эозинофилов, палочкоядерных, моноцитов находятся ниже границы нормы, а среднее число сегментоядерных, лимфоцитов, общее число лейкоцитов выше средних показателей нормы. Показатель "энтропии" оказался повышенным как до лечения, так и после. Притом после лечения показатель "энтропии" лейкоцитарной системы был выше, чем до лечения ($t = 1,38$). Иначе говоря, несмотря на лечение, продолжала нарастать неупорядоченность системы лейкоцитов, так как повышение "энтропии" свидетельствует о дезорганизации механизма регуляции системы лейкоцитов, т. е. поддержание гемостаза.

Число лейкоцитов после лечения, по сравнению с периодом до лечения достоверно ($t = 2,85, P < 0,05$) снизилось. Такое же снижение касается и сегментоядерных ($t = 3,80, P < 0,05$). Остальные показатели лейкоформулы, т. е. снижение числа эозинофилов и увеличение палочкоядерных, лимфоцитов, моноцитов после лечения, по сравнению с исходными, оказались недостоверными (соответственно $t = 0,061, t = 0,572, t = 1,443$ и $t = 0,0544$). Коэффициент вариации показателя "энтропии", сегментоядерных, лейкоцитов, лимфоцитов, оказался более тесным, чем моноцитов, эозинофилов, палочкоядерных.

Расчет коэффициента корреляции между "энтропией" и числом лейкоцитов, компонентами лейкоформулы, СОЭ показал, что между "энтропией" и эозинофилами, палочкоядерными, сегментоядерными, лимфоцитами и моноцитами как до лечения, так и после имеется высоколестоверная корреляционная связь, которая между "энтропией" и числом лейкоцитов и СОЭ как до лечения, так и после лечения была недостоверна. Притом, корреляционная связь между указанными показателями до и после лечения оказалась неодинаковой.

При изучении коэффициента регрессии установлено, что повышение "энтропии" на 0,1 единицу до лечения соответствует 4,0 эозинофилов, 8,0 палочкоядерных, 31 сегментоядерных, 17 лимфоцитов, 7,0 моноцитов и, наоборот, после лечения на 0,1 единицы "энтропии" соответствовали 4,0 эозинофилов, 5,0 палочкоядерных, 24 сегментоядерных, 9 лимфоцитов, 7,0 моноцитов. Эти данные свидетельствуют о том, что ухудшение организованности лейкоцитарной системы сопровождается снижением числа палочкоядерных, сегментоядерных и лимфоцитов, что характерно для снижения чайтрафило-лимфоцитной ассоциации, а изменение этого показателя, являющегося косвенным показателем изменения содержания минералокортикоидов, возникающих при компенсаторно-приспособительных механизмах организма [6]. До лечения более ярко выражено, чем после лечения.

Установленные положительные корреляционные связи между показателем "энтропии" и эозинофилами, палочкоядерными, лимфоцитами моноцитами указывают что их нарастание сопровождается увеличением числа последних в периферической крови, и, наоборот,

отрицательная связь между сегментоядерными указывает на снижение числа последних при увеличении "энтропии".

При изучении зависимости изменения показателя "энтропии" от тяжести интоксикации установлено, что после лечения она больше повышается у больных с тяжелой степенью (от $M \pm 1,28039$ до $1,33441$), чем у больных со средней степенью ($M \pm 1,3248$ до $1,32735$).

Учитывая, что лимфоцитоз встречается у всех, соприкасающихся со свинцом, и число лимфоцитов уменьшается при нарастании тяжести свинцовой интоксикации [1], это подтверждается нашими данными, можно констатировать, что понижение показателя "энтропии" вне обострения сопровождается повышением лимфоцитов и снижением нейтрофилов и, наоборот, при обострении наступает обратный сдвиг, притом эти изменения согласуются с тяжестью интоксикации.

Изучением коэффициента регрессии между лимфоцитами и нейтрофилами по тяжести интоксикации установлено, что если до лечения при тяжелой степени интоксикации одному нейтрофилу соответствовало $0,116$ лимфоцитов ($P < 0,01$), то при средней тяжести — $0,012$ лимфоцитов ($P < 0,1$), а после лечения при тяжелой степени — $0,264$ ($P < 0,01$) и при средней степени — $0,041$ лимфоцитов ($P < 0,1$). Отсюда следует, что при обострении интоксикации как у больных со средней, так и с тяжелой степенью (более ярче) наступает увеличение нейтрофилов, являющихся косвенным показателем активации симпто-адреналовой системы, а сдвиги лейкоцитарной системы и взаимоотношение отдельных компонентов между собой согласуются с тяжестью и наличием или отсутствием обострения свинцовой интоксикации.

На основании полученных нами данных можно заключить, что у больных со свинцовой интоксикацией вообще, а в частности при ее обострении, страдает не только красная кровь, а также вовлекается в патологию вся лейкоцитарная система в целом, а не отдельные ее компоненты. Это дает основание пересмотреть укоренившееся ранее мнение о том, что при свинцовой интоксикации страдает только красная кровь.

Литература

1. Алданазаров А. Т., Никуличев В. С., Атчабаров Б. А. К картине крови при сатуризме. В кн.: "Труды ин-та краевой патологии АН Казахской ССР", т. VIII, стр. 151—158. Алма-Ата, 1960.
2. Брейтбург А. М., Сперанский И. И., Дайн Е. И., Шахновская С. Б. Журн. "Гигиена труда", 12, стр. 3—22.
3. Гасанов А. С., Каплан Б. Г., Гурвич В. Е. Применение математических методов к исследованию белковых фракций сыворотки крови методом электрофореза на бумаге. В кн.: "Мат-лы научных конференций Азгосмединститута по выполненным научно-исследовательским работам". Практические предложения, вып. 2, стр. 17—18. Баку, 1962.
4. Каракова Д. И., Маркус И. М. К клинике сатуризма и морфологии крови у рабочих полиграфического производства. В кн.: "Труды и материалы Украинского государственного института рабочей медицины", вып. I, Харьков, 1928.
5. Кайракбаев М. К. К клинике хронической интоксикации свинцом. В кн.: "Труды института краевой патологии АН Казахской ССР", т. IX, стр. 159—172. Алма-Ата, 1961.
6. Макотченко В. М., Малинина-Пуценко В. П., Мачула В. Я. Журн. "Гигиена труда и проф. заболеваний", 2, стр. 47—49. 1976.
7. Сильдвер А. Ю. Исследование белков сыворотки крови у доноров. Мат-лы 1-го совещания по актуальным вопросам клинической биохимии, стр. 123. Рига, 1968.

АМИ им. Н. Нариманова

Поступило 30. XI 1982

Б. Э. Велиев

КЭСКИНЛЭШМЭ ДӨВРҮ ОЛАН ХЭСТЭЛЭРДЭ ГУРГУШИН ИНТОКСИКАЦИЯСЫНЫН АФЫРЛЫГЫНДАН АСЫЛЫ ОЛАРАГ ЛЕЙКОСИТЛЭРИН МҮТЛЭГ САЙНЫН ДЭЖИШИЛМОСИ

Гургушун интоксикациинын кэскинлэшмэ дөврүндэ олан 141 орта вэ ажыр формалы хэстэлэд периферик ганда лейкоситлэрийн үмуми мигдари вэ ажры-ажры формаларынын мүтлэг сајы вэрэнилмиш вэ ашкар едилмишдир ки, еозинофиллэрийн, чубугиүвэлилэрийн вэ моноситлэрийн мүтлэг сајынын орта көстөричиси норма я исебэтэн ашага душмуш. лимфоситлээр исэ артмышдыр. Сегментиүвэлилэрийн сајы норма я исебэтэн орта ажырлыг дэрэчсан олан хэстэлээрэд азалмага, ажыр формасында исэ чохалмага мөнжли олмушдур. Елачэ дэ гэдэг едилмишдир ки, интоксикацијын ажыр формасы олан хэстэлэлээр орта ажырлыглы хэстэлээрэд исебэтэн лейкоситлэрийн үмуми мигдари, еозинофиллэрийн, сегментиүвэлилэрийн мүтлэг сајы дүргүст артмыш вэ чубугиүвэлилээр. лимфоситлээр, моноситлээр исэ азалмышдыр. Муаличэдэн сонра лейкоситлэрийн үмуми мигдари вэ ажры-ажры формаларынын мүтлэг сајынын дэжишнэмэс ажыр формалы хэстэлээрэд, орта ажырлыглы хэстэлээрэд исебэтэн даана յахши нэзэрэ чарпир.

B. A. Veliyev

TO THE QUESTION OF LEUCOCYTE SYSTEM STUDY WITH PATIENTS WITH LEAD-INTOXICATION IN THE EXACERBATION PERIOD

The total amount of leucocytes, leucoformula, the index of "entropy", the variation and correlation coefficient, the regressions between the index of "entropy" and leucoformula components were studied before and after the treatment of 141 patients having lead-intoxication, 70 with serious degree, 71—with average degree during the exacerbation period.

It was determined that before the treatment the average indexes of eosinophils, rod-shaped nucleus and monocytes were below the lower limit of standard, and average number of segment-shaped nucleus, lymphocytes, general amount of leucocytes, the indexes of "entropy" were higher than the average standard.

After the treatment the number of rod-shaped nucleus, lymphocytes and monocytes, indexes of "entropy" increased, but the number of eosinophils, segment-shaped nucleus, total number of leucocytes reduced.

The calculation of correlation coefficient shows that there is a highly reliable positive connection between the indexes of "entropy", eosinophils, rod-shaped nucleus, lymphocytes and monocytes, and there is a negative connection with the segment-shaped nucleus. The same correlation was observed after the treatment. The indexes of the regression coefficient enable us to ascertain the fact that the increase of the index of "entropy" before treatment is accompanied by the increase of neutrophilolymphocyte gradient on account of neutrophils, which are the indirect indicators of compensate-adapting mechanisms of the organism, and after the treatment the increase of the index of "entropy" is accompanied by the reduce of neutrophilolymphocyte association.

УДК 738 (479.24)

ИНЧАСЭНЭТ

Ш. Н. ӨЛЭСКЭРОВА

ДИНИ ХАРАКТЕРЛИ ГЭДИМ АЗЭРБАЙЧАН КЕРАМИКАСЫНЫН
БЭДИИ-ПЛАСТИК ХҮСУСИЙЛЭТЛЭРИ

(Азэрб. ССР ЕА академики М. д. үсүсөйн тэгдим етмишдир)

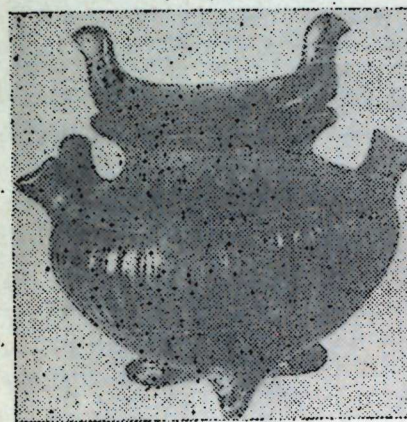
Азэрбаичанда тунч дөврүүнүн сону вэ дэмир дөврүүнүн өввэллэриндэ ярадылмыш чилалы гара керамика һәм мәишэтдэ ышлэдилмәк, һәм дэ дини ајинләрдэ истифадэ едилмәк кими ики мэгсэдэ хидмэт етмишдир. Оилардан мүхтәлиф дини ајичләрлә әлагәдар олмуш габлары үч группа бөлмөк олар: 1-чи группа зооморф габлар, јәни фигурлу керамика, 2-чи группа бирләшмиш габлар, 3-чү группа исэ бөгөзлийн чәкмэ формалы габлар дахиандир.

Мүхтәлиф пластик формаларда олан гуш, илан, мејмун, өкүз вэ гојун башы шәкилли фигурлу габлар зооморф габлара анддир. Зооморф габлар гэдим Азэрбаичан эразисиндэ кениш яјылмыш вэ инициаф етмишдир. Гуш шәклиндэ олан, ерадаи өввэл X—IX өсрләрдэ назырланмыш вэ Фүзули рајонунун Молламәһәррәмли кәндидэн 1950-чи илдэ тәсадүфч тапылмыш кил габ¹ өз декоративлиji илэ диггәти чөлб едир. Боз рәңкли бу зооморф габ фигурлу керамиканын ән гэдим вэ надир нүмүнәләрнендэн һесаб едилдир. Күрэ шәклиндэ олан гушун көвдәси һәр тәрәфдән беш габарыг маили хәтләрлә бәзәдилмүшдир. Гушун ганаадларыны тәмсил едэн бу декоратив үнсүрлөр габа пластик көркәм верир. Бу маили габарыг хәтләр көвдәни күрэ шәкилли олмасыны гејд едир, јахши нәзәрә чарпдырыр. Гушун көзләринин мунчугла никрустасија едилмәсн вэ шәклини габарыг гөвсләрлэ верилмәсн мә'мулатын декоратив ифадәлийини хејли гувватләндир. Бу фигурун үмуми гурулушуна әлавә едилмүш бојун конструктив чөннөтдөн керамик композицијаны зәнкинләширир вэ габын дини ајин вәзиfесини аждынлашдырыр.

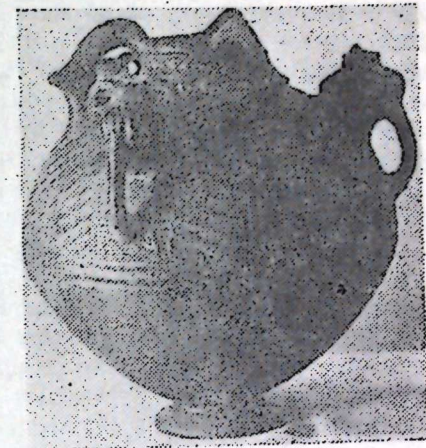
Тунч дөврүүнүн сонуна анд фигурлу керамиканын ән јахши нүмүнәләрнендэн олан бу кил габдан хејир вэ бәрәкәт, јағынты култуна һәср едилмүш ајинләрдэ истифадэ едилмүшдир. Габын чијинләрине бирләшдирилмүш бојун пластик керамик композицијаны јахши тамамлајыр вэ дәстәк үчүн дајаг вәзиfесини көрүр. Бурада баш илэ гуруг, үч аяг отурачаг илэ бојун арасындакы симметрик мұнасибәт керамик фигура сабитлик, дајаныглы бир көркәм вермишдир. Габын үмуми пластик ифадәлиji вэ ајры-ајры декоратив элементләрин лаконикији ону фигурлу керамикамызын көркәмли прототипләри сырасына дахил етмишдир.

Минкәчевирин курган гәбирийндэн тапылмыш чохфигурлу бәдии керамик композиција² (1-чи шәкил) гара чилалы фигурлу габларын прототипләриндәнди. Габын чијинләриндэ бир-биринэ экс истигамат-

дэ јерләшэн ики көјәрчин фигуру, горелјеф формасында, јандан тэсвир едилмишдир. Габын о бири ики чијинидэ исэ экс тәрәфләре бахан ики гуш башы барелјеф формасында верилмүшдир. Чәркә илэ шагули новларла бәзәнмиш көвдәни ашағы һиссәси габын үч шәрти



1-чи шәкил. Минкәчевирдэн тапылмыш гуш фигурлары илэ бәзәдилмүш фигурлу гара чилалы кил габ, е. э. XI—IX өсрләрэ анддир.



2-чи шәкил. Минкәчевирдэн тапылмыш бирләшмиш габлар, е. э. XI—IX өсрләрэ анддир.

гушбашы көркәмнинде отурачагы илэ тамамланыр. Еллипс формасында олан ғапаг ики гуш бәдәнинин экс истигаматдэ бирләшмәснинде ярадылмышдыр. Ғапагда верилмүш бу ики гуш башы габын чијинләриндәки горелјеф шәкилли гушлара тәрәф јөнәлдилмүшдир. Габын үмуми композицијасы чәзэрә чарпан дәрәчәдэ динамик верилмүшдир, санки гушун горелјеф формалары габын чијинләрнә ардычыл һәрәкәт едәрәк бир-бирини өвәз едир. Экәр тамашачы габа дайрөвни һәрәкәт заманы бахса, онда биринчи нөвбәдә гушун барелјеф башы, онун ардычыча исэ горелјеф көјәрчин фигуру көрүнәр. Бу чүр ардычыллыг габын бәдии композицијасында ики дәфә тәкрап олунур. Экәр бу мә'мулаты дайрәви мүстәви үзәрнәдә фырлатсаг, пластик тәсвири ритмик тәкрапарыны нұмајиши етдириш оларыг. Бу тәчрүбә елә бир тә'сир јарадыр ки, санки гушлар тамашачы илэ үзбәүз кәләндән сонра Јана чеврилиб узаглашыр, өввәлчә профилдән, соңра исэ архадан көрүнүр. Ғапаг вэ чијин фигурларынын мүхтәлиф баһымдан (өн вэ јан тәрәфдән) верилмәсн керамик композицијанын пластик көзәллийнә ритмик рәнкарәнклик кәтирмүшдир. Габын ғапагыны вэ бөгөзлийн бәзәжән газма нахышлар пластик композицијанын бәдиилийни гувватләндир. Бу график тәсвиrlәр күнәш шүаларыны хатырладан кәсилмүш үчбучаглардан ибәрәт олуб, пластик формаларла аһенкдарлыг тәшкүл едир. Зәнкин фантазија вэ йүксек бәдии зөвлө малик гэдим сәнәткар, бурада өзүндән өввәлки дулусчулуг ән'әнәләри асасында надир сәнәт нүмүчәси јаратмышдыр. О, тунч дөврүүндэ (е. э. XI—IX өсрләрдэ) гара чилалы керамикада пластик образын ән јахши нүмүнәләрнендэн бирини јаратмышдыр. Бу габ да хејир вэ бәрәкәт ајинләрнә истифадэ едилмүшдир.

Гэдим бирләшмиш габлар пластик керамик композицијаларын орижиналлығы илэ диггәти чөлб едир.

Ерадан әvvәл XI әсрә аид олан гара рәнкли керамик нүмүнә бирләшмиш габларын әң گәдим формаларында бирлир. Бурада үч гәбы бирләшdirән әlavә көмәкчи керамик формалар үмуми композицијанын тамлыгына хәләл јетирир вә бир тамаша објекти кими ону чох ағырлашдырыр. Гәдим дулусчу, бәлкә дә бу нөгсаны көрмүш, лакин она көз јуммуш вә өз мәгсәдинә чатмаг үчүн асан' јолла кетмишdir. Бурада дулусчунун әсас мәгсәди габларын үчүнү дә мұхтәлиф көрүш нөгтәләриндән ejni дәрәчәдә жахшы көрүмәсінә наил олмаг иди. Уста өз мәгсәдинә наил олмушдур. Бирләшdirичи борулар габларын аралы дурмасына вә жахшы көрүмәсінә имкан верир. Эсәре бирләшdirичи боруларын өнүндән саҳаңда онун композиција симметриклиji хүсусијәти ортаја чыхыр. Көрүнүр ки, дулусчу бу әсәриндә композиција бүтөвлүjүнү тамаша еффективнә гурбан вермишdir. Бу исә тәсалуфи олмаýб, сифаришии характери, керамик мәмұлатын дәфи ајниләриндә истиғадә едилмәсилә әлагәдардыр. Бу габын көвдәсінин вә аракәсмәләринин (бирләшdirичи боруларын) ашағы һиссәси чызылмыш үчбучагларла бәзәдилмиш, бу үчбучагларын ичәриси ағ маддә илә долдурулмуш, инкрустасија едилмишdir. Нәтичәдә композицијада жарзымыш рәйк кочтрастлығы ажы-ажы керамик формаларын ортаја чыхмасына имкан вермишdir.

Іәр-үч аракәсмәнин декоратив әламәтләри бу боруларын үмуми композицијада мүнүм, биринчи дәрәчәли рол ојнадығыны көстәрир.

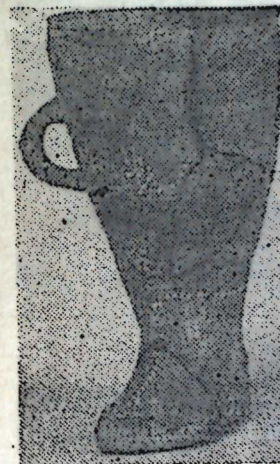
Бирләшмиш габлар, өлүләр күлтү иле әлагәдар олараг түнч дөврүүн XI—IX әсрләриңдә чох кениш жајылмышдыр. Башга бир нүмүнәдә боз рәнкли бирләшмиш кил габын³ чијинләринә, она јеткишлик, бүтөвлүк, зәрифлик вә пластик композиција характери верән үч кичик долча жапыштырлымышдыр (3-чү шәкил). Бу керамик композиција өзүнүн декоратив вә конструктив хүсусијәтләринә көрә, сәссүз ки, бирләшмиш габлар группун ән надир нүмүнәсінди. Бу әсәр дә әvvәлки бирләшмиш габлар кими дәфи ајниләринә һәср едилмишdir. Бу керамик композиција әvvәлки нүмүнәдә көрдүjүмүз арханк керамик формаларын тәкмилләшмәси сајесинде мејдана чыхмыш мүвәффәгийәтли бир әсәрdir, гәдим дулусчунун бөյүк жарадычылыг наилүүжәтидир. Экәр әvvәлки нүмүнәдә габлар аракәсмәләрлә бирләширдирсә, индикі һалда онлар (кичик габлар) бир-бирилә бөйүк усталыгыла һазырланмыш бөйүк габын чијинләриндә бирләшdir. Бурада бөйүк габ әvvәлки арханк нүмүнәдә олан аракәсмәләри мүвәффәгийәтлә әвәз етмишdir. Аракәсмәләр әvvәлки әсәрдә композиција дағысыгына сәбәб олурdu. Бу тәкмилләшмиш керамик әсәрдә исә дулусчу дәфи ајинини тәләбләринә уйғун олан, лакин вайнд композицијада топланмыш "бирләшмиш габларын" жени, камил вариантыны, жени сәнәт нүмүнәси жаратмаға наил олмушдур.

Гәдим сәнәткар конструктив вә декоратив формаларын мәнтиги бирлижиндән орижинал керамик композиција, надир сәнәт әсәри жаратмышдыр. Бу бирлигин әсасыны сферик формада олан бөйүк габ тәшкил едир. Онун боғазынын отурачагла симметрик тәрздә гурулmasы үч гулпүн, көмәкчи үч кил габын вә онларын дәстәквари отурачагларынын ритмик аһәнкдарлыгla. Јерләшdirilmәsi, көвдәнин нәш рәмзи дулусчунун "вәһдәт, вайндлик, бирлик" идејасына табе едилмишdir. Бу әсәрдә керамик формалар арасында жахшы тапыл-

мыш нисбилик, зәриф пластик аһәнкдарлыг кими көзәл кејфијјәтләр дә һәмин идеја хидмәт едир.

Гәдим әчдадларымыз инсанларын бир нечә (кишиләрии 5, гадынларын 4) руһу олдуғуну күман едирмашләр. Куја бу руһлар, инсан өләндән соңра да ону ахирәт дүијасында мұшајиэт едирмишләр. Гәбирдә бу руһларын гидаланмасы үчүн "бирләшмиш габлар"дан истиғадә едилмишdir⁴. Руһлар бир бәдәндә бирләшди кими, онлары хидмәт едән габлар да вайнд, монолит бир композицијада бирләшдирилмишdir.

Түнч дөврүүнүн ахырларында вә дәмир дөврүүнүн әvvәлләриндә гәдим Азәрбајчанда боғазлы чәкмә формалы гара керамик габларын истеңсалы кениш мигјасда олмушдур. Бу типли габларын бир сыра надир нүмүнәләри Минкәчевирдән тапылмышдыр. Археолог Г. И. Ионе онлары дөрд группа бөлмүшдүр⁵.



3-чү шәкил. Минкәчевирдән тапылмыш узунбогаз чәкмә формалы дәфи габы, е. э. XI—IX әсрләре аидdir.

Биринчи вә иккىнчи груплар е. э. XI—IX әсрләре, үчүнчү вә дөрдүнчү груплар исә е. э. IX—VIII әсрләре аид едилмишdir. Группун бир нүмүнәси орижинал пластик вә декоратив формалары [илә даһа чәлбединидир (3-чү шәкил)]. Онун боз рәнкәдә олан бир гулпу, коник көвдәси, шагули формалы кил габлары хатырладыр. Көвдәнин коник формасы ашағы кетдикчә даралараг чарыг шәкилли аяггабыја чеврилир. Чарығын галхымыш буриу вә онун тикиши хатырладан инкрустасија едилмиш нахышлары бу габа Гағгаз узунбогазынын көркемини верир. Көвдәнин орта һиссәсінде верилмиш марал, жаудеки тәсвиirlәри бәрк кваср дәнәләри илә инкрустасија едилмишdir. Бурада тәсвиир композицијасында көстәрилән ики һејван, спирал шәкилли иланвары кәмәнд, гоша үчбучаг формалы ики кәмәнд дашы мәрһумун овчулуг фәалиjәтиндән тәсвиirlи жазы, пиктограм кими нәгл едир. Аяггабы формалы кил габ исә мәрһумун руһунун ахирәт дүијасына кетмәсі үчүн һазырланмышдыр.

Бу типли габларын дабанларында олан габарыг чыхынтылар апостропик хүсусијәт дашымыш, куја онлары бәдхән руһлардан горујумуш.

Узунбогаз чәкмә формалы габларын дини функцијасы һагында иккә фәрзийә вардыр. Биринчи фәрзийә көрә бу типли габлар мәништәдә ишләдилмәк үчүн һазырланышы⁶. Иккинчи фәрзийә даһа

инандырычы вә мараглыдыр, М. И. Максимована ирәли сүрдүү бу фәрзийе һәмин габларын хитоник характерини, өлүләр култу вә дәфи айни илә бағылышыны ашкап едир. М. И. Максимова көстәрир ки, бу габлары өлүләрин йанына она көрә гојармышлар ки, очларың руһлары бу габларда ахирәт дүңясына асанлыгla кедиб чыхсынлар.

Нәзәрән кечирдијимиз дулусчулуг әсәрләри гәдим керамика сәнәтизин бәдии пластик хүсүсийәтләrinin вә о дөврун естетик идејаларыны өзүндә ј: хышы әкс етдирир. Мұасир керамикамызын ин-кишафында бу бәдии ирсии наилијәтләриндән ѡарадычылыг јолу илә истифадә етмәк лазымдыр.

Әдәбијат

- 1 Н. И. Рзаев. Гәдим дәврләрдә Азәрбајҹан инчәсәнәти. „Азәрбајҹан инчәсәнәти”, Бакы, 1977, 8-чи шәкил.
- 2 С. М. Казиев. Археологические раскопки в Мингечауре МКА, т. I, Баку, 1979, рис. 28 (в-П).
- 3 Г. М. Асланов, Р. М. Вайдов, Г. И. Ионе. Древний Мингечаур, Баку 1959, табл. XII, рис. 9.
- 4 Н. И. Рзаев. Искусство Кавказской Албании с древнейших времен до VIII в. Автореферат докт. дисс. Баку, 1968, сәh. 24–25.
- 5 Г. И. Ионе. Глиняные сосуды-сапожки из Мингечаура. МКА, т. III, Баку, 1953 сәh. 36–42.
- 6 Г. И. Ионе. Көстәрилән әсәри, сәh. 55.
- 7 М. И. Максимова. Античные фигурные вазы, т. I, М., 1916. сәh. 8–9.

Азәрб. ССР ЕА Мәжмәлүг вә Инчәсәнәт
Институту

Алыныштыр: 10. V—1982

Ш. Г. Алекскерова

ХУДОЖЕСТВЕННО-ПЛАСТИЧЕСКИЕ ОСОБЕННОСТИ ДРЕВНЕЙ КЕРАМИКИ АЗЕРБАЙДЖАНА КУЛЬТОВОГО НАЗНАЧЕНИЯ

В статье анализируются лучшие образцы художественной керамики древнего Азербайджана эпохи бронзы и раннего железа, имеющие религиозно-культовый характер. Автор уделяет особое внимание классификации керамических изделий и выявлению их художественно-пластических особенностей. Здесь определено функциональное назначение керамических сосудов, их связь с такими культурами как культ плодородия, культ мертвых.

Автор установил, что древние гончары воплотили пластические образы тех эстетических идеалов и идеологических тенденций эпохи в керамические изделия со сложно-композиционными особенностями, которыми они руководствовались в своем творчестве.

Sh. G. Aleskerova

ART-PLASTIC PECULIARITIES OF ANCIENT AZERBAIJAN CULT APPOINTED CERAMICS

The best specimens of ancient Azerbaijan art ceramics of the bronze and early iron epoch having the religious cult character are analyzed in the article.

The author pays special attention to the classification of the ceramic articles and to revealing of their art plastic peculiarities. The functions of ceramical vessels, their relation to such cults as cult of fertility and cult of the dead are defined.

The author determined that the ancient potters embodied plastic images of those aesthetic ideals and ideological tendencies of the epoch, by which they were guided in their work, in ceramical articles with complexed compositional peculiarities.

МУНДӘРИЧАТ

Ријазијјат

Н. Э. Рустемов. Дердүнчү тәртиб диференциал операторун мәхсуси әдәларинин асимптотикасы

Р. Б. Фејзулајев. Соңсуз чохлугда чохјерли функцијалар чәбринин сыйалтчәбләри

К. С. Мәммәдов. Полиномиал диференциал-оператор дәстәсинин спектринин пајланмасы вә ону татбиғи

М. Р. Бүнядов, С. А. Бајрамов. Топология фәзалар категоријасында К-нәзәријә

К. Ж. Леонов. Нәјәчанланмайын јајылма сүр'етинин мәйдудлугу һагында

Жарымкечиричиләр физикасы

С. И. Абдуллајева, В. Э. Элијев. Р-TlGaSe₂ кристалларында яшышма сәвијјәләринин параметрләринин тә'јин едилемәсі

Молекулјар физика

Е. Э. Мәсимов, С. Э. Начыјев, В. В. Прудко, А. У. Мәймудов, В. Б. Йурханов. Агарозанын суда мөһлүлүнде агрегатларын әмәлә көлмәсі вә парчаланмасынын тәдгиги

Физики кимја

А. С. Аббасов, Т. Х. Элизов, А. И. Һүсейнов. Гадолиниум сүлфидләринин термодинамик хассәләринин тәдгиги

Гејри-үзви кимја

Р. Э. Эләкберов, Н. Н. Маков, А. Э. Эләкберова, Б. Ж. Муратов. Чивәнни монотионафтен туршулары илә экстраксијасы

Физики кимја

М. Х. Эниагыјев. Тәбин сеолитләрин Cr₂O₃ вә La₂O₃ гарышылыгы тә'сиринин характеринин рентгенографик, инфрагырымызы спектроскопија үсүллары илә тәдгиги

Кеолокија

Ҙ. Ч. Мазанов. Стратiform филиз әмәләкәлмә нәзәријәси һагында

Нефт қеолокијасы

Н. К. Элифов, Т. М. Һүсейнов, Т. Н. Сәрәчов. Лекбатан-Путагушхана нефт ятагында мәһсүллар гатын јухары шәбәси лајларынын нефтвермәсинин јүксәлдилмәси һагында

Тектоника

Ә. Ш. Шыхэлибәјли, Г. И. Аллаһвердиев, Т. Н. Нәсибов, З. А. Вәлијев, С. М. Микаյлов, Л. А. Порошина, І. Т. Һагвердиев. Левчај филиз саһасинин филизјерләшdirичи силисiumлу-карбонатлы гатынын јашы вә структур вәзијјәти һагында жени мә'лumatлар. (Кичик Гафгаз)

3

7

10

14

19

23

28

32

35

40

44

47

51

79

Кеофизика

М. М. Рәчәбов. Сынан далгаларын амплитуд аномалияларынын физики манийјети нағында	55
Ботаника	
Н. А. Ыүсөйова. Гәрәнфилчәклиләр фәсиләсендән олан гәрәнфил биткисинни дини каметофитиниң инициафи	59
Биофизика	
Ч. Э. Элијев, Ф. Э. Гулијев, С. Е. Разијев. Сигнал-куј иисбәти спектрал өлчүләрин эсас характеристикасыдыр	62
Паразитология	
Р. Ш. Рустамов, Н. М. Гулијева. Азәрбајчанда глукоза-6-фосфат деңидрокеназа ферменти чатмамазлығы во β -талассемија кейләри арасындағы гарышлыгы тә'сири ёрәнилмәснән даир	66
Тибб	
Б. Э. Вәлијев. Кәсқынләшмә деврү олан хәстәләрдә гургушун интоксикациясынын ағырлығында асылы олараг лејкоситләрниң мүтләг сајынын дәјишилмәсі	70
Инчәсәнәт	
Ш. Һ. Эләскәрова. Дини характерлы гәдим Азәрбајчан керамикасынын бәдии-пластик ҳұсусијәтләри	74

СОДЕРЖАНИЕ

Математика

Н. А. Рустамов. Асимптотика собственных чисел дифференциального оператора четвертого порядка	3
Р. Б. Фәйзулаев. Плотные подалгебры многоместных функций на бесконечном множестве	7
К. С. Мамедов. О распределении спектра полиномиального дифференциально-операторного пучка и приложение	10
М. Р. Буяитов, С. А. Байрамов. К-теория на категориях топологических пространств	14
К. Я. Леонов. Об ограниченности скорости распространения возмущений	19

Физика полупроводников

С. Г. Абдуллаева, В. А. Алиев. Определение параметров уравнений прилипания в кристаллах $P-TlGaSe_2$	23
--	----

Молекулярная физика

Э. А. Масимов, С. А. Гаджиев, В. В. Прудько, А. У. Махмудов, В. Б. Юрханов. Исследование кинетики образования и распада НМЧ в водных растворах агарозы	28
--	----

Физическая химия

А. С. Аббасов, Т. Х. Азизов, А. Г. Гусейнов. Исследование термодинамических свойств сульфидов гадолиния	32
---	----

Неорганическая химия

Р. А. Алекперов, Н. Н. Маков, А. А. Алекперов, Б. Ю. Муратов. Экстракция ртути (II) монотионафтеновыми кислотами	35
--	----

Физическая химия

М. Х. Аниагиев. Исследование характера взаимодействия природных цеолитов с Cr_2O_3 и La_2O_3 рентгенографическим, ИК-спектроскопическими методами	40
---	----

Геология

Д. Д. Мазанов. Вопрос о теории стратиформного рудообразования	44
---	----

Геология нефти

Г. К. Алипов, Т. М. Гусейнов, Т. С. Сараджев. О путях повышения нефтеотдачи горизонтов верхнего отдела ПТ месторождения Локбатан—Пута-Кушхана	47
---	----

Тектоника

Чл. корр. Э. Ш. Шихалибейли, Г. И. Аллахвердиев, Т. Н. Насибов, З. А. Велиев, Л. А. Порошина, С. М. Микаилов, А. Т. Ахвердиев. Новые данные о возрасте и структурном положении рудовмещающей кремнисто-карбонатной толщи левчайского рудного поля (малый Кавказ)	51
--	----

Геофизика

- М. М. Раджабов. О физической природе аномалии амплитуд преломленных волн 55

Ботаника

- Н. А. Гусейнова. Макроспорогенез, развитие женского гаметофита и эмбриогенез некоторых представителей рода гвоздичные 59

Биофизика

- Акад. Д. А. Алиев, Ф. А. Гулиев, С. Э. Разиев. Соотношение сигнал/шум как основная характеристика спектральных измерений 62

Паразитология

- Р. Ш. Рустамов, Н. М. Куллева. К вопросу о взаимодействии генов дефицита глюкозо-6-фосфат дегидрогеназы и β -талассемии в Азербайджане 66

Медицина

- Б. А. Велиев. К вопросу изучения лейкоцитарной системы у больных со свинцовой интоксикацией в период обострения 70

Искусство

- Ш. Г. Алескерова. Художественно пластические особенности древней керамики Азербайджана культового назначения 74

Сдано в набор 5. 09. 83 г. Подписано к печати 24. 11. 83 г. ФГ 15336. Формат бумаги 70×100 $\frac{1}{16}$. Бумага типографская № 1. Гарнитура шрифта литератур. Печать высокая. Печ. лист 6,82. Уч. изд. лист 5,53. Тираж 620. Заказ 1210. Цена 70 коп.

Издательство „Элм“.

370143 Баку-143, проспект Нариманова, 31, Академгородок, Главное здание Типография „Красный Восток“ Государственного комитета Азербайджанской ССР по делам издательств, полиграфии и книжной торговли. Баку, ул. Ази Асланова, 80

9. Текст статьи печатается на белой бумаге через два интервала на одной стороне листа стандартного размера, с полями с левой стороны (не более 28 строк на одной странице по 58—60 знаков в строке). В тексте нельзя делать рукописные вставки и вклейки.

Статьи, напечатанные на портативной машинке, не принимаются.

10. Текст статьи должен быть изложен кратко, тщательно отредактирован и подписан авторами в печать. В математических статьях желательно избегать доказательств теорем, лемм и т. п. При использовании в тексте сокращенных названий (кроме общепринятых) необходимо давать их расшифровку.

11. Математические и химические формулы и символы в тексте должны быть вписаны четко. Следует избегать громоздких обозначений, применив, например, дробные показатели степени вместо радикалов, а также \exp . Занумерованные формулы обязательно выключаются в красную строку, номер формулы ставится у правого края страницы. Желательно нумеровать лишь те формулы, на которые имеются ссылки. Подстрочные и надстрочные индексы и степени следует отмечать карандашом, дугами сверху и снизу:

$$R^n, r_n$$

Греческие буквы нужно обводить (в кружок) красным карандашом. Буквы готического шрифта и рукописные в рукописях не использовать, векторные величины — подчеркивать черным, буквы латинского рукописного шрифта следует отметить на полях (например, H рукоп.).

Во избежание ошибок следует четко обозначать прописные (заглавные) и строчные буквы латинского алфавита, имеющие сходное начертание ($Cc; Kk; Pp; Oo; Ss; Cc; Vv$; и т. д.), буквы $I(i)$ и $J(j)$, букву I и римскую единицу I , а также арабскую цифру I и римскую I' (вертикальная черта), I и штрих в индексах, I (латинское эль) и e . Прописные буквы подчеркивают карандашом двумя черточками снизу (C), а строчные — сверху (c).

Следует избегать знаков типа \sim (волна), \odot, \oplus, \otimes ; $\square, \exists, \forall, \wedge$

(крышки) над и под буквами, а также знаков:

$$\hbar, \times, \underline{E}, \phi\phi, \phi, \epsilon$$

Латинские названия вписываются на машинке.

Слова «теорема», «лемма», «следствие», «определение», «замечание» и т. п. следует подчеркивать штриховой чертой, а текст утверждений типа теорем — волнистой чертой (исключая математические символы).

При выборе единиц измерения рекомендуется придерживаться международной системы единиц СИ.

12. При описании методики исследования следует ограничиваться оригинальной ее частью. При элементном анализе приводить только усредненные данные.

13. Необходимо тщательно проверить написание местных географических названий.

14. Цитированная литература проводится общим списком на отдельной странице: ссылки в тексте даются порядковым номером в круглых скобках над строкой (например, ¹). Список литературы оформляется следующим образом:

для книг: инициалы и фамилии авторов, полное название книги, место и год издания;

для журнальных статей: инициалы и фамилии авторов, название журнала, номер тома, номер выпуска, страница и год издания.

Ссылки на неопубликованные работы не допускаются.

15. Все статьи должны иметь резюме на английском языке, кроме того статьи написанные на русском и азербайджанском языках должны иметь резюме на азербайджанском и на русском соответственно.

Публикация статьи в «Докладах» не препятствует напечатанию расширенного ее варианта в другом периодическом издании.